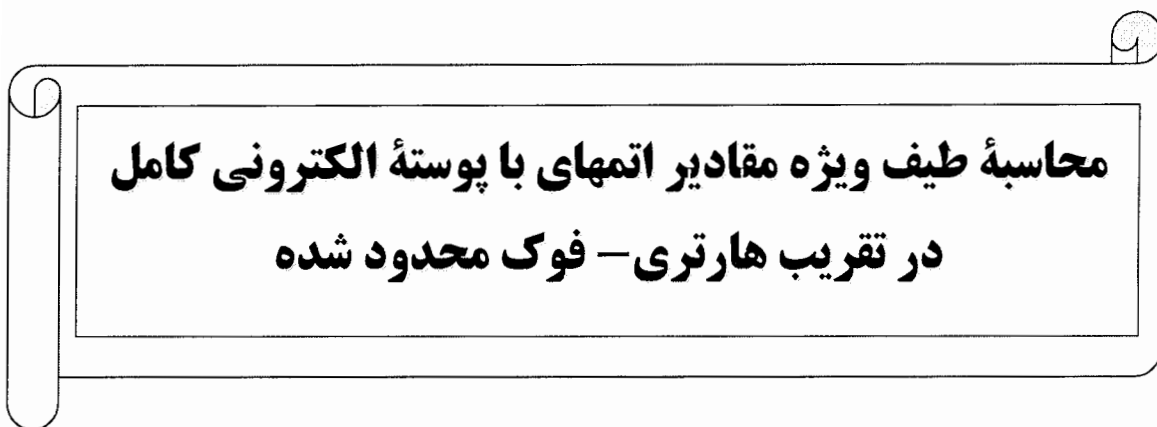


دانشگاه صنعتی شاهرود

دانشکده فیزیک

پایان نامه کارشناسی ارشد فیزیک

گرایش حالت جامد



تهیه و تنظیم :

وجیله چگنی

استاد راهنما:

دکتر محمد رضا سرکردۀ ای

استاد مشاور :

دکتر محمد ابراهیم قاضی

آذر ماه ۱۳۸۴

تقدیم به استاد و همسر فداکارم

که در تمامی مراحل زندگی یار و همپای من بوده است

و دختر نازنینم هستی

سپاسگزاری

سپاس بیکران خداوندگار را، که نعمت درگ بیشتر حقایق هستی را به من ارزانی داشت و گامی در جهت رضای او فرا پیش نهادیم. در این راه اگر نبود دلسوزی و زحمات پدر و مادر و همچنین آموزگاران علم و اخلاق، گام پیش نهادن غیر ممکن می‌نمود. وظیفه خود می‌دانم که از تمامی اساتید ارجمندی که در طول دوران تحصیل، مشوق و مدرس من بوده اند، کمال تشکر و امتنان را داشته باشم. به ویژه استاد بزرگوار جناب آقای دکتر محمد رضا سرکرده‌ای، که از راهنماییهای ارزنده ایشان در طی انجام این تحقیق بهره مند شدم و علاقه و پیگیریهای مستمرشان، مشوق اینجانب در پیشبرد اهداف این تحقیق بود.

همچنین از جناب آقای دکتر حسین چراغچی بخاطر راهنماییها و زحمات ایشان در تمامی مراحل انجام این کار تشکر و قدردانی ویژه خود را ابراز می‌دارم. لازم است از جناب آقای دکتر کیوان اسفراجانی به جهت استفاده از مشورتها و راهنماییهای ارزنده ایشان کمال سپاسگزاری را داشته باشم. از خانم مهندس فاطمه چراغچی که در زمینه برنامه نویسی کامپیوتری نهایت همکاری را داشته اند، نیز تشکر می‌کنم. در نهایت از تمامی دوستان و عزیزانی که در انجام این تحقیق علمی یار و همراه من بوده اند کمال تشکر را دارم.

چکیده

با کاربرد تقریب هارتی- فوک محدود شده (RHF) برای یک مساله چند الکترونی، خواص حالت پایه یک اتم با پوسته الکترونی کامل، را به صورت عددی بررسی می کنیم. با استفاده از توابع موج پادمنقارن (توسط دترمینان اسلیتر) و وردش انرژی نسبت به این توابع موج، معادلات هارتی- فوک بدست می آیند. برای حل این معادلات، توابع پایه اربیتالی نوع اسلیتر(STO) در نظر گرفته شده اند. انتگرهای کولنی، انرژیهای اتمی اربیتالها و نیز انتگرهای همپوشانی برای این عناصر با استفاده از این توابع پایه محاسبه می شوند. با حل خودسازگار معادلات هارتی - فوک، ویژه مقادیر و ویژه توابع حالت پایه و همچنین انرژی کل حالت پایه اتمهایی با پوسته الکترونی کامل به دست می آیند. نوع اربیتالی توابع موج خودسازگار هارتی - فوک نیز تعیین می شوند. سرانجام نتایج حاصل با ویژه مقادیر محاسبه شده در مراجع مقایسه می شوند. استفاده از این تقریب در حل مولکولها، به صورت مدل در یک مولکول سه اتمی نیز مورد بحث قرار گرفته است. مدل هبارد به عنوان حالت خاصی از معادلات هارتی - فوک در مورد یک سیستم دو حالت نیز مطرح و تاثیر پتانسیل کولنی هبارد روی پدیده انتقال بار بررسی می شود.

کلمات کلیدی : تقریب هارتی - فوک، توابع پایه اسلیتر، حل خودسازگار

فهرست

۱	مقدمه
۴	فصل اول : روش های تقریبی برای حل سیستم های بس ذره ای	
۵ ۱-۱) تقریب الکترون مستقل	
۵ ۲-۱) تقریب بی دررو(بورن- اپنهایمر)	
۶ ۳-۱) تقریب الکترون تقریباً آزاد	
۷ ۴-۱) تقریب بستگی قوی	
۸ ۱-۴-۱) تشکیل بلور.....	
۹ ۲-۴-۱) کاربردها و محدودیتهای تقریب بستگی قوی.	
۱۰ ۵) تقریب هارتی	
۱۱ ۶) تقریب هارتی - فوک	
۱۳ ۷-۱) نظریه تابع چگالی	
۱۵ ۱-۷-۱) معادلات کوهن - شم	
۱۸ ۲-۷-۱) تقریب چگالی موضعی	
۱۹ ۳-۷-۱) تقریب گرادیان تعمیم یافته	
۱۹ ۸-۱) روش سلوکار	
۲۲ ۹-۱) روش امواج تخت بهبود یافته (APW)	
۲۵ ۱۰-۱) روش تابع گرین(KKR)	
۲۷ ۱۱-۱) روش امواج تخت متعامد(OPW)	
۲۸ ۱۲-۱) روش شبه پتانسیل.....	
۳۱	فصل دوم : تقریب هارتی - فوک	

۳۱ ۲) ذرات مشابه و دترمینان توابع موج
۳۳ ۲-۱) وارد کردن اختلال به سیستم
۳۴ ۲-۲) انرژی حالت پایه سیستم بس ذره ای
۳۶ ۲-۲-۱) برهمکنش الکترون-الکترون به عنوان اختلال
۳۸ ۲-۲-۲) میدان خود سازگار
۴۱ ۲-۲-۳) قضیه کوپمن
۴۲ ۲-۲-۴) حالت‌های برانگیخته
۴۲ ۲-۵) تقریب‌های هارتی - فوک و استخراج معادلات ویژه مقداری آن
۴۲ ۲-۵-۱) تقریب هارتی - فوک محدود شده
۴۶ ۲-۵-۲) تقریب هارتی - فوک محدود نشده
۵۱	فصل سوم : کاربرد تقریب هارتی - فوک در محاسبات مدلی
۵۱ ۳-۱) مدل گاز الکترون آزاد سه بعدی در تقریب هارتی - فوک
۵۶ ۳-۲) مدل مولکول سه اتمی هیدروژن با دو الکترون با استفاده از تقریب RHF
۵۹ ۳-۳) بررسی یک سیستم دو حالت با استفاده از مدل هبارد
	فصل چهارم: محاسبه انرژی حالت پایه اتمهای با پوسته الکترونی کامل
۶۴ با استفاده از تقریب RHF
۶۵ ۴-۱) پایه های اسلیتیر
۶۷ ۴-۲) حل تقریبی اتم هلیوم
۷۰ ۴-۳) محاسبه عددی انرژی حالت پایه اتمهای با پوسته الکترونی کامل
۷۲ ۴-۳-۱) اتم هلیوم
۷۳ ۴-۳-۲) اتم بریلیوم
۷۵ ۴-۳-۳) اتم بور
۷۶ ۴-۳-۴) اتم کربن
۷۹ ۴-۴) نتایج حاصل از پایه های مرجع [11]
۸۰ ۴-۴-۱) اتم بور
۸۰ ۴-۴-۲) کربن
۸۳ نتیجه گیری و پیشنهادات
۸۴ ضمیمه الف : ساختار نواری الکترونی در تقریب بستگی قوی

۸۶	ضمیمه ب : محاسبه انتگرالهای کولنی و برنامه کامپیووتری آن
۸۹	ضمیمه پ : محاسبه هامیلتونی مختل نشده و برنامه کامپیووتری آن
۹۲	ضمیمه ت : برنامه کامپیووتری حل خودسازگار معادلات هارتی - فوک
۹۶	ضمیمه ث : برنامه کامپیووتری مدل مولکول سه اتمی هیدروژن با دو الکترون
۹۹	ضمیمه ج : برنامه کامپیووتری بررسی یک سیستم دو حالتی با استفاده از مدل هبارد
۱,۲	مراجع

مقدمه

توصیف سیستم‌های بس ذره ای یکی از اهداف عمدۀ فیزیک در قرن حاضر است. یک سیستم بس ذره ای از تعداد زیادی ذرات مشابه یا غیر مشابه تشکیل شده که با یکدیگر بر هم کنش دارند. مثالهای عینی آن اتمها، مولکولها و بلورها هستند که هر یک از تعدادی الکترون و هسته تشکیل شده‌اند. بلوری که تعدادی اتم در آن جای دارد، یک سیستم بس ذره ای است. محاسبه انرژی و کمیتهای دیگر این سیستم عمدتاً به روش‌های کوانتومی صورت می‌گیرد. وقتی معادله شرودینگر را برای مجموعه الکترونها و هسته‌های بلور می‌نویسیم، با اعمال تقریب‌هایی این معادله بس ذره ای را حل می‌کنیم و همه خواص بلور از جمله انرژی را محاسبه می‌کنیم.

نکته حائز اهمیت این است که بررسی آن دسته از خواص بلور را که مستقیماً به رفتار الکترونها مربوط می‌شود مثل ساختار نواری انرژی و چگونگی پیوند بین اتمها تنها با روش‌های کوانتومی امکان پذیر است. تنها مشکل روش کوانتومی حجم زیاد محاسبات است (حتی با کامپیوتر). بنابراین ما مجبوریم از یک سری تقریب‌ها برای حل معادله شرودینگر استفاده کنیم که خود به خود خطاهای محاسباتی را نیز به دنبال دارد. برای جلوگیری از حجم زیاد محاسبات و محدودیتهای کامپیوترا، بهتر است سیستم بس ذره ای خود را به سیستم‌های تک ذره ای تبدیل کنیم.

اولین فصل این پایان نامه به بیان روش‌های تقریبی مختلف برای مطالعه سیستم‌های بس ذره ای اختصاص دارد. هر روش برای بررسی دسته مشخصی از اتمها کاربرد دارد. با توجه با نوع تقریب‌های اعمال شده و فرضیات اولیه، دقت کار در روش‌های مختلف، متفاوت است. مزايا و معایب هر روش نیز به طور جداگانه عنوان شده‌اند. برخی از این روش‌های تقریبی به عنوان پایه ای برای روش دیگر به کار رفته و با تکمیل فرضیات مساله و در نظر گرفتن شرایط مرزی واقعی تر، تقریب بعدی با دقت بیشتری نتایج واقعی را پیش بینی می‌کند.

روش تقریبی که مورد بحث و مطالعه ماست، روش تقریبی هارتی – فوک می باشد. همانگونه که در فصل دوم به تفصیل بحث خواهد شد، با منظور کردن اصل طرد پاولی در تقریب هارتی، خواهیم دید که جمله تبادلی ظاهر می شود، که به تقریب هارتی – فوک معروف است. هدف از تقریب فوق الذکر، تبدیل مساله چند الکترونی (بس ذره ای) به تک الکترونی با استفاده از توابع پایه ای هارتی – فوک است. این توابع پایه هارتی – فوک از بسط توابع موج روی یک سری پایه های تک ذره ای اسلیتر حاصل می شوند. پس از یافتن معادله ویژه مقداری هارتی – فوک و تشکیل ماتریس هامیلتونی روی پایه های اسلیتر، ویژه مقادیر و ویژه توابع اتم مورد نظر به صورت عددی محاسبه می شوند. سپس تقریبهای هارتی – فوک محدود شده^۱ (RHF) و محدود نشده^۲ (UHF) معرفی خواهند شد. تقریب اول عموماً برای محاسبه طیف انرژی اتمهای با پوسته الکترونی کامل کاربرد دارد. در این تقریب انرژی الکترونها با اسپین متفاوت هر تراز، یکسان فرض می شود. تقریب دوم که حالت کلی تری دارد، برای اتمهای با پوسته الکترونی ناکامل نیز کاربرد دارد. در این تقریب الکترونها با اسپین مخالف، از طیف انرژی جداگانه ای بر خوردارند. در این تقریب اتمهای مغناطیسی نیز بررسی می شوند.

در فصل سوم چند نمونه از کاربردهای تقریب هارتی – فوک را بررسی خواهیم کرد. ابتدا طیف ویژه مقادیر گاز الکترون آزاد سه بعدی را محاسبه می کنیم. البته تقریب هارتی – فوک در مدل ژله که عمدها برای مدل سازی خواص فلزات مورد استفاده قرار می گیرد دارای محدودیتهایی است که به آن خواهیم پرداخت. سپس این تقریب را برای مدل سازی مولکول سه اتمی هیدروژن با دو الکترون بکار می بریم. سرانجام تاثیر برهم کنش کولنی مستقیم الکترونها روی یک جایگاه اتمی (مدل هبارد) را نیز برای یک سیستم دو حالت، به عنوان یک حالت خاص از این تقریب بررسی می نماییم.

در فصل آخر، از این تقریب برای محاسبه طیف ویژه مقادیر بعضی عناصر واقعی استفاده می کنیم. در ابتدا این تقریب برای ساده ترین اتم یعنی هلیم بکار می رود. با استفاده از توابع پایه اسلیتر با زتای دوگانه انرژی کل اتم هلیوم بدست می آید. البته از این تقریب می توان برای اتمهای سنگین تر نیز استفاده کرد.

^۱ Restricted Hartree - Fock

^۲ Unrestricted Hartree - Fock

با انجام محاسبات کامپیوتری و حل مساله به صورت خودسازگار و با در نظر گرفتن تعداد پایه های بیشتر، ویره مقادیر و ویره توابع و انرژی کل حالت پایه بدست می آید. نتایج نشان می دهند که هر چه تعداد توابع پایه اسلیتر بیشتر باشد جواب ها دقیقتر می شوند. در انتهای نتایج بدست آمده از محاسبات عددی را با نتایج مندرج در بعضی از مراجع پایان فصل مقایسه و دلایل بروز اختلافها نیز ذکر خواهد شد.

فصل اول

روش های تقریبی برای حل سیستم های بس ذره ای

مطالعه کوانتومی بلور

یک جامد بلوری شامل تعداد زیادی الکترون با بار e - در مکان های \vec{r}_i و تعدادی هسته با بار $z_\alpha e$ + در مکان های \vec{R}_α است. هامیلتونی کل بلور به صورت زیر است:

$$H = \sum_i -\frac{\hbar^2 \nabla_i^2}{2m} + \sum_\alpha -\frac{\hbar^2 \nabla_\alpha^2}{2M_\alpha} + \sum_{i\alpha} \frac{z_\alpha e^2}{4\pi\epsilon_0 |\vec{r}_i - \vec{R}_\alpha|} + \frac{1}{2} \sum_{i\neq j} \frac{e^2}{4\pi\epsilon_0 |\vec{r}_i - \vec{r}_j|} + \frac{1}{2} \sum_{\alpha\neq\beta} \frac{z_\alpha z_\beta e^2}{4\pi\epsilon_0 |\vec{R}_\alpha - \vec{R}_\beta|} \quad (1-1)$$

برای سادگی رابطه اخیر را بصورت زیر می نویسیم:

$$H = H_{K.E.}^e + H_{K.E.}^N + H^{e-N} + H^{e-e} + H^{N-N} \quad (2-1)$$

که در آن جملات اول و دوم، انرژی جنبشی الکترون ها و هسته ها بوده و جملات بعدی به ترتیب مربوط به بر هم کنش الکترون - هسته ، الکترون - الکترون و هسته - هسته می باشند.

در بخش های بعدی ، آن دسته از روش های تقریبی حل معادله شرودینگر سیستم بس ذره ای را بیان می کنیم که بیشتر با پژوهش انجام گرفته در ارتباط باشد.

[۱-۱) تقریب الکترون مستقل^۱]

در این تقریب همه آثار برهم کنش های یک الکترون با دیگر الکترون ها در پتانسیل موثر ($U_{eff}(r)$) وارد شده و الکترون در این پتانسیل پیچیده بطور مستقل از دیگر الکترون ها رفتار می کند. پتانسیل های خارجی دیگر مانند الکترون - هسته نیز بطور مجزا به هر الکترون وارد می شوند. بنابراین معادله شرودینگر بس ذره ای به معادلات تک ذره ای تبدیل می شود.

$$\left(-\frac{\hbar^2 \nabla^2}{2m} + U_{eff}(\vec{r}) \right) \psi_k(\vec{r}) = \varepsilon(k) \Psi_k(\vec{r}) \quad (3-1)$$

[۲-۱) تقریب بی دررو (بورن - اپنهایمر)^۲

اولین گام برای ساده سازی معادله شرودینگر بس ذره ای، تقریب بی دررو است. مطابق این تقریب، چون جرم الکترونها بسیار کمتر از جرم هسته ها است، هنگام بررسی حرکت الکترونها، در تقریب بی دررو، هسته ها ساکن فرض می شوند. از طرفی وقتی حرکت هسته ها مورد نظر است، الکترونها را در حالت پایه فرض می کنیم. نتیجه اعمال این تقریب آن است که معادله شرودینگر بلور، به دو معادله شرودینگر، یکی برای مجموعه الکترونها و دیگری برای مجموعه هسته ها تفکیک می شود. این دو معادله عبارتند از:

$$(H_{K.E.}^e + H^{e-e} + H^{e-N}) \psi(r_i) = E_{el} \psi(r_i) \quad (4-1)$$

$$(H_{K.E.}^N + H^{N-N} + H_{el}) \phi(R_\alpha) = E_{total} \phi(R_\alpha) \quad (5-1)$$

روابط فوق به ترتیب معادلات شرودینگر سیستمهای بس الکترونی و بس هسته ای هستند. به این ترتیب انرژی کل بلور در تقریب بی دررو طی دو مرحله محاسبه می شود. در مرحله اول انرژی سیستم بس-الکترونی با فرض ساکن بودن هسته ها محاسبه می گردد (E_{el}). در مرحله دوم این انرژی بعنوان یک انرژی پتانسیل اضافی برای حرکت یونها بکار می رود (H_{el}) و با حل معادله (۵-۱) انرژی کل بلور محاسبه می شود. هسته ها بدلیل جرم قابل توجه خود و همپوشانی قابل اغماض توابع موج دوبروی آنها، ذراتی تمیز پذیر تلقی می شوند و لذا می توان بطور کلاسیکی آنها را بررسی کرد. یعنی عملان نیازی به

^۱ The Independent electron approximation

^۲ The Born-oppenheimer approximation

حل معادله شرودینگر (۱-۵) نیست و می‌توان با فرض رفتار کلاسیکی هسته‌ها انرژی کل بلور را بصورت زیر نوشت:

$$E_{tot} = \sum_{\alpha} \frac{\vec{p}_{\alpha}^2}{2M_{\alpha}} + \frac{1}{2} \sum_{\alpha \neq \beta} \frac{Z_{\alpha} Z_{\beta} e^2}{4\pi\epsilon_0 |\vec{R}_{\alpha} - \vec{R}_{\beta}|} + E_{el}(\vec{R}_1, \vec{R}_2, \dots) \quad (6-1)$$

حال اگر بخواهیم حرکت هسته‌ها را در این چارچوب بررسی کنیم، پتانسیل مورد نظر به صورت زیر خواهد بود.

$$V(\vec{R}_1, \vec{R}_2, \dots) = \frac{1}{2} \sum_{\alpha \neq \beta} \frac{Z_{\alpha} Z_{\beta} e^2}{4\pi\epsilon_0 |\vec{R}_{\alpha} - \vec{R}_{\beta}|} + E_{el}(\{\vec{R}_{\alpha}\}) \quad (7-1)$$

به وسیله این پتانسیل نیروی وارد بر هسته محاسبه شده و قوانین نیوتون برای حرکت آنها بکار می‌رود.

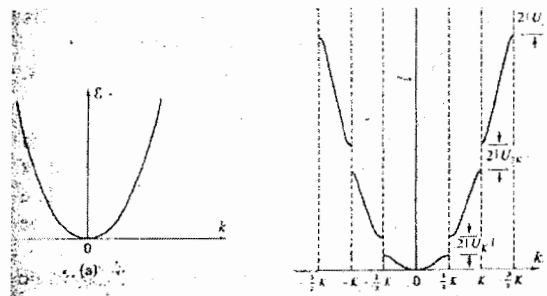
۱-۳) تقریب الکترون تقریباً آزاد^۱

این تقریب برای فلزات گروه I-V جدول تناوبی کاربرد دارد که در آنها لایه‌های الکترونی s, p خارج از یک پوسته کامل قرار دارند. الکترون‌های رسانشی تحت تاثیر یک پتانسیل تقریباً ثابت ناشی از الکترون‌های مغزی و هسته و دیگر الکترون‌ها حرکت می‌کنند. چون این پتانسیل در مقایسه با انرژی جنبشی الکترون‌ها ضعیف است، بصورت اختلال روی سیستم اثر می‌کند. به دو دلیل این پتانسیل ضعیف است:

۱) با وجود اینکه بر هم کنش الکترون – هسته بسیار قوی است ولی بخاطر اصل طرد پاولی الکترون‌ها رسانشی نمی‌توانند به یون‌ها خیلی نزدیک شوند.

۲) بدلیل وجود اثر پوششی الکترون‌های مغزی روی هسته. در ذیل نمودار (k^E) برای الکترون تقریباً آزاد با طیف انرژی الکترون آزاد مقایسه شده است. در این شکل دیده می‌شود که یک گاف انرژی روی مرزهای منطقه اول بریلوئن به دلیل وجود همین اختلال پدیدار شده است.

^۱ The nearly free electron approximation



شکل ۱-۱: ساختار نوار انرژی برای الکترون تقریباً آزاد

۱-۴) تقریب بستگی قوی^۱

تابع موج الکترون در این تقریب بخلاف الکترون تقریباً آزاد که ترکیب خطی از امواج تخت بود، از ترکیب خطی امواج جایگزینده بدست می‌آید:

$$\psi_n(\vec{r}) = \sum_n c_n \psi_n(\vec{r} - \vec{R}) \quad (8-1)$$

همچنین پتانسیل تناوبی شبکه در مقابل انرژی جنبشی الکترون بزرگ است. این تابع موج باید شرط بلاخ را برآورده نماید. پس:

$$\psi_n(\vec{r} + \vec{R}) = e^{i\vec{K}\cdot\vec{R}} \psi_n(\vec{r}) \quad (9-1)$$

و در نتیجه :

$$\psi_{nk}(\vec{r}) = \sum_{\vec{R}} e^{i\vec{K}\cdot\vec{R}} \psi_n(\vec{r} - \vec{R}) \quad (10-1)$$

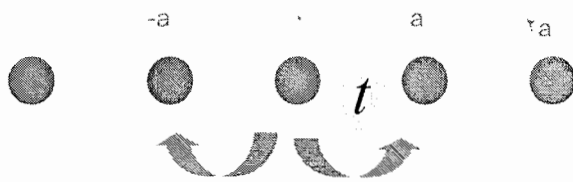
\vec{K} برداری در منطقه اول بریلوئن است که شرط دوره ای فون-بورن-کارمن را برآورده می‌کند. در نهایت ساختار نواری الکترونی در تقریب بستگی قوی از طریق محاسبه میانگین انرژی روی تابع موج کل بلور به صورت زیر بدست می‌آید:

$$E_{\vec{K}} = E_a - \alpha - \sum_{\vec{R}'' \neq 0} e^{-i\vec{K}\cdot\vec{R}''} \beta_{\vec{R}''} \quad (11-1)$$

جزئیات در ضمیمه الف توضیح داده شده است [۳]. به عنوان نمونه ای از این روش تقریبی زنجیر اتمی نا

محدود را در نظر می‌گیریم :

^۱ Tight Binding Approximation

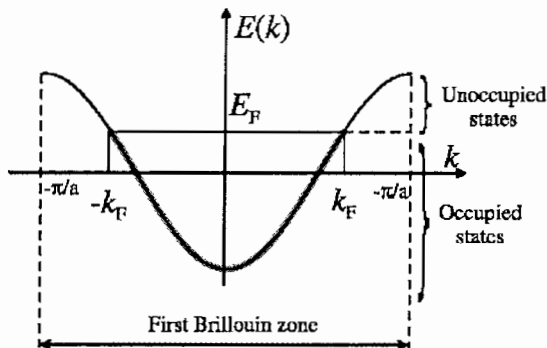


شکل ۱-۲: زنجیره اتمی یک بعدی با جمله چesh t

با فرض همپوشانی نزدیکترین همسایه‌ها مقدار انرژی به صورت زیر در نظر گرفته می‌شود .
 $\langle \varphi_a | H | \varphi_0 \rangle \neq 0$, $\langle \varphi_{2a} | H | \varphi_0 \rangle = 0$, $\langle \varphi_{3a} | H | \varphi_0 \rangle = 0$

$$\epsilon_k = \langle \varphi_0 | H | \varphi_0 \rangle + e^{-i\vec{k}a} \langle \varphi_a | H | \varphi_0 \rangle + e^{i\vec{k}a} \langle \varphi_{-a} | H | \varphi_0 \rangle$$

$$\boxed{\epsilon_k = \epsilon_0 + 2t \cos(ka)} \quad (12-1)$$



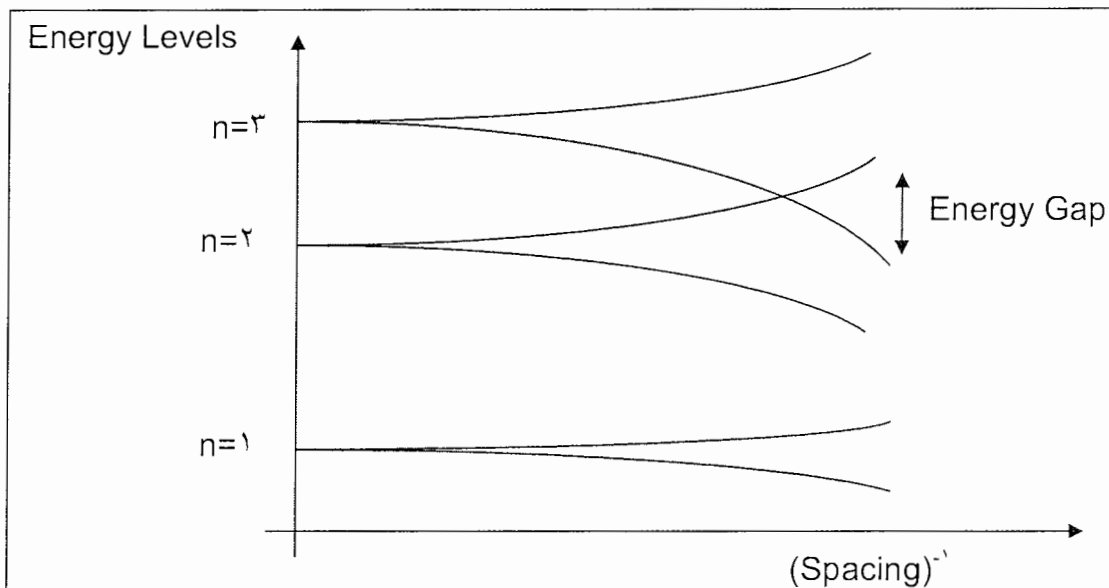
شکل ۱-۳: ساختار نواری یک زنجیر اتمی با یک اربیتال روی هر اتم

$t = \langle \varphi_a | H | \varphi_0 \rangle = \langle \varphi_{-a} | H | \varphi_0 \rangle$ انرژی اولیه هر اتم و $\epsilon_0 = \langle \varphi_0 | H | \varphi_0 \rangle$ که در آن
 انرژی چesh^۱ (میزان انرژی لازم برای انتقال بین نزدیکترین همسایه‌ها) است. الکترون‌ها را از پایین
 ترین تراز تا سطح فرمی پر می‌کنیم. چون t منفی است، کمترین مقدار انرژی $\epsilon_0 + 2t$ و بیشترین
 مقدار آن $\epsilon_0 - 2t$ است. بنابر این پهنه‌ای نوار انرژی برابر $4t$ می‌باشد. در مورد زنجیر اتمی محدود با دو
 سر آزاد نیز همین نتیجه به دست می‌آید.

۱-۴-۱) تشکیل بلور

^۱ Hopping

همانطور که در نمودار زیر مشاهده می شود، در تقریب بستگی قوی، وقتی اتمها از هم دورند ترازهای انرژی تبھگنند ولی وقتی اتمها را بهم نزدیک می کنیم، ترازها یکدیگر را دفع می کنند و تبھگنی نیز از بین می رود و یک منطقه ممنوعه انرژی بوجود می آید. وقتی اتمها را بهم نزدیک می کنیم توابع موج اتمی با هم برهمکنش می کنند، به طوریکه ابتدا اربیتالهای دورتر مانند $3d$ و $2p$ با هم همپوشانی دارند و بعد اربیتالهای نزدیکتر مانند S با هم همپوشانی می کند.



شکل ۱-۴: شکافتگی ترازهای انرژی در انر نزدیک شدن اتمها

۱-۴-۲) کاربردها و محدودیتهای تقریب بستگی قوی

کاربردها:

این تقریب برای توصیف نوارهای انرژی فلزات واسطه با پوسته های d نیمه پر و همچنین ساختار الکترونی عایقها مفید است. چون در این موارد الکترونها قویاً به هسته مقیدند و وقتی اتمها از هم دورند، هر اتم یک تابع موج جایگزیده دارد و وقتی اتمها را بهم نزدیک می کنیم، توابع موج اتمهای جایگزیده مجاور با هم بر همکنش می کنند. ترازهای انرژی برخی از مولکولها نیز با استفاده از این تقریب قابل توصیف است.

محدودیتها :

این روش در محاسبه ساختار نواری فلزات قلیایی که الکترونهای تقریباً آزاد دارند، محدودیت دارد. زیرا ممکن است اربیتالهای یک اتم با یک اتم خیلی دورتر هم همپوشانی داشته باشد در صورتیکه در آن تقریب فقط توابع موج اتمهای مجاور با بر همکنش دارند. همچنین برهمن کش الکترون - الکترون در آن منظور نمی شود. این روش یک روش نیمه تجربی است که جمله انرژی انتقال آن از تجربه تعیین می شود. این جمله برای بلورهای مختلف قابل تعمیم نیست. مزیت این روش سادگی آن در توصیف کیفی پدیده های کوانتومی است.

۱-۵) تقریب هارتی^۱

در تقریب هارتی از همبستگی مکانی الکترون ها نسبت بهم صرف نظرمی کنیم و اثر میدان متوسط کل الکترون ها را روی الکترون مورد نظر، در نظر می گیریم. معادله شرودینگر بس ذره ای با در نظر گرفتن تقریب بی دررو به صورت زیر است:

$$\sum_{i=1}^N \left(-\frac{\hbar^2}{2m} \nabla_i^2 \psi - Ze^2 \sum_{\vec{R}} \frac{1}{|\vec{r}_i - \vec{R}|} \psi \right) + \frac{1}{2} \sum_{i \neq j} \frac{e^2}{|\vec{r}_i - \vec{r}_j|} \psi = E \psi \quad (13-1)$$

جمله دوم پتانسیل جاذبه بین الکترون و هسته هایی است که در مکان \vec{R} ثابت هستند و جمله سوم هم بر همکنش الکترون ها با یکدیگر است. در تقریب هارتی $(r_1, r_2, \dots, r_N) \psi$ که تابع موج بس ذره ای سیستم می باشد، به صورت متقارن و به شکل حاصل ضرب توابع موج تک ذره ای در نظر گرفته می شود.

$$\psi(r_1, r_2, \dots, r_N) = \{\psi_1(r_1) \psi_2(r_2) \dots \psi_N(r_N)\} \quad (14-1)$$

در معادله شرودینگر بس ذره ای،

$$\sum_{i=1}^N \left(-\frac{\hbar^2}{2m} \nabla_i^2 \psi + U^{ion}(\vec{r}) \psi \right) + U^{el}(\vec{r}) \psi = E \psi \quad (15-1)$$

$$U^{el}(\vec{r}) = -e \int d\vec{r}' \frac{\rho(\vec{r}')}{|\vec{r} - \vec{r}'|} \quad (16-1)$$

^۱ Hartree Approximation

فوک علاوه بر پتانسیل کولنی (بر همکنش الکترونها با هم) و پتانسیل جاذبه بین الکترون‌ها و هسته، پتانسیل تبادلی^۱ را نیز در نظر می‌گیریم و هامیلتونی بصورت زیر در می‌آید:

$$H^N = \sum_{i=1}^N \frac{p_i^2}{2m} + \sum_i V_{ext}(\vec{r}_i) + \frac{1}{2} \sum_{ij} V(\vec{r}_i - \vec{r}_j) \quad (21-1)$$

هامیلتونی سیستم بس ذره ای معادل با مجموع هامیلتونی سیستم تک ذره ای می‌باشد.

$$H^N = \sum_{i=1}^N H^{(1)}(\vec{r}_i) \quad (22-1)$$

که $H^{(1)}$ هامیلتونی تک الکترونی برابر است با:

$$H^{(1)} = \frac{p^2}{2m} + V_{ext}(\vec{r}) \quad (23-1)$$

جمله دوم در H^N پتانسیل ناشی از بر هم کنش الکترون-یون است که تابعی موضعی است و فقط به مکان الکترون i ام بستگی دارد و جمله سوم پتانسیل ناشی از بر هم کنش الکترون هاست که غیر موضعی است و آن را بعنوان اختلال در نظر می‌گیریم. در نهایت معادله هارتی-فوک را می‌توان به صورت زیر نوشت:

$$\begin{aligned} & -\frac{\hbar^2}{2m} \nabla^2 \psi_i(\vec{r}) + U^{ion}(\vec{r}) \psi_i(\vec{r}) + \left[e^2 \sum_j \int d\vec{r}' \frac{|\psi_j(\vec{r}')|^2}{|\vec{r} - \vec{r}'|} \right] \psi_i(\vec{r}) \\ & - \left[e^2 \sum_j \int d\vec{r}' \frac{\psi_j^*(\vec{r}') \psi_i(\vec{r}') \psi_j(\vec{r})}{|\vec{r} - \vec{r}'|} \delta_{s_i s_j} \right] = \epsilon_i \psi_i(\vec{r}) \end{aligned} \quad (24-1)$$

که جمله آخر از سمت چپ معادله همان پتانسیل تبادلی است و همانطور که می‌بینیم به چگالی وابسته نیست و وابسته به تابع موج است. $\delta_{s_i s_j}$ معرف این است که تنها اسپینهای هم نام با هم بر هم کنش دارند.

مزایا و معایب مزیتهای :

پتانسیل متوسط بر هم کنش الکترون-الکترون را بطور واقعی تری در نظر می‌گیرد و در مولکولها و اتمها جوابهای دقیقتری نسبت به بلورها دارد.

^۱ Exchange

معایب:

چگالی حالات را در سطح فرمی فلزات صفر نشان می دهد زیرا اثر پوششی در این روش منظور نشده است. در مورد نیمه رساناها و عایق ها، گاف انرژی را بیشتر و در نتیجه انرژی پیوندی را کمتر از مقدار واقعی پیش بینی می کند. زیرا هر چه گاف انرژی بزرگتر باشد تمایل تشکیل پیوند کمتر است. در فصل بعد در مورد این تقریب و نحوه بدست آوردن معادله هارتی-فوک بطور مبسوط بحث خواهیم کرد.

۷-۱) نظریه تابع چگالی^۱ [۲]

به وسیله این روش می توان تابع موج حالت پایه سیستم بس ذره ای را به صورت توابع موج تک ذره ای نوشت. نظریه تابع چگالی می گوید انرژی حالت پایه سیستم بس ذره ای می تواند بصورت تابعی از چگالی تک ذره ای بیان شود و با مینیمم کردن این تابع، می توان چگالی حالت پایه واقعی سیستم را به دست آورد. دو قضیه هوهنبرگ و کوهن مبنای نظریه تابع چگالی هستند. این قضایا نشان می دهند که، اولاً: تمام خواص حالت پایه یک سیستم بس الکترونی برهمکنشی را می توان از روی چگالی حالت پایه به دست آورد . ثانیاً: تابع انرژی حالت پایه دستگاه بس الکترونی از اصل وردشی نسبت به چگالی تبعیت می کند.

این قضایا هم برای سیستم های برهمکنشی وهم غیربرهمکنشی معتبر است. یعنی اگر به ازای چگالی های آزمایشی مختلف، انرژی دستگاه را محاسبه کنیم، وقتی چگالی مقدار حالت پایه خود را می یابد که انرژی کمینه باشد و این انرژی کمینه، انرژی واقعی حالت پایه سیستم بس الکترونی است. بنابراین اگر ψ (چگالی حالت پایه) معلوم باشد ، $n[\psi] = \psi$ تابع موج حالت پایه نیز مشخص می شود و پس از تعیین ψ تمامی خواص حالت پایه قابل تعیین است. هدف آن است که با به کار گیری این قضایا، معادله شرودینگر بس الکترونی را به یک دسته معادلات تک ذره ای تبدیل کنیم. سپس با حل این معادلات تک ذره ای خواص حالت پایه سیستم را به دست آوریم. این کار مشابه کاری است که در نظریه هارتی و هارتی - فوک برای تبدیل معادله بس الکترونی به یک دسته معادلات تک ذره ای انجام می دادیم. ولی در نظریه

¹Density Functional Theory

تابع چگالی می توانیم بدون اعمال تقریب به یک دسته معادلات تک ذره ای برسیم (اگرچه برای حل معادلات تک ذره ای اعمال تقریب اجتناب ناپذیر است). سیستم مورد بررسی ما مشکل از N الکترون است که تحت تاثیر پتانسیل خارجی ناشی از هسته ها قرار دارد. هامیلتونی این دستگاه به شکل زیر است:

$$H_e = H_{\text{int}} + V_{\text{ext}}$$

که $H_{\text{int}} = T + V_{ee}$ و در آن V_{ee} بر همکنش الکترون-هسته، V_{ext} بر همکنش کولنی الکترونها و T انرژی جنبشی الکترونهاست.

$$\begin{aligned} H_{\text{int}} &= \sum_{i=1}^N \frac{P_i^2}{2m} + \frac{1}{2} \sum_{i \neq j} \frac{e^2}{4\pi\epsilon_0 |\vec{r}_i - \vec{r}_j|} \\ V_{\text{ext}} &= \sum_i \sum_{\alpha} \frac{Z\alpha e^2}{4\pi\epsilon_0 |\vec{r}_i - \vec{R}_{\alpha}|} = \sum_{i=1}^N V_{\text{ext}}(\vec{r}_i) \end{aligned} \quad (25-1)$$

جمله آخر نشان دهنده پتانسیل ناشی از همه هسته ها روی الکترون i است. تابع انرژی سیستم به صورت زیر است:

$$E[n] = T[n] + V_{ee}[n] + V_{\text{ext}}[n] \quad (26-1)$$

که $T[n] = \langle \psi[n] | \hat{T} | \psi[n] \rangle$ تابع حالت پایه سیستم تبھگن است.

$$V_{\text{ext}}[n] = \int d\vec{r} n(\vec{r}) v_{\text{ext}}(\vec{r}) \quad (27-1)$$

که در آن $n(r)$ چگالی حالت پایه سیستم تک الکترونی است. در نهایت تابع انرژی سیستم بس ذره ای چنین می شود:

$$E[n] = T[n] + V_{ee}[n] + \int n(\vec{r}) v_{\text{ext}}(\vec{r}) dr \quad (28-1)$$

تنها متغیر سیستم بس الکترونی، پتانسیل خارجی $v_{\text{ext}}(\vec{r})$ است. قضیه هوهنبرگ-کوهن می گوید که یک تناظر یک به یک بین چگالی حالت پایه یک سیستم N الکترونی و پتانسیل خارجی که روی آن عمل می کند وجود دارد پس چگالی حالت پایه نیز متغیر می شود. با دانستن $n(r)$ ، می توانیم پتانسیل خارجی را تعیین کنیم. از طرفی شکل صحیح توابع $T[n]$ و $V_{ee}[n]$ را نیز می توانیم داشته باشیم، بنابراین هامیلتونی سیستم تعیین می شود.

۱-۷-۱) معادلات کوهن - شم^۱

معادلات کوهن - شم از کمینه کردن رابطه (۱-۲۶) نسبت به (r) به دست می آیند. کوهن - شم یک سیستم الکترونی غیربرهمکنشی فرضی را در نظر گرفتند که چگالی حالت پایه آن با چگالی حالت پایه دستگاه اصلی یکسان باشد. در مورد سیستم الکترون های غیربرهمکنشی، قضیه هوهنبرگ - کوهن وجود پتانسیل خارجی موضعی (r_0) را تضمین می کند که چگالی حالت پایه $n_0(r)$ را تولید می کند. برهمکنش کولنی داخلی الکترون ها را که همان جمله هارتی است به شکل زیر می نویسیم:

$$V_H[n] = \frac{1}{2} \int n(\vec{r}) \frac{1}{|\vec{r} - \vec{r}'|} n(r') d\vec{r} d\vec{r}' = \frac{1}{2} \sum_{ij} \left\langle \varphi_i \varphi_j \left| \frac{e^2}{|\vec{r}_{12}|} \right| \varphi_i \varphi_j \right\rangle \quad (29-1)$$

انرژی جنبشی سیستم غیربرهمکنشی نیز به صورت زیر است:

$$T_0[n] = \sum_i \left\langle \varphi_i(\vec{r}) \left| -\frac{\hbar^2 \nabla^2}{2m} \right| \varphi_i(\vec{r}) \right\rangle \quad (30-1)$$

$\varphi_i(\vec{r})$ تابع موج سیستم غیربرهمکنشی است و جمع روی انرژی جنبشی های تک تک ذرات است. در حالی که انرژی جنبشی سیستم برهمکنشی برابر است با:

$$T[n] = \left\langle \psi \left| -\frac{\hbar^2 \nabla^2}{2m} \right| \psi \right\rangle \quad (31-1)$$

که ψ تابع موج سیستم بس ذره ای واقعی (برهمکنشی) است. به این ترتیب تابع انرژی سیستم بس ذره ای به صورت زیر است:

$$E[n] = T_0[n] + V_H[n] + \int v_{ext}(\vec{r}) n(\vec{r}) d\vec{r} + E_{xc}[n] \quad (32-1)$$

که در آن

$$E_{xc}[n] = T[n] - T_0[n] + V_{ee}[n] - V_H[n] \quad (33-1)$$

^۱ The Kohn-Sham Equations

تابع انرژی تبادلی- همبستگی سیستم بس ذره ای است که در برگیرنده تمامی اصلاحاتی است $E_{xc}[n]$ که باقیستی در مدل سیستم الکترونی غیربرهمکنشی اعمال شود و در برگیرنده آثار غیرکلاسیکی بس ذره ای است. لذا اگر آن را در نظر نگیریم، معادل تقریب هارتی می شود که انرژیهای تبادلی و همبستگی در آن منظور نشده است. پس تابع انرژی در حالت پایه برابر است با:

$$E[n_0] = T_0[n_0] + \int n_0(\vec{r}) v_{ext}(\vec{r}) d\vec{r} + \frac{1}{2} \iint \frac{n_0(\vec{r}) n_0(\vec{r}')}{|\vec{r} - \vec{r}'|} d\vec{r} d\vec{r}' + E_{xc}[n_0] \quad (34-1)$$

که در آن n_0 چگالی حالت پایه سیستم غیربرهمکنشی است. اما برای آن که بتوانیم مقدار تابع انرژی را در حالت پایه از رابطه اخیر پیدا کنیم، سه مشکل وجود دارد:

۱) باید n_0 را داشته باشیم که با قرار دادن آن در رابطه بالا بتوانیم انرژی حالت پایه را به دست آوریم.

۲) پس از این که n_0 تعیین شد، باید $T_0[n_0]$ را تعیین کنیم. اگرچه می دانیم $T_0[n_0]$ تابعی است از n_0 ولی نوع این تابعیت را نمی دانیم. برای محاسبه $T_0[n_0]$ ، با توجه به رابطه (۳۰-۱)

نیاز به توابع موج ذرات غیربرهمکنشی در حالت پایه داریم.

۳) شکل تابع $[n_0]$ را نمی دانیم. اگرچه تابع $E_{xc}[n_0]$ خود تابعی از n_0 است، ولی چگونگی این ارتباط معلوم نیست. این جمله نسبت به جملات دیگر در عبارت انرژی بسیار کوچک است و تمام خواص بس ذره ای کوانتومی را در بردارد.

دو مشکل ۱ و ۲ را با روشی که کوهن-شم پیشنهاد کردند، رفع می کنیم و برای رفع مشکل ۳ از تقریب هایی که در ادامه خواهیم گفت، استفاده می کنیم. برای یافتن $(r) n_0$ باید تابع انرژی زیر را نسبت به n کمینه کنیم:

$$E[n] = T_0[n] + \int n(\vec{r}) v_{ext}(\vec{r}) d\vec{r} + \frac{1}{2} \iint \frac{n(\vec{r}) n(\vec{r}')}{|\vec{r} - \vec{r}'|} d\vec{r} d\vec{r}' + E_{xc}[n] \quad (35-1)$$

در این سیستم مجازی N الکترون غیربرهمکنشی هر یک از الکترون ها در معادله شرودینگر تک ذره ای صدق می کند.

$$\left[-\frac{\hbar^2}{2m} \nabla^2 + v_0(\vec{r}) \right] \varphi_i(\vec{r}) = \epsilon_i \varphi_i(\vec{r}) \quad (36-1)$$

همچنین می دانیم که:

$$n_0(\vec{r}) = \sum_{i=1}^{occ} |\varphi_i(\vec{r})|^2 \quad (37-1)$$

با توجه به روابط (30-1) و (36-1) انرژی جنبشی به شکل زیر بدست می آید:

$$T_0[n_0] = \sum_i \epsilon_i - \int v_0(r) n_0(r) dr \quad (38-1)$$

سپس $T_0[n]$ را در رابطه (35-1) جایگذاری نموده و با وردش دادن تابع انرژی نسبت به $n(r)$ با رعایت

قید ثابت بودن تعداد ذرات یعنی $\int n(r) dr = N$ ، معادلات خود سازگار کوهن-شم به صورت زیر به دست می آیند:

$$\begin{aligned} \frac{\delta}{\delta n} \left[E - \mu \int n(\vec{r}) d\vec{r} \right] &= 0 \rightarrow \mu = \frac{\delta E}{\delta n} \\ v_0(\vec{r}) &= v_{ext}(\vec{r}) + \int \frac{n(\vec{r}') d\vec{r}'}{|\vec{r} - \vec{r}'|} + V_{xc}(\vec{r}) + \mu \end{aligned} \quad (39-1)$$

μ پتانسیل شیمیایی و $V_{xc}(\vec{r})$ پتانسیل تبادلی-همبستگی است. $\sum_i \epsilon_i$ مستقل از

الاست، چون $v_0(\vec{r})$ به گونه ای است که در ترکیب با $T_0[n]$ مستقل از n می کند. با توجه به

ثابت بودن ضریب μ از آن صرفنظر می کنیم. به این ترتیب معادله شرودینگر (36-1) بصورت زیر نوشته

می شود:

$$\left[-\frac{\hbar^2 \nabla^2}{2m} + v_{ext}(\vec{r}) + \int \frac{n(\vec{r}') d\vec{r}'}{|\vec{r} - \vec{r}'|} + V_{xc}(\vec{r}) \right] \varphi_i(\vec{r}) = \epsilon_i \varphi_i(\vec{r}) \quad (40-1)$$

که به این معادله، معادله خود سازگار کوهن-شم گویند. اگر $V_{xc}(\vec{r})$ را از تقریبهای LDA و GGA که در ادامه بیان خواهیم کرد پیدا کنیم، از حل همزمان معادلات (37-1) و (40-1) میتوانیم ϵ_i ویژه مقادیر سیستم غیر بر همکنشی ، $n_0(\vec{r})$ و $v_0(\vec{r})$ را پیدا کنیم. سپس انرژی جنبشی از رابطه (38-1) معلوم

شده و در نهایت با دانستن $E_{xc}[n]$ ، انرژی حالت پایه سیستم برهمکنشی از رابطه (۳۵-۱) پیدا می شود.

۱-۷-۲) تقریب چگالی موضعی^۱

این تقریب معمولاً برای محاسبه تقریبی $E_{xc}[n]$ بکار می رود. در حالت کلی انرژی تبادلی-همبستگی کل بلور را می توان به صورت زیرنوشت:

$$E_{xc}[n(\vec{r})] = \int n(\vec{r}) d\vec{r} \epsilon_{xc}[n(\vec{r})] \quad (41-1)$$

که انتگرال گیری روی کل بلور است. $\epsilon_{xc}[n(\vec{r})]$ انرژی تبادلی - همبستگی به ازای هر الکترون است. اگر $\epsilon_{xc}[n(\vec{r})]$ را در رابطه بالا با مقدار مربوط به یک گاز الکترونی همگن جایگزین کنیم، می گوییم تقریب چگالی موضعی LDA به کار برده ایم و داریم :

$$\epsilon_{xc}[n(\vec{r})] \cong \epsilon_{xc}^{\text{hom}}(n(\vec{r}))$$

مقادیر نسبتاً دقیق به شکل های مختلف برای $\epsilon_{xc}^{\text{hom}}$ در مقالات ارائه شده اند که به چند مورد از آنها اشاره می کنیم.

۱) نتایج محاسبات سپرلی والدر با استفاده از محاسبات مونت کارلو پارامتریزه شده توسط پردووزنگر [۴]. نتایج بر حسب هارتی بیان شده که یک هارتی معادل دو ریدبرگ است.

$$\epsilon_x = \frac{-0.4582}{r_s}$$

$$\epsilon_c = \begin{cases} \frac{-0.1423}{(1 + 1.9529\sqrt{r_s} + 0.333r_s)} & r_s \geq 1 \\ -0.0480 + 0.0311Lnr_s - 0.0116r_s + 0.0020r_s Lnr_s & r_s \leq 1 \end{cases}$$

r_s شعاع کره ای است که به هر الکترون نسبت داده می شود.

۲) تقریب موضعی انرژی تبادلی که توسط اسلیتر [5] مطرح شد، بصورت زیر است.

$$V_{xc}(\vec{r}) = -\alpha \left(\frac{3e^2}{2\pi} [3\pi^2 \rho(\vec{r})]^{\frac{1}{3}} \right)^3 \quad (42-1)$$

^۱ local Density Approximation

α : ضریب عددی است بین ۱ و $\frac{2}{3}$.

مزایا و محدودیتهای تقریب موضعی اسلیتر مزایا:

از آن جایی که این پتانسیل تبادلی موضعی است، نسبت به پتانسیل غیر موضعی تبادلی هارتی-فوك از لحاظ عددی بسیار ساده تر محاسبه می شود. همچنین خواص سیستمهای فلزی را به دلیل اینکه اساس این تقریب گاز الکترونی همگن است، بطور صحیحی پیشگویی میکند.

محدودیتها:

در این تقریب پتانسیل موضعی است در صورتیکه پتانسیل تبادلی واقعی، غیر موضعی است. برای نیمه هادیها و عایقها شکاف انرژی کمتر از مقدار واقعی و انرژی پیوندی بیشتر از مقدار واقعی است.

$$\begin{aligned} \text{Gap}^{\text{LDA}} &< \text{Gap}^{\text{experiment}} < \text{Gap}^{\text{H-F}} \\ E_{\text{Binding}}^{\text{LDA}} &> E_{\text{Binding}}^{\text{experiment}} > E_{\text{Binding}}^{\text{H-F}} \end{aligned}$$

۳-۷-۱) تقریب گرادیان تعمیم یافته GGA^۱

این تقریب هنوز تقریبی موضعی است، اما پتانسیل V_{xc} تابعی از چگالی و گرادیان آن (∇n) در نقطه مورد نظر است. این تقریب برای چگالیهای پایین بهتر جواب می دهد. در فلزات نیز انرژی کل را بهتر پیش بینی می کند. چون در فلزات چگالی یکنواخت است، تغییرات چگالی کوچک است، پس می توان V_{xc} را به صورت یک بسط اختلالی روی توانهای گرادیان چگالی بنویسیم. بر خلاف نتایج تجربی LDA پیش بینی می کند که فاز bcc از fcc برای آهن پایدارتر است . تصحیحات GGA نتایج آزمایشگاهی را درست پیش بینی می کند.

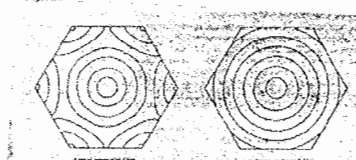
۸-۱) روش سلوولار [۱]

^۱ Generalized Gradient Approximation

اساس کار در این روش حل معادله شرودینگر در یک سلول ویگنر سایتزر است که جواب بصورت زیر در می آید:

$$\begin{aligned}\psi_k(\vec{r} + \vec{R}) &= e^{i\vec{k} \cdot \vec{R}} \psi_k(\vec{r}) \\ \text{شرط مرزی این است که تابع } \tilde{\nabla} \psi(\vec{r}) \text{ روی سطح سلول و درون سلول پیوسته بماند.} \\ \psi(\vec{r}) &= e^{-i\vec{K} \cdot \vec{R}} \psi(\vec{r} + \vec{R}) \\ n^\wedge(\vec{r}) \cdot \tilde{\nabla} \psi(\vec{r}) &= e^{-i\vec{K} \cdot \vec{R}} n^\wedge(\vec{r} + \vec{R}) \cdot \tilde{\nabla} \psi(\vec{r} + \vec{R}) \quad (44-43)\end{aligned}$$

شرط مرزی اول معرف این است که تابع موج بلاخ از یک سلول به سلول دیگر به اندازه یک عامل فاز تغییر می کند و شرط بعدی نشاندهنده پیوستگی مشتق تابع موج در جهت عمودی است. $\vec{r} + \vec{R}$ و \vec{r} دو نقطه روی سطح سلول هستند و \hat{n} بردار عمود بر سطح سلول است. برای حفظ تقارن بلور، فرض می کنیم این سلول ویگنر سایتزر روی نقطه $0 = \vec{R}$ شبکه قرار دارد. تقریب اول مدل سلولار تعویض پتانسیل تناوبی $U(\vec{r})$ در سلول ویگنر سایتزر، با پتانسیل $V(\vec{r})$ با تقارن کروی حول مبدا است. در شکل زیر پتانسیل واقعی برای بلور در نزدیک مرکز سلول تقارن کروی دارد و نزدیک مرزها تقارن کروی از بین می رود. چون تاثیر دیگر اتم ها در نزدیک مرزها ظاهر می شود.



شکل ۱-۵ : پتانسیل با تقارن کروی در سلول ویگنر-سایتس

ابتدا یک پتانسیل با تقارن کروی درون سلول انتخاب می شود. سپس در سلول مجموعه کاملی از جواب های معادله شرودینگر به صورت زیر پیدا می شود:

$$\psi_{lm}(\vec{r}) = Y_{lm}(\theta, \varphi) \chi_l(\vec{r}) \quad (45-1)$$

که $Y_{lm}(\theta, \varphi)$ هارمونیک های کروی هستند و $\chi_l(\vec{r})$ در معادله دیفرانسیل زیر صدق می کند.

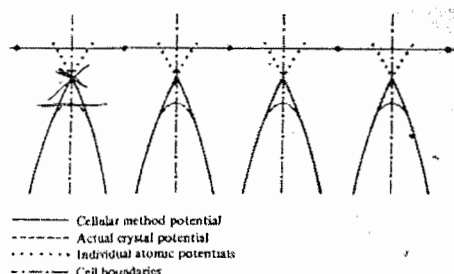
$$\chi_l''(\vec{r}) + \frac{2}{\vec{r}} \chi_l'(\vec{r}) + \frac{2m}{\hbar^2} \left[\epsilon - V(\vec{r}) - \frac{\hbar^2}{2m} \frac{l(l+1)}{\vec{r}^2} \right] \chi_l(\vec{r}) = 0 \quad (46-1)$$

$V(\vec{r})$ پتانسیل اتمی است که تقارن کروی دارد. (\vec{r}, ε) یکتاست و به انرژی الکترونهای بلوری وابسته است. هر ترکیب خطی از جوابهای معادله شرودینگر با انرژیهای یکسان، خود یک جواب است. یعنی:

$$\psi(\vec{r}, \varepsilon) = \sum_{lm} A_{lm} Y_{lm}(\theta, \varphi) \chi_{l,\varepsilon}(\vec{r}) \quad (47-1)$$

این جواب، تنها هنگامی یکتابع موج قابل قبول برای بلور را می دهد، که شرایط مرزی را ارضاء کند. مشهورترین کاربرد روش سلوار، محاسبه پایینترین تراز انرژی در نوار ظرفیت فلز سدیم بود که توسط ویگنر و سایتز انجام شد. از آنجایی که ته نوار در $k=0$ است، ضریب نمایی در شرایط مرزی دیده نشد. در نتیجه سلول ویگنرسایتزرا با کره ای به شعاع r_0 با همان حجم تعویض کردند. چون پتانسیل در $V(\vec{r})$ تقارن کروی دارد، $\psi(\vec{r})$ نیز چنین است، پس تنها نیاز به جمله A_{lm} و $m=0$ داریم، چون تنها تابع موجی که تقارن کروی دارد به ازای $m=0$ است و شرایط مرزی به $\chi_0(r_0)$ کاهش پیدا می کند. بنابراین جوابهای معادله شرودینگر (46-1) برای $m=0$ از شرط مرزی بالا تبعیت می کند و ویژه مقادیر و توابع موج سلوار با تقارن کروی را می دهد. توجه شود که مساله همان شکل مساله اتمی را دارد، جز اینکه شرط مرزی مساله اتمی این است که تابع موج در بینهایت صفر می شود، ولی شرط مرزی سلوار این است که مشتق شعاعی تابع موج در r_0 صفر می شود. دو مشکل اساسی در روش سلوار وجود دارد:

- ۱) مشکلات محاسباتی در ارضا شرط مرزی روی سطح سلول ویگنر سایتز که یک ساختار چند وجهی پیچیده است.



شکل ۱-۶: ناپیوستگی مشتق پتانسیل در مرزهای سلول ویگنر - سایتس

۲) ناپیوستگی مشتق پتانسیل در مرز بین دو سلول ویگنر سایتز، در حالیکه پتانسیل واقعی در این ناحیه کاملاً یکنواخت است. شکل زیر این ناپیوستگی مشتق را نشان می‌دهد.

پتانسیلی که به این دو ایراد غلبه می‌کند، پتانسیل مافین-تین است، بطوریکه به دور هر یون مجزا در هر نقطه شبکه، کره‌ای به شعاع r_0 در نظر گرفته می‌شود. شعاع انتخاب شده به حدی است که کره‌ها با هم همپوشانی نداشته باشند. انتخاب شعاع کره مافین-تین تا حدی دلخواه است. هر چه این شعاع بزرگتر باشد، فضای خالی بین کره‌ها کمتر می‌شود و تقریب مافین-تین به پتانسیل بلور نزدیکتر می‌شود. پس این تقریب برای ساختارهای closed-packed بسیار مناسب است. در ساختار packed پتانسیل کل بلور بصورت زیر است:

$$u(\vec{r}) = \sum_{\vec{R}} V^{al}(\vec{r} + \vec{R}) \quad (48-1)$$

پتانسیل مافین-تین این دو مشکل را به این صورت حل می‌کند که در مناطق خارج کره‌ها توابع موج یکنواخت و به صورت امواج تخت هستند و داخل کره‌های مافین-تین توابع موج بصورت اتمی می‌باشند. همچنین شرایط مرزی روی یک سطح کروی است تا یک سطح چند وجهی. پتانسیل مافین-تین بصورت زیر تعریف می‌شود:

$$U(\vec{r}) = \begin{cases} V(|\vec{r} - \vec{R}|) & \text{if } |\vec{r} - \vec{R}| < r_0 \\ V(r_0) = 0 & \text{if } |\vec{r} - \vec{R}| > r_0 \end{cases} \quad (49-1)$$

\vec{r}_0 کمتر از نصف فاصله نزدیکترین همسایه است. این پتانسیل برای بسیاری از فلزات کاربرد دارد. دو روش برای محاسبه ساختار نواری در پتانسیل مافین-تین وجود دارد:

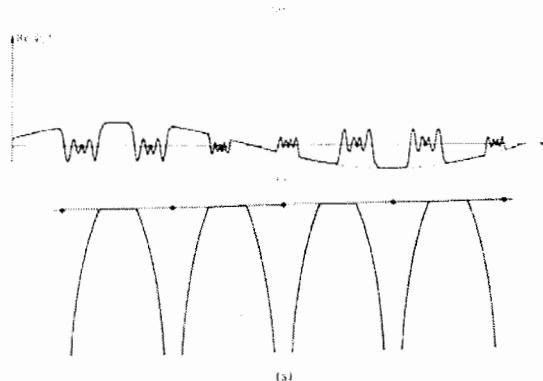
۱) روش امواج تخت بهبود یافته (APW)

۲) روش تابع گرین (KKR)

۹-۱) روش امواج تخت بهبود یافته (APW)^۱

¹ The Augmented Plane Wave

این روش اولین بار توسط اسلیتردر سال ۱۹۳۷ بیان شد. چون بسیاری از الکترونهای ظرفیت رفتار دوگانه ای را در حوالی هسته و در بین کره های مافین-تین داشتند، پتانسیل بلور با پتانسیل مافین-تین تقریب زده شد. بنابر این کل بلور را به دو ناحیه درون کرده ها و ناحیه بین جایگاهی تقسیم می کنیم، که درون کرده ها تابع موج الکترون دارای تغییرات زیاد و بصورت اتمی و در ناحیه بین جایگاهی تابع موج تخت است. در شکلهای زیر تغییرات تابع موج و پتانسیل برای هر دو ناحیه درون کرده ها و ناحیه بین جایگاهی نشان داده شده است.



شکل ۱-۷ : تابع موج تخت در روی پتانسیلهای اتمی شکل اتمی به خود می گیرند همانطور که در منحنی دوم ملاحظه می شود، حول و حوش هسته ها پتانسیل کروی و در فاصله

$$\text{بین هسته ها ثابت است. در ناحیه بین جایگاهی توابع پایه بصورت امواج تخت هستند:} \\ \phi(\vec{K}_n, \vec{r}) = \frac{1}{\sqrt{\Omega}} e^{i\vec{K}_n \cdot \vec{r}} \quad (50-1)$$

Ω حجم یاخته و \vec{K} برداری در کل فضای وارون است. توابع پایه در ناحیه درون کرده ها، ترکیب

خطی از توابع موج اتمی هستند:

$$\phi(\vec{K}_n, \vec{r}) = \sum_{l=0}^{\infty} \sum_{m=-1}^1 A_{lm}(\vec{K}_n) u_l(\vec{r}, E) Y_{lm}(\hat{r}) \quad (51-1)$$

$u_l(\vec{r}, E)$ جواب معادله شرودینگر شعاعی زیر به ازای انرژی E در حضور پتانسیل کروی داخل کرده مافین-تین است.

$$\left\{ -\frac{d^2}{dr^2} + \frac{l(l+1)}{r^2} + v(r) - E \right\} \vec{r} u_l(\vec{r}, E) = 0 \quad (52-1)$$

و در نهایت تابع موج کل بلور برابر است با:

$$\psi_K(\vec{r}) = \sum_{\vec{K}_n=|\vec{K}|}^{\vec{K}_{\max}} c(\vec{K}_n) \phi(\vec{K}_n, \vec{r}) \quad (53-1)$$

ضرایب $c(\vec{K}_n)$ با اعمال روش وردشی ریتس بدست می‌آیند.

$$\langle E \rangle = \frac{\langle \psi | H | \psi \rangle}{\langle \psi | \psi \rangle}$$

ضرایب A_{lm} به گونه‌ای انتخاب می‌شوند که توابع پایه $\phi(\vec{K}_n, \vec{r})$ بر روی کره‌های \vec{K}_n ~~حاصل از~~ $\delta C(\vec{K}_n)$ پیوسته باشد. پیوستگی مشتق توابع پایه در این روش اعمال نمی‌شود. برای اعمال شرط پیوستگی ابتدا موج تخت را بر حسب هارمونیک‌های کروی بسط میدهیم:

$$e^{i\vec{K}_n \cdot \vec{r}} = 4\pi \sum_{l=0}^{\infty} \sum_{m=-l}^l i^l j_l(\vec{K}_n \vec{r}) Y_{lm}^*(\hat{K}_n) Y_{lm}(\hat{r}) \quad (54-1)$$

از تابع بسل کروی مرتبه 1 است و بردارهای یکه k_n و \hat{r} بخش زاویه‌ای k_n و r را مشخص می‌کنند. پس از اعمال شرط پیوستگی توابع موج، ضریب A_{lm} به صورت زیر بدست می‌آید:

$$A_{lm}(\vec{K}_n) = \frac{4\pi i^l j_l(\vec{K}_n \vec{R}) Y_{lm}^*(\hat{K}_n)}{u_l(\vec{R}, E)} \quad (55-1)$$

با توجه به اینکه ما می‌خواهیم خواص الکترون را درون داخل کرده مافین-تین بررسی کنیم، $u_l(\vec{r}, E)$ که در بسط تابع موج بکار می‌رود، فقط در مبدا منظم است. پس از اعمال شرط پیوستگی، تنها مقادیر گسسته‌ای از انرژی جواب خواهد بود.

مشکلات روش APW :

- 1) پس از تشکیل دترمینان ضرایب توابع پایه، مشاهده می‌شود که جملات این دترمینان خود به انرژی وابسته‌اند، پس با یک مساله ویژه مقداری غیر خطی روبه رو هستیم که جواب آن تنها با یک مرحله قطری سازی بدست نمی‌آید، بلکه لازم است مقدار دترمینان به ازای مقادیر مختلف انرژی E محاسبه شود و مقادیری از انرژی که به ازای آنها دترمینان صفر می‌شود، ویژه مقادیر انرژی هستند. این محاسبات

به ازای هر K مجاز و در هر یک از نوارها تکرار می شوند. به همین دلیل حجم محاسبات در این روش زیاد است و حتی با کامپیوتر نیز زمان زیادی نیاز دارد.

۲) مشکل دیگر مربوط به مقادیری از انرژی است که به ازای آن مقادیر (\vec{r}, E, u) بر روی سطح کره مافین-تین صفر می شود (مشکل مجانبی). در اینصورت اگر بخواهیم شرط پیوستگی توابع پایه را بر روی سطح کره اعمال کنیم، A_{lm} نا محدود می شود. همچنین در حوالی نقطه مجانب بدلیل تغییرات زیاد A_{lm} ، دترمینان نیز تغییرات زیادی دارد و انجام محاسبات مشکل است.

[۱]^۱ (KKR) روش تابع گرین

در این روش نیز مانند روش APW، اساس کار حل معادله شرودینگر در حضور پتانسیل مافین-تین است. فرم انتگرالی معادله شرودینگر را بصورت زیر در نظر می گیریم:

$$\psi_k(\vec{r}) = \int d\vec{r}' G_{\epsilon(k)}(\vec{r} - \vec{r}') U(\vec{r}') \psi_k(\vec{r}') \quad (56-1)$$

انتگرالگیری نیز روی کل فضاست. می دانیم که تابع گرین در رابطه زیر صدق می کند:

$$(\epsilon + \frac{\hbar^2 \nabla^2}{2m}) G(\vec{r} - \vec{r}') = \delta(\vec{r} - \vec{r}')$$

تابع گرین به شکل زیر نمایانگر یک موج کروی باز شونده یا جمع شونده است.

$$G_\epsilon(\vec{r} - \vec{r}') = \frac{-e^{ik|\vec{r} - \vec{r}'|}}{4\pi |\vec{r} - \vec{r}'|} \quad (57-1)$$

با در نظر گرفتن شرط بلاخ و با توجه به اینکه

$$\xi_{k,\epsilon(k)} = \sum_{\vec{R}} G_\epsilon(\vec{r} - \vec{r}' - \vec{R}) e^{i\vec{k} \cdot \vec{R}} \quad (58-1)$$

رابطه (56-1) به رابطه زیر تبدیل می شود:

$$\int d\Omega' [\xi_{k,\epsilon(k)}(\vec{r}_0 \theta \varphi, \vec{r}_0 \theta' \varphi') \frac{\partial \psi(\vec{r} \theta' \varphi')}{\partial r}] \Big|_{\vec{r}=\vec{r}_0} - \psi(\vec{r}_0 \theta' \varphi') \frac{\partial}{\partial r} \xi_{k,\epsilon(k)}(\vec{r}_0 \theta \varphi, \vec{r}_0 \theta' \varphi') \Big|_{\vec{r}=\vec{r}_0} = 0 \quad (59-1)$$

^۱ The Green function method of Korringa, Kohn, Rostoker

توابع موج را به صورت اتمی رادر نظر می گیریم. ترکیب خطی از جوابهای معادله شرودینگر با انرژیهای یکسان، جواب است.

$$\psi(\vec{r}, \varepsilon) = \sum_{lm} A_{lm} Y_{lm}(\theta, \varphi) \chi_{l,\varepsilon}(\vec{r}) \quad (60-1)$$

بسته به میزان دقیقی که می خواهیم داشته باشیم، تعداد محدودی از هارمونیک های کروی را در بسط بالا انتخاب می کنیم. با جایگزینی این بسط در رابطه (59-1)، N معادله خطی برای A_{lm} ها دست می آید. برای اینکه این معادلات دارای جوابهای غیر بدیهی باشند، باید دترمینان ضرایب A_{lm} را مساوی صفر قرار دهیم. این ضرایب به $\epsilon_{k,\varepsilon(k)}$ وابسته اند. در نتیجه به k و $\varepsilon(k)$ نیز وابسته می شوند. برای صفر شدن دترمینان ضرایب A_{lm} می توان به ازای یک k ثابت در نوارهای مختلف انرژی مقادیری از ε را پیدا کنیم که دترمینان را صفر می کند و به ازای یک ε ثابت، k هایی را پیدا کنیم که دترمینان را صفر می کنند.

مزایا و معایب

مزایا:

در ناحیه بین جایگاهی امواج تخت توسط انتشارگری به نام تابع گرین $\frac{e^{ik\cdot\vec{r}}}{\vec{r}}$ از یک کره مافین-تین به کره دیگر منتشر می شوند و همه k ها را پوشش می دهد. همچنین تعداد هارمونیک های کروی که داخل کره مافین-تین در نظر می گیریم، کمتر از روش APW است، پس سرعت انجام محاسبات نسبت به APW بیشتر است.

معایب:

عیب این روش این است که عباراتی که برای ضرایب A_{lm} در روش KKR بدست می آید، نسبت به APW پیچیده تر است و حجم محاسبات بالاتر می رود. ولی نتایجی که از هر دو روش بدست می آید، نتایج قابل قبولی هستند.

۱-۱۱) روش امواج تخت متعامد (OPW)^۱

این روش که در سال ۱۹۴۰ توسط Herring بیان شد، ترکیبی از نوسانهای سریع تابع موج در منطقه مغزی با رفتار موج تخت گونه در ناحیه بین جایگاهی است. برای انجام محاسبات ساختار نواری از پتانسیل مافین-تین استفاده نمی‌شود. می‌دانیم تفاوت بین الکترونها مغزی و ظرفیت در چگونگی رفتار توابع موجشان است. توابع موج مغزی حول جایگاههای شبکه (روی اتمها) بخوبی جایگزیده اند ولی الکترونها ظرفیت تحت توابع موجی که ترکیبی از تعداد کمی امواج تخت هستند، در ناحیه بین جایگاهی با احتمال بالا یافت می‌شوند. حال اگر ما توابع موج الکترونها ظرفیت را با تعداد کمی از امواج تخت تقریب بزنیم (مانند تقریب الکترون تقریباً آزاد)، از بررسی رفتار نوسانی سریع الکترونها در ناحیه مغزی عاجز می‌مانیم. بنابراین بجای استفاده از امواج تخت، از امواج تخت متعامد به ویژه حالتها مغزی استفاده می‌کنیم. به این صورت:

$$\phi_k = e^{ik \cdot \vec{r}} + \sum_c b_c \psi_k^c(\vec{r}) \quad (61-1)$$

که جمع روی همه ترازهای مغزی است. $(\vec{r}) \psi_k^c$ ویژه حالتها مغزی هستند. ثابت b_c نیز از شرط عمود بودن ϕ_k ها بر ویژه حالتها مغزی بدست می‌آیند.

$$b_c = - \int d\vec{r} \psi_k^*(\vec{r}) e^{ik \cdot \vec{r}} \quad (62-1)$$

ویژگیهای توابع موج OPW :

- ۱) این توابع موج به همه ترازهای مغزی عمودند، بنابراین نوسانهای سریع در منطقه مغزی را هم در نظر می‌گیرند.

^۱ The Orthogonalized Plane Wave

۲) چون ترازهای مغزی حول نقاط شبکه جایگزیده اند، جمله دوم درابطه (۶۱-۱) در ناحیه بین

جایگاهی کوچک می شود، بنابراین ϕ_k در این ناحیه به موج تخت نزدیک می شود. با درنظر گرفتن تابع

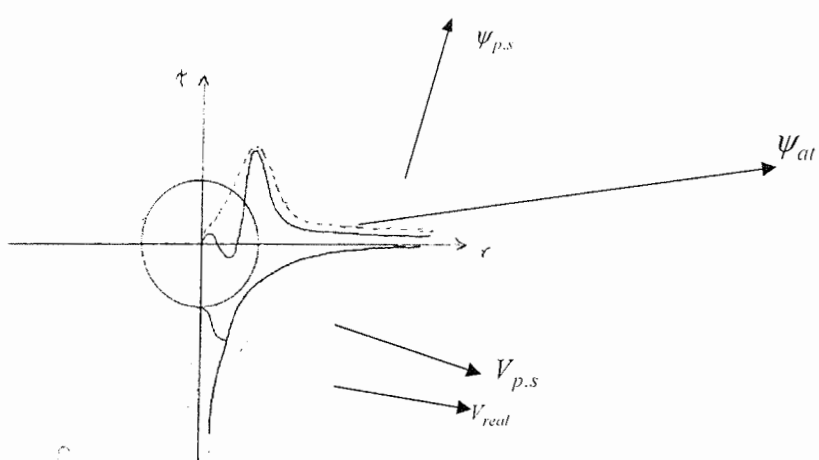
موج کل بلور بصورت ترکیب خطی از توابع موج OPW داریم:

$$\psi_k = \sum_{k_n} c_{k_n} \phi_{k_n} \quad (63-1)$$

$$\vec{k}_n = \vec{k} + \vec{K}$$

که در آن \vec{k} برداری است در منطقه اول منطقه بریلوئن و \vec{K} بردار شبکه وارون است. پس از بذست آوردن ضرایب بسط با روش وردشی، معادله مشخصه بذست می آید که با حل آن به فرم دترمینانی ویژه مقادیر انرژی برحسب \vec{k} بذست می آید.

۱۲-۱) روش شبه پتانسیل^۱



ابتدا مساله را برای یک اتم بررسی می کنیم.

می بینیم در $V_{p.s}$ برای r های کوچک واگرایی نداریم. در صورتیکه برای پتانسیل واقعی (پتانسیل اتمی) در این ناحیه پتانسیل بینهایت می شود. شبه تابع موج را نیز به صورت زیر می نویسیم:

^۱ The pseudopotential

$$\psi_{p.s.}(\vec{r}) = \begin{cases} \vec{r} \geq \vec{r}_c & G_{real}(\vec{r}) = \vec{r} R_{nl}(\vec{r}) \\ \vec{r} \leq \vec{r}_c & F(\vec{r}) = r^{l+1} e^{p(\vec{r})} \end{cases} \quad (64-1)$$

$F(\vec{r})$ را به گونه ای حدس می زنیم که بدون گره باشد و به ازای هیچ \vec{r} ای صفر نشود. $p(\vec{r})$ نیز یک چند جمله ای مطابق زیر است :

$$p(\vec{r}) = \delta + \alpha x^2 + \beta x^3 + \gamma x^4$$

شرایط مرزی برای تعیین تابع موج :

۱) شبه پتانسیل و شبه تابع موج باید به گونه ای باشد که ویژه مقادیر انرژی اتمی را تعیین کنند.

۲) شبه تابع موج باید در $r \leq r_c$ بدون گره باشد و در $r \geq r_c$ برابر تابع موج اتمی باشد.

۳) پیوستگی تابع موج و مشتق اول و دوم آن در $r = r_c$ باید برقرار باشد به گونه ای که مجھولات مساله تعیین شود.

$$F(\vec{r}_c) = G(\vec{r}_c)$$

$$\frac{dF(\vec{r})}{d\vec{r}} \Big|_{\vec{r}=\vec{r}_c} = \frac{dG(\vec{r})}{d\vec{r}} \Big|_{\vec{r}=\vec{r}_c}$$

$$\frac{d^2F(\vec{r})}{dr^2} \Big|_{\vec{r}=\vec{r}_c} = \frac{d^2G(\vec{r})}{dr^2} \Big|_{\vec{r}=\vec{r}_c}$$

۴) باراتم باید بقا داشته باشد، بنابراین داریم:

$\int_{\vec{r} \leq \vec{r}_c} |F(\vec{r})|^2 d\vec{r} = \int_{\vec{r} \geq \vec{r}_c} |G(\vec{r})|^2 d\vec{r}$
از حل این معادلات می توان $F(\vec{r})$ را پیدا کرد. از آنجایی که ویژه مقدار هر ترازی با l مشخص را

می خواهیم، l هم معلوم است. $V_{real}(\vec{r}), V_{p.s.}(\vec{r})$ نیز از روابط زیر بدست می آید:

$$\left[\frac{d^2}{dr^2} + \frac{l(l+1)}{r^2} + V_{p.s.}(\vec{r}) - E \right] F(\vec{r}) = 0 \quad for \quad \vec{r} \leq \vec{r}_c \quad (65-1)$$

$$\left[\frac{d^2}{d\vec{r}^2} + \frac{l(l+1)}{\vec{r}^2} + V_{real}(\vec{r}) - E \right] G(\vec{r}) = 0 \quad for \quad \vec{r} \geq \vec{r}_c \quad (66-1)$$

در نتیجه پتانسیل برای کل بلور برابر است با :

$$V_l(\vec{r}) = \sum_{\vec{r}} V'_{p.s.}(\vec{r}) \delta(\vec{r} - \vec{r}_0) \quad (67-1)$$

که در آن

$$V'_{p.s.}(\vec{r}) = V^l_{p.s.}(\vec{r}) - V^{e-e}_X(\vec{r}) - V^{e-e}_{Xc}(\vec{r}) \quad (68-1)$$

رابطه (64-1) شامل پتانسیل های درون کره ها است. تنها روی مکان هر اتم، پتانسیل داریم و در مناطق بین جایگاهی پتانسیل نداریم. پتانسیل $V_l(\vec{r})$ شامل برهمنکنش الکترون و هسته است، چون از برهمنکنشهای کولنی صرفنظر کردیم. در نتیجه، می توانیم هامیلتونی کل بلور را بصورت زیر بنویسیم:

$$H = \frac{-\hbar^2 \nabla^2}{2m} + V_{e-e} + V_{e-ion}$$

توجه داشته باشید که شبه پتانسیل فقط برای الکترونهای ظرفیت خوب جواب می دهد و برای الکترونهای مغزی درست جواب نمی دهد.

مزایا و محدودیتها

مزیت:

چون شبه تابع موج را درون کره بدون گره در نظر گرفتیم، تعداد پایه های امواج تخت کاهش می یابد و حجم محاسبات کم میشود.

محدودیت:

این تقریب تنها برای الکترونهای ظرفیت خوب جواب می دهد، و رفتار الکترونهای مغزی نزدیک به الکترونهای ظرفیت را نمی دهد. در نتیجه تعداد کل الکترونهای اتم را نمی دهد.

فصل دوم

تقریب هارتی - فوک

(۱-۲) ذرات مشابه و دترمینان توابع موج ([۱۲],[۳])

دراین بخش به طور خلاصه بعضی از نتایج اصلی اصل پادمتقارن سازی را برای فرمیون‌ها بیان می‌کنیم و به طور ویژه دترمینان توابع پایه یک سیستم چند الکترونی را به دست می‌آوریم. واضح است که یک تابع موج چند الکترونی باید نسبت به تبادل مختصات دو الکترون پادمتقارن باشد. یک سیستم N الکترونی با مجموعه‌ای از $\{\psi_i\}$ ها برای مدارهای اسپینی تک ذره‌ای ارتونرمال در نظر می‌گیریم. تابع موج مناسب پادمتقارن برای N الکترون به صورت زیر است.

$$\psi_0(\vec{r}_1\sigma_1, \vec{r}_2\sigma_2, \dots, \vec{r}_N\sigma_N) = A\{\psi_1(\vec{r}_1\sigma_1)\psi_2(\vec{r}_2\sigma_2)\dots\psi_N(\vec{r}_N\sigma_N)\} \quad (1-2)$$

در اینجا A اپراتور پادمتقارن کننده است.

$$A = \frac{1}{\sqrt{N!}} \sum_{i=1}^{N!} (-1)^{P_i} P_i$$

$N!$ تعداد جایگشت‌ها، P_i مختصات الکترونی و جمله $(-1)^{P_i}$ معادل با $+1$ یا -1 برای جایگشت‌های زوج یا فرد است. توجه کنید که اگر مدارهای اسپینی تشکیل دهنده ψ ارتونرمال باشند، ψ نرمالیزه به 1 می‌شود.

$$\psi_0(\vec{r}_1\sigma_1, \vec{r}_2\sigma_2, \dots, \vec{r}_N\sigma_N) = \frac{1}{\sqrt{N!}} \begin{vmatrix} \psi_1(\vec{r}_1\sigma_1) & \psi_1(\vec{r}_2\sigma_2) & \dots & \psi_1(\vec{r}_N\sigma_N) \\ \psi_2(\vec{r}_1\sigma_1) & \psi_2(\vec{r}_2\sigma_2) & \dots & \psi_2(\vec{r}_N\sigma_N) \\ \vdots & & & \\ \psi_N(\vec{r}_1\sigma_1) & \psi_N(\vec{r}_2\sigma_2) & \dots & \psi_N(\vec{r}_N\sigma_N) \end{vmatrix} \quad (2-2)$$

واضح است که تعویض دوستون، علامت دترمینان را تغییرمی‌دهد که با ویژگی پادمتقارنی تابع موج سازگار است. به علاوه اشغال یک مدار اسپینی به وسیله دوالکترون، معادل با دو ردیف مساوی در دترمینان است. بنابراین دترمینان صفرمی شود. یعنی یک مدار اسپینی نمی‌تواند با دو الکترون اشغال شود. یک ویژگی مهم در دترمینان توابع موج، این است که الکترون‌های با اسپین‌های موازی، از هم جدا هستند. برای فهم بهتر این مطلب، دترمینان بالا را در یک مورد خاص که همه اسپین‌ها موازی باشند، برای نمونه اسپین \uparrow را در نظرمی‌گیریم. دترمینان به شکل مقابل در می‌آید.

$$\psi_0(\vec{r}_1\sigma_1, \vec{r}_2\sigma_2, \dots, \vec{r}_N\sigma_N) = \frac{1}{\sqrt{N!}} \begin{vmatrix} \phi_1(\vec{r}_1) & \phi_1(\vec{r}_2) & \dots & \phi_1(\vec{r}_N) \\ \phi_2(\vec{r}_1) & \phi_2(\vec{r}_2) & \dots & \phi_2(\vec{r}_N) \\ \vdots & & & \\ \phi_N(\vec{r}_1) & \phi_N(\vec{r}_2) & \dots & \phi_N(\vec{r}_N) \end{vmatrix}_{\sigma(1)\sigma(2)\dots\sigma(N)} \quad (3-2)$$

روشن است که گره‌های ψ هنگامی اتفاق می‌افتد که $r_i \equiv r_j$ باشد. بنابراین دوالکترون با اسپین یکسان نمی‌توانند در یک مکان باشند. توابع موج چند ذره‌ای می‌توانند به صورت زیر در یک شکل فشرده‌تر نیز نوشته شوند، به طوری که مختصات فضایی و اسپینی الکترون‌ها به طور صریح حذف شوند.

$$\psi_0 = \frac{1}{\sqrt{N!}} \det \{\psi_1 \psi_2 \dots \psi_N\} \quad (4-2)$$

این شکل تابع موج برای ذرات غیر قابل تشخیص (فرمیون‌ها) می‌باشد. برای ذرات قابل تشخیص (بوزون‌ها) تابع موج بصورت زیر است.

$$\psi_0(\vec{r}_1, \vec{r}_2, \dots, \vec{r}_N) = \psi_0(\vec{r}_1) \psi_0(\vec{r}_2) \dots \psi_0(\vec{r}_N) \quad (5-2)$$

مثالاً برای یک سیستم ۵ الکترونی مانند اتم بور، تابع موج حالت پایه بصورت زیر می‌شود:

$$\psi_0(\vec{r}_1, \vec{r}_2, \dots, \vec{r}_5) = \det s(0, 1, 2, 3, 4)$$

و انرژی کل سیستم نیز معادل مجموع انرژی الکترونهای موجود در ترازهای اول تا پنجم است.

$$\mathcal{E} = E_0 + E_1 + E_2 + E_3 + E_4$$

برای اولین بارگیری نیزتابع موج و انرژی کل به صورت زیر است.

$$\psi_1(\vec{r}_1, \vec{r}_2, \dots, \vec{r}_5) = \det s(0, 1, 2, 3, 5)$$

$$\mathcal{E} = E_0 + E_1 + E_2 + E_3 + E_5$$

یعنی الکترون در اینجا از تراز چهارم به پنجم رفته است.

۲-۱-۱) وارد کردن اختلال به سیستم

ابتدا تصحیح مرتبه اول انرژی را روی حالت پایه سیستم حساب می کنیم.

$$E'_0 = \left\langle \psi_0 \left| \frac{1}{2} \sum_i \sum_{j \neq i} V(\vec{r}_{ij}) \right| \psi_0 \right\rangle \quad (6-2)$$

پس ابتدا باید تابع موج پادمتقارن حالت پایه را پیدا کرده و آن را بر حسب دترمینان اسلیتر بنویسیم. مثلًا

تابع موج یک سیستم ۵ الکترونی به صورت زیر است.

$$\psi(\vec{r}_1, \dots, \vec{r}_5) = A \sum_{p=1}^{5!} (-1)^p \psi_{P(1)}(\vec{r}_1) \dots \psi_{P(N)}(\vec{r}_N)$$

که در آن P تعداد جایگشت‌هاست. به عنوان نمونه چند جایگشت را برای این سیستم می نویسیم.

$$\begin{cases} p=0 \Rightarrow 1 \ 2 \ 3 \ 4 \ 5 \\ p(1)=1, p(2)=2, p(3)=3, p(4)=4, p(5)=5 \end{cases}$$

$$\begin{cases} p=1 \Rightarrow 2 \ 1 \ 3 \ 4 \ 5 \\ p(1)=2, p(2)=1, p(3)=3, p(4)=4, p(5)=5 \end{cases}$$

$$\begin{cases} p=2 \Rightarrow 2 \ 3 \ 1 \ 4 \ 5 \\ p(1)=2, p(2)=3, p(3)=1, p(4)=4, p(5)=5 \end{cases}$$

به همین ترتیب می توانیم تعداد $5!$ جایگشت داشته باشیم.

$$\psi(\vec{r}_1, \dots, \vec{r}_5) = A [(-1)^0 \psi_1(\vec{r}_1) \psi_2(\vec{r}_2) \dots \psi_5(\vec{r}_5) -$$

$$\psi_2(\vec{r}_1) \psi_1(\vec{r}_2) \psi_3(\vec{r}_3) \dots \psi_5(\vec{r}_5) + \psi_2(\vec{r}_1) \psi_3(\vec{r}_2) \psi_1(\vec{r}_3) \psi_4(\vec{r}_4) \psi_5(\vec{r}_5) - \dots]$$

باید ψ نرمالیزه به ۱ شود تا A پیدا شود.

$$\langle \psi | \psi \rangle = 1 \rightarrow \sum_{P,P'} (-1)^{P+P'} A^2 \int \varphi_{P(1)}^*(\vec{r}_1) \varphi_{P'(1)}(\vec{r}_1) d\vec{r}_1 \dots \int \varphi_{P(N)}^*(\vec{r}_N) \varphi_{P'(N)}(\vec{r}_N) d\vec{r}_N$$

$\varphi(\vec{r})$ ها ویژه توابع سیستم تک الکترونی هستند، اگر هامیلتونی سیستم تک الکترونی بصورت زیر باشد.

$$\left[\frac{\vec{P}^2}{2m} + V(\vec{r}) \right] \varphi_\lambda(\vec{r}) = E_\lambda \varphi_\lambda(\vec{r}) \quad (7-2)$$

آنگاه خواهیم داشت.

$$\begin{aligned} \langle \psi | \psi \rangle &= \sum_{P,P'} (-1)^{P+P'} A^2 \delta_{P(1),P'(1)} \dots \delta_{P(N),P'(N)} = \sum_{P,P'} (-1)^{P+P'} A^2 \delta_{P,P'} = 1 \Rightarrow P = P' \\ &\Rightarrow A^2 \sum_{P=1}^{N!} 1 = A^2 N! = 1 \rightarrow A = \frac{1}{\sqrt{N!}} \end{aligned}$$

۲-۲) انرژی حالت پایه سیستم بس ذره ای

هامیلتونی کل سیستم N ذره ای برابر است با:

$$H = H^{(1)} + H^{(2)} \quad (8-2)$$

که در آن $H^{(1)}$ هامیلتونی مختل نشده و $H^{(2)}$ هامیلتونی اختلال است. $H^{(1)}$ سیستم N الکترونی

برابر با مجموع هامیلتونی سیستم های تک ذره ای است.

$$H^{(1)} = \sum_{i=1}^N H(r_i) = H(\vec{r}_1) + H(\vec{r}_2) + \dots + H(\vec{r}_N)$$

و انرژی مختل نشده برابر است با:

$$\begin{aligned} E^0 &= \langle \psi | H^{(1)} | \psi \rangle = \sum_{P,P'} (-1)^{P+P'} A^2 \left[\int \varphi_{P(1)}^*(\vec{r}_1) H(r_1) \varphi_{P'(1)}(\vec{r}_1) d\vec{r}_1 \dots \int \varphi_{P(N)}^*(\vec{r}_N) \varphi_{P'(N)}(\vec{r}_N) d\vec{r}_N \right. \\ &\quad \left. + \int \varphi_{P(1)}^*(\vec{r}_1) \varphi_{P'(1)}(\vec{r}_1) d\vec{r}_1 \int \varphi_{P(2)}^*(\vec{r}_2) H(r_2) \varphi_{P'(2)}(\vec{r}_2) d\vec{r}_2 \dots \int \varphi_{P(N)}^*(\vec{r}_N) \varphi_{P'(N)}(\vec{r}_N) d\vec{r}_N + \dots \right] \end{aligned}$$

از آنجایی که :

$$H(\vec{r}_1)\varphi_{p'(1)}(\vec{r}_1) = E_{p(1)}\varphi_{p'(1)}(\vec{r}_1)$$

⋮

$$H(\vec{r}_N)\varphi_{p'(N)}(\vec{r}_N) = E_{p(N)}\varphi_{p'(N)}(\vec{r}_N)$$

$$\int \varphi_{p(1)}^*(\vec{r}_1) E_{p(1)} \varphi_{p'(1)}(\vec{r}_1) d\vec{r}_1 = E_{p(1)} \int \left| \varphi_{p(1)}(\vec{r}_1) \right|^2 d\vec{r} = E_{p(1)} \delta_{p(1), p'(1)}$$

$$\text{پس داریم: } \int \varphi_{p(1)}^*(\vec{r}_1) E_{p(1)} \varphi_{p'(1)}(\vec{r}_1) d\vec{r}_1 = E_{p(1)} \quad \text{و} \quad p(1) = p'(1) \quad \text{اگر}$$

$$E^0 = \sum_{pp'} (-1)^{p+p'} A^2 [E_{p(1)} \delta_{p(1), p'(1)} \dots \delta_{p(N), p'(N)} + \dots + E_{p(N)} \delta_{p(1), p'(1)} \dots \delta_{p(N), p'(N)}]$$

و می دانیم:

$$\delta_{p(1), p'(1)} \dots \delta_{p(N), p'(N)} = \delta_{pp'}$$

اگر $p = p'$ در نتیجه داریم:

$$E^0 = \sum_p A^2 [E_{p(1)} + E_{p(2)} + \dots + E_{p(N)}]$$

که جمع انرژیهای مختلف با جایگشت‌های متفاوت، یکسان است.

$$E^0 = \sum_{p=0} A^2 [E_{p(1)} + E_{p(2)} + \dots + E_{p(N)}] = (E_1 + E_2 + E_3 + E_4 + E_5) +$$

$$(E_2 + E_1 + E_3 + E_4 + E_5) + (E_2 + E_3 + E_1 + E_4 + E_5) + \dots$$

که حاصل جمع همه پرانتزها یکسان است و برابر تعداد جایگشت‌ها یعنی $N!$ است. پس:

$$E^0 = A^2 \sum_{\lambda=1}^N E_\lambda \sum_{p=1}^{N!} 1 = \frac{1}{N!} \sum_{\lambda} E_\lambda N! = \sum_{\lambda} E_\lambda$$

معرف تعداد الکترون‌های سیستم است. λ

$$E^0 = \sum_{\lambda=1}^N E_\lambda \quad (9-2)$$

به این ترتیب انرژی حالت پایه سیستم N الکترونی، معادل مجموع انرژیهای سیستم تک الکترونی بdstت می‌آید.

۲-۱) برهمکنش الکترون-الکترون به عنوان اختلال

با در نظر گرفتن بر همکنش الکترون-الکترون به عنوان اختلال، تصحیح مرتبه اول انرژی به صورت زیر به دست می‌آید.

$$E^{(1)} = \langle \psi | H^{(2)} | \psi \rangle$$

همانطور که قبلاً گفته شد، هامیلتونی اختلال برابر است با :

$$H^{(2)} = \frac{1}{2} \sum_i \sum_{j \neq i} V(\vec{r}_i - \vec{r}_j) \quad (10-2)$$

در نتیجه :

$$E^{(1)} = \sum_{p,p'} \frac{(-1)^{p+p'}}{N!} \int d\vec{r}_1 d\vec{r}_2 \varphi_{p(1)}^*(\vec{r}_1) \varphi_{p(2)}^*(\vec{r}_2) V(\vec{r}_1 - \vec{r}_2) \varphi_{p'(1)}(\vec{r}_1) \varphi_{p'(2)}(\vec{r}_2) \delta_{p(3),p'(3)} \dots \delta_{p(N),p'(N)}$$

انتگرال زیر، یک انتگرال کولنی است.

$$\int d\vec{r}_1 d\vec{r}_2 \varphi_{p(1)}^*(\vec{r}_1) \varphi_{p(2)}^*(\vec{r}_2) V(\vec{r}_1 - \vec{r}_2) \varphi_{p'(1)}(\vec{r}_1) \varphi_{p'(2)}(\vec{r}_2) = u_{p(1)p'(1), p(2)p'(2)}$$

برای اینکه تصحیح مرتبه اول انرژی صفر نشود، باید :

$$p(3) = p'(3), \dots, p(N) = p'(N)$$

و هم اینکه یا $p(1) = p'(1)$ و $p(2) = p'(2)$ که معرف بر هم کنش مستقیم الکترونها با هم (تقاریب

هارتی) است یا اینکه $p(1) = p'(2)$ و $p(2) = p'(1)$ معرف پتانسیل تبادلی الکترونها (تقاریب

هارتی فوک) است. در نتیجه داریم:

$$E^{(1)} = \frac{1}{N!} \sum_p [u_{p(1)p(1), p(2)p(2)} - u_{p(1)p(2), p(2)p(1)}]$$

علامت منفی به این دلیل است که در جملات تبادلی، جایگشتها به اندازه یکی با هم اختلاف دارند و در $(-1)^{p+p'}$ توان (-1) فرد است و حاصل منفی می شود. در حالت کلی میتوان تصحیح مرتبه اول انرژی را بصورت زیر نوشت:

$$E^{(1)} = \langle \psi | H^{(2)} | \psi \rangle = \frac{1}{2N!} \sum_i \sum_{j \neq i} \sum_p [u_{p(i)p(i), p(j)p(j)} - u_{p(i)p(j), p(i)p(j)}] \quad (11-2)$$

ضریب $\frac{1}{2}$ برای جلوگیری از تکرار جملات مشابه است. تعداد جملات داخل کروشه $N!$ است، بنابراین:

$$E^{(1)} = \frac{1}{2} \sum_i \sum_{j \neq i} (u_{ii,jj} - u_{ij,ji}) = \frac{1}{2} \sum_{\mu} \sum_{\lambda \neq \mu} (u_{\lambda\lambda,\mu\mu} - u_{\lambda\mu,\mu\lambda}) \quad (12-2)$$

اگر حاصل جمع شامل جمله $\mu = \lambda$ نیز بود، آنگاه $E^{(1)} = 0$ می شد، به این معنا که هیچ الکترونی با خودش بر هم کنش ندارد. چگالی الکترونهای دیگر نسبت به الکترونی که در مکان $\vec{r}_1 = \vec{r}$ قرار دارد برابر است با:

$$\rho(\vec{r}) = N \int d\vec{r}_2 \dots d\vec{r}_N |\psi(\vec{r}, \vec{r}_2, \dots, \vec{r}_N)|^2 = N \int d\vec{r}_2 \dots d\vec{r}_N \psi(\vec{r}, \vec{r}_2, \dots, \vec{r}_N) \psi^*(\vec{r}, \vec{r}_2, \dots, \vec{r}_N)$$

که در آن N تعداد الکترونهاست.

$$\rho(\vec{r}) = \frac{N}{N!} \sum_{pp'} (-1)^{p+p'} \varphi_{p(1)}^*(\vec{r}_1) \varphi_{p'(1)}(\vec{r}_1) \delta pp'$$

برای اینکه چگالی صفر نشود، باید $p(1) = p'(1)$ باشد. چون وقتی در یک جایگشت همه حالتها با هم مساوی باشند، حتماً حالتها اولش نیز با هم مساوی است. در نتیجه :

$$\rho(\vec{r}) = \frac{N}{N!} \sum_{p(1)}^N |\varphi_{p(1)}(\vec{r}_1)|^2$$

در جایگشتهای مختلف تعداد $(N-1)!$ جایگشت وجود دارد که در آن $p(1) = p'(1)$ است.

$$\rho(\vec{r}) = \frac{N(N-1)!}{N!} \sum_{\lambda}^N |\varphi_{\lambda}(\vec{r}_1)|^2 = \sum_{\lambda}^N |\varphi_{\lambda}(\vec{r}_1)|^2$$

در نتیجه پتانسیل کولنی برابر است با:

$$u_{\lambda\lambda,\mu\mu} = \int d\vec{r}_1 d\vec{r}_2 \frac{|\varphi_{\lambda}(\vec{r}_1)|^2 |\varphi_{\mu}(\vec{r}_2)|^2}{|\vec{r}_1 - \vec{r}_2|} = \frac{\rho(\vec{r}_1) \rho(\vec{r}_2)}{|\vec{r}_1 - \vec{r}_2|} \quad (13-2)$$

و پتانسیل تبادلی برابر است با:

$$u_{\lambda\mu,\mu\lambda} = \int d\vec{r}_1 d\vec{r}_2 \frac{\varphi_\lambda^*(\vec{r}_1)\varphi_\mu(\vec{r}_1)\varphi_\mu^*(\vec{r}_2)\varphi_\lambda(\vec{r}_2)}{|\vec{r}_1 - \vec{r}_2|} \quad (14-2)$$

۲-۳) میدان خود سازگار

با توجه به اینکه $E^{(1)}$ دقیق نیست و از طرفی نتوانستیم $E^{(2)}$ به بعد را محاسبه کنیم، بنابراین برای تعیین انرژی حالت پایه سیستم و تصحیح مرتبه اول انرژی، از روش وردشی استفاده می کنیم. انرژی مختل نشده به صورت زیر است.

$$E^0 = \sum_{\lambda} E_{\lambda} = \langle \psi | H^{(1)} | \psi \rangle$$

$H^{(1)}$ طبق رابطه (۷-۲) هامیلتونی سیستم تک الکترونی است. در اینجا φ_{λ} ویژه تابع سیستم تک الکترونی نیست، بلکه ویژه تابع دلخواهی شامل ترکیب خطی از ویژه توابع سیستم تک الکترونی می باشد. تصحیح مرتبه اول انرژی نیز از رابطه (۱۲-۲) به دست آمد. باید φ_{λ} ها را طوری تعیین کنیم که دترمینان اسلیتر آن به گونه ای باشد که انرژی را مینیمم کند. از آنجا که برای مینیمم سازی باید از یک قید استفاده کنیم، در اینجا برای مینیمم کردن انرژی باید آن را از یک قید کم کرده و سپس از آن بر حسب φ_{λ} مشتق می گیریم و مساوی صفر قرارمی دهیم. انرژی کل به صورت زیر است.

$$E = E^0 + E^{(1)} \quad (15-2)$$

این انرژی شامل $2N$ متغیر است. در حالت کلی قید را باید به گونه ای انتخاب کنیم که توابع ارتو نرمال باشند. یعنی :

$$\sum_{\lambda\mu} g_{\lambda\mu} \left[\int \varphi_{\lambda}^*(\vec{r}) \varphi_{\mu}(\vec{r}) d\vec{r} \right] = \delta_{\lambda\mu} \quad (16-2)$$

در این حالت با گستره وسیعی از φ_{λ} ها سروکار داریم که کار مشکلی است. اگر فرض کنیم φ_{λ} ها متعامد باشند، قید این است که باید نرمالیزه هم باشند.

$$\int \left| \varphi_{\lambda}(\vec{r}') \right|^2 d\vec{r}' = 1 \quad (17-2)$$

حال قید را از انرژی کم کرده و نسبت به φ_{λ}^* مشتق می گیریم.

$$\delta[E^0 + E^{(1)} - \sum_{\lambda=1}^N g_{\lambda} \int |\varphi_{\lambda}(\vec{r}')|^2 d\vec{r}'] = 0$$

چون N تا قید داریم، λ از یک تا N تغییر می کند. g_{λ} ضریب لaggerانز است.

$$\begin{aligned} \frac{\partial}{\partial \varphi_l^*(\vec{r})} [E^0 + E^{(1)} - \sum_{\lambda} g_{\lambda} \int |\varphi_{\lambda}(\vec{r})|^2 d\vec{r}] &= 0 \\ \frac{\partial}{\partial \varphi_l^*(\vec{r})} \left[\sum_{\lambda} \int \varphi_{\lambda}^*(\vec{r}_1) H^{(1)} \varphi_{\lambda}(\vec{r}_1) d\vec{r}_1 + \frac{1}{2} \sum_{\lambda, \mu \neq \lambda} \left\{ \int \varphi_{\lambda}^*(\vec{r}_1) \varphi_{\lambda}(\vec{r}_1) V(\vec{r}_1 - \vec{r}_2) \varphi_{\mu}^*(\vec{r}_2) \varphi_{\mu}(\vec{r}_2) d\vec{r}_1 d\vec{r}_2 - \right. \right. \right. \\ &\quad \left. \left. \left. \int \varphi_{\lambda}^*(\vec{r}_1) \varphi_{\mu}(\vec{r}_1) V(\vec{r}_1 - \vec{r}_2) \varphi_{\mu}^*(\vec{r}_2) \varphi_{\lambda}(\vec{r}_2) d\vec{r}_1 d\vec{r}_2 \right\} - \sum_{\lambda} g_{\lambda} \int |\varphi_{\lambda}(\vec{r})|^2 d\vec{r} \right] &= 0 \end{aligned}$$

است و $\vec{r}_1 = \vec{r}$ و $\lambda = l$ و $\varphi_l^*(\vec{r}_1)$ یکی از $\varphi_l^*(\vec{r})$ هاست که در آن $l \in \{1, \dots, N\}$

$$\begin{aligned} H^{(1)} \varphi_l(r) + \frac{1}{2} \sum_{\mu} \int \varphi_l(\vec{r}) V(\vec{r} - \vec{r}_2) \varphi_{\mu}^*(\vec{r}_2) \varphi_{\mu}(\vec{r}_2) d\vec{r}_2 + \frac{1}{2} \sum_{\lambda} \int |\varphi_{\lambda}^*(\vec{r}_1)|^2 V(\vec{r}_1 - \vec{r}) \varphi_l(\vec{r}) d\vec{r}_1 - \\ \frac{1}{2} \sum_{\mu} \int \varphi_{\mu}(\vec{r}) V(\vec{r} - \vec{r}_2) \varphi_{\mu}^*(\vec{r}_2) \varphi_l(\vec{r}) d\vec{r}_2 - \frac{1}{2} \sum_{\mu} \int \varphi_{\lambda}^*(\vec{r}_1) \varphi_l(\vec{r}) V(\vec{r}_1 - \vec{r}) \varphi_{\lambda}(\vec{r}_1) d\vec{r}_1 \\ - g_l \varphi_l(r) = 0 \end{aligned}$$

جملات ۲ با ۳ و ۴ با ۵ با هم مساویند. پس رابطه بالا به این صورت می شود.
(۱۸-۲)

$$H^{(1)} \varphi_l(\vec{r}) + \sum_{\lambda} \int \varphi(\vec{r}) V(\vec{r} - \vec{r}') |\varphi_{\lambda}(\vec{r}')|^2 d\vec{r}' - \sum_{\lambda} \int \varphi_{\lambda}(\vec{r}) V(\vec{r} - \vec{r}') \varphi_{\lambda}^*(\vec{r}') \varphi_l(\vec{r}') d\vec{r}' = g_l \varphi_l(\vec{r})$$

این معادله، معادله اصلی هارتی - فوک است. $H^{(1)} = h$ هامیلتونی مختل نشده است، جمله دوم مربوط به پتانسیل کولنی و جمله سوم مربوط به پتانسیل تبادلی است. اپراتور هامیلتونی هارتی - فوک را به صورت زیر تعریف می کنیم.

$$H_{H.F} = \frac{\vec{p}^2}{2m} + V_{coul}(\vec{r}) + V_{exchange}$$

در نتیجه معادله ویژه مقداری هارتی - فوک به صورت زیر می شود.

$$H_{H.F} \varphi_l(\vec{r}) = g_l \varphi_l(\vec{r}) \quad (19-2)$$

g_l از جنس انرژی است و انرژی تراز l می باشد. این اپراتور مساله بس ذره ای را به مساله تک ذره ای تبدیل می کند. چنانچه این اپراتور به l وابسته نباشد که در اینجا نیز این گونه است، معادله ویژه مقداری بالا را یک بار حل می کنیم، اما اگر به l وابسته باشد، باید آنرا به ازای تمام l ها یعنی l بار حل کنیم. از طرفی مقدار l از ۱ تا بینهایت تغییر می کند. ولی چون l ها یعنی همان حالت‌های انرژی در حالت‌های دور از حالت پایه دیگر اثر چندانی ندارند، آنها را در نظر نمی گیریم و تنها ترازهایی را انتخاب می کنیم که به ازای آنها $(\vec{r})_l$ ها طوری باشند که انرژی را مینیمم کنند. پس تنها N تا l را انتخاب می کنیم. ابتدا باید انرژی کل مربوط به مجموع ترازها را پیدا کنیم.

$$E_g = \sum_l \langle \varphi_l | H_{H.F} | \varphi_l \rangle = \sum_l g_l \quad (20-2)$$

با استفاده از معادله هارتی - فوک (۱۸-۲)، g_l به صورت زیر به دست می آید.

$$\langle \varphi_l | h | \varphi_l \rangle + \sum_{\lambda} (u_{\lambda\lambda, ll} - u_{\lambda l, l\lambda}) = g_l \quad (21-2)$$

$$E_g = E^0 + E^{(1)} = \sum_l \langle \varphi_l | h | \varphi_l \rangle + \frac{1}{2} \sum_l \sum_{\lambda \neq l} (u_{\lambda\lambda, ll} - u_{\lambda l, l\lambda}) \quad (22-2)$$

با استفاده از معادله هارتی - فوک، رابطه (۲۰-۲) به شکل زیر در می‌آید.

$$\sum_l \langle \varphi_l | h | \varphi_l \rangle + \sum_l \sum_{\lambda \neq l} (u_{\lambda\lambda, ll} - u_{\lambda l, l\lambda}) = \sum_l g_l \quad (23-2)$$

از ترکیب رابطه (۲۲-۲) با رابطه بالا انرژی کل به صورت زیر به دست می آید.

$$E_g = \sum_l g_l - \frac{1}{2} \sum_l \sum_{\lambda \neq l} (u_{\lambda\lambda, ll} - u_{\lambda l, l\lambda}) \quad (24-2)$$

انرژی زمانی مینیمم می شود که ترازها از پایین به بالا پر شوند. بهتر است φ_{λ} ها را بر حسب توابع پایه ای که ویژه تابع هامیلتونی سیستم تک ذره ای هستند، بسط دهیم و به جای پیدا کردن φ_{λ} ها، ضرایب بسط را پیدا کنیم.

$$|\varphi_{\lambda}\rangle = \sum_{i=1}^p c_i^{\lambda} |b_i\rangle \quad (25-2)$$

$|b_i\rangle$ ها پایه های سیستم تک ذره ای هستند. تعداد این پایه ها از φ_{λ} ها بیشتر است.

$$if \quad \lambda = 1, \dots, N \quad p > N$$

طبق معادله هارتی - فوک (۱۸-۲)، همه φ_λ ها را بر حسب پایه هایشان بسط می دهیم و در $|b_i\rangle$ ضرب

می کنیم.

(۲۶-۲)

$$\begin{aligned} & \sum_{j=1}^p c_j^l \langle b_i | h | b_j \rangle + \sum_{\lambda, j_1, j_2, j} c_{j_1}^\lambda c_{j_2}^{*\lambda} c_j^l \int \langle b_i | b_j \rangle \langle b_{j_2} | b_{j_1} \rangle V(\vec{r} - \vec{r}') d\vec{r}' - \\ & \sum_{\lambda, j_1, j_2, j} c_{j_1}^\lambda c_{j_2}^{*\lambda} c_j^l \int \langle b_i | b_{j_1} \rangle \langle b_{j_2} | b_j \rangle V(\vec{r} - \vec{r}') d\vec{r}' = g_l \sum_j c_j^l \langle b_i | b_j \rangle \\ & \rightarrow \sum_{j=1}^p c_j^l \langle b_i | h | b_j \rangle + \sum_{\lambda, j_1, j_2, j} c_{j_1}^\lambda c_{j_2}^{*\lambda} c_j^l (u_{ij, j_1 j_2} - u_{ij_1, j_2 j}) = g_l \sum_j c_j^l \langle b_i | b_j \rangle \end{aligned}$$

۴-۲) قضیه کوپمن

فرایند یونیزاسیون ایده‌الی را در نظر بگیرید که در آن یک الکترون از تراز m ام برداشته می‌شود و به بینهایت می‌رود که انرژی در آنجا صفر است. فرض می‌کنیم که در ترازهای دیگر هیچ تغییری رخ نمی‌دهد. اختلاف انرژی کل سیستم در حالت جدید با حالتی که الکترون بیرون نرفته است طبق رابطه (۲۲-۲) به صورت زیر است.

$$\begin{aligned} E_0^{H,F}(N) - E_0^{H,F}(N-1) &= \sum_{\lambda=1}^N \langle \varphi_\lambda | h | \varphi_\lambda \rangle + \frac{1}{2} \sum_{\mu} \sum_{\lambda \neq \mu} (u_{\lambda\lambda, \mu\mu} - u_{\lambda\mu, \mu\lambda}) - \\ &\sum_{\lambda=1}^{N-1} \langle \varphi_\lambda | h | \varphi_\lambda \rangle - \frac{1}{2} \sum_{\mu} \sum_{\lambda \neq \mu \neq m} (u_{\lambda\lambda, \mu\mu} - u_{\lambda\mu, \mu\lambda}) \\ &\rightarrow \langle \varphi_1 | h | \varphi_1 \rangle + \dots + \langle \varphi_m | h | \varphi_m \rangle + \dots + \langle \varphi_N | h | \varphi_N \rangle - \langle \varphi_1 | h | \varphi_1 \rangle - \dots - \langle \varphi_{m-1} | h | \varphi_{m-1} \rangle - \\ &\langle \varphi_{m+1} | h | \varphi_{m+1} \rangle - \dots - \langle \varphi_N | h | \varphi_N \rangle + \frac{1}{2} \sum_{\mu} (u_{mm, \mu\mu} - u_{m\mu, \mu m}) + \frac{1}{2} \sum_{\lambda} (u_{\lambda\lambda, mm} - u_{\lambda m, m\lambda}) \end{aligned}$$

$$\Rightarrow E_0^{H.F}(N) - E_0^{H.F}(N-1) = \langle \varphi_m | h | \varphi_m \rangle + \sum_{\lambda} (u_{\lambda\lambda,mm} - u_{\lambda m,m\lambda}) = g_m \quad (27-2)$$

که مساوی با انرژی تراز m است که الکترون از آن جدا شده است. این نتیجه به قضیه کوپمن معروف است.

۲-۱) حالت‌های برانگیخته

اکنون حالتی را در نظر می‌گیریم که یک الکترون در حالت پایه از تراز m ، برانگیخته شده و به تراز μ ام که قبلاً اشغال نشده و نسبت به تراز m دارای انرژی بالاتری است، گذار انجام دهد. انرژی گذار با استفاده از رابطه (27-2) به شکل زیر به دست می‌آید.

$$\Delta E = \text{انرژی حالت پایه} - \text{انرژی حالت برانگیخته} \quad (28-2)$$

$$\Delta E = \langle \varphi_{\mu} | h | \varphi_{\mu} \rangle - \langle \varphi_m | h | \varphi_m \rangle + \sum_{\lambda=1}^{N+1} (u_{\lambda\lambda,\mu\mu} - u_{\lambda\mu,\mu\lambda}) - \sum_{\lambda'=1}^N (u_{\lambda'\lambda',mm} - u_{\lambda'm,m\lambda'}) - (u_{mm,\mu\mu} - u_{m\mu,\mu m})$$

جملات اول و دوم انرژی مختل نشده را برای ترازهای m و μ مشخص می‌کند. جمله سوم برهمنکش الکترون در تراز μ با همه N تراز دیگر در حالت برانگیخته است. ولی چون در این حالت تراز m خالی است، الکترون موجود در تراز μ با الکترون تراز m برهمنکش ندارد. بنابراین باید جمله آخر را از جمله سوم کم کنیم. جمله چهارم نیز برهمنکش الکترون تراز m ام با N تراز دیگر در حالت پایه است. می‌توان جملات بالا را بر حسب g_m, g_{μ} نوشت.

$$\Delta E = g_{\mu} - g_m - (u_{mm,\mu\mu} - u_{m\mu,\mu m}) \quad (29-2)$$

۵-۲) تقریبهای هارتی-فوک و استخراج معادلات ویژه مقداری آن

^۱ RHF (1-۵-۲) تقریب هارتی-فوک محدود شده

^۱ Restricted Hartree Fock

در این تقریب، در هر تراز دو الکترون با اسپینهای \downarrow, \uparrow قرار میگیرند و الکترونها با اسپینهای مختلف، هم انرژی هستند. بنابراین تعداد ترازها به اندازه نصف تعداد الکترونهاست. در این تقریب الکترونها از پایین به بالا ترازها را پر می کنند. به این ترتیب که اگر تعداد الکترونها زوج باشد، دو تا دو تابا اسپینهای مختلف ترازها را پر می کنند و اگر تعدادشان فرد باشد، باز هم الکترونها دو تا دو ترازها را پر می کنند و الکترون باقی مانده با احتمال ۵۰٪ با اسپین \uparrow و ۵۰٪ با اسپین \downarrow تراز آخر را پر می کند. در این تقریب، در صورت زوج یا فرد بودن تعداد الکترونها، تعداد حالتها \uparrow, \downarrow مساوی است. در نتیجه $M=0$ مغناطش صفر است و ماده پارا مغناطیس می باشد. می خواهیم معادلات هارتی - فوک را با در نظر گرفتن اسپین باز نویسی کنیم. پتانسیل کولنی رابطه (۱۳-۲) به صورت زیر نوشته می شود.

$$u_{\lambda\lambda,\mu\mu}^{ss,s's'} = \sum_{ss'} \int \frac{|\phi_{\lambda s}(\vec{r})|^2 |\phi_{\mu s'}(\vec{r}')|^2}{|\vec{r} - \vec{r}'|} d\vec{r} d\vec{r}'$$

این پتانسیل باید روی حالتها اسپینی مختلف جمع زده شود.

$$\begin{aligned} & \sum_{ss'} \int \frac{\phi_\lambda(\vec{r}) \phi_\lambda^*(\vec{r}) \phi_\mu(\vec{r}') \phi_\mu^*(\vec{r}')}{|\vec{r} - \vec{r}'|} < s | s' > < s' | s' > d\vec{r} d\vec{r}' = \\ & = \sum_{s=1}^4 \int \frac{|\phi_\lambda(\vec{r})|^2 |\phi_\mu(\vec{r}')|^2}{|\vec{r} - \vec{r}'|} d\vec{r} d\vec{r}' = 4u_{\lambda\lambda,\mu\mu} \end{aligned} \quad (30-2)$$

واضح است که $< s | s' > = 1, < s' | s' > = 1$ و همه اسپینهای \uparrow, \downarrow را شامل می شود. رابطه بالا بر این دلالت دارد که، همه الکترونها با اسپینهای \downarrow, \uparrow با هم برهمکنش دارند. پتانسیل تبدیلی رابطه (۱۴-۲) نیز به شکل زیر نوشته می شود.

$$\begin{aligned} u_{\lambda\mu,\mu\lambda}^{ss'} & = \sum_{ss'} \int \frac{\phi_{\lambda s}^*(\vec{r}) \phi_{\mu s'}(\vec{r}) \phi_{\lambda s}(\vec{r}') \phi_{\mu s'}^*(\vec{r}')}{|\vec{r} - \vec{r}'|} d\vec{r} d\vec{r}' = \\ & \sum_{ss'} \int \frac{\phi_\lambda^*(\vec{r}) \phi_\mu(\vec{r}) \phi_\lambda(\vec{r}') \phi_\mu^*(\vec{r}')}{|\vec{r} - \vec{r}'|} < s' | s > < s' | s > d\vec{r} d\vec{r}' = 2u_{\lambda\mu,\mu\lambda} \end{aligned} \quad (31-2)$$

با این فرض که $\delta_{ss'} = < s' | s >$ است و رابطه بالا هنگامی غیر صفر می شود که $s = s'$ شود. به این معنا که اسپینها باید یا هر دو \uparrow باشند یا هر دو \downarrow یعنی الکترونها با اسپین \uparrow با هم و الکترونها

با اسپین \downarrow هم با هم برهمنکش دارند. در نتیجه دو حالت داریم. مشاهده می کنیم که تعداد جملات پتانسیل کولنی دو برابر تبادلی است. انرژی کل سیستم در تقریب RHF طبق رابطه (۲۲-۲) معادل زیر است.

$$E^{RHF} = \sum_{s=1}^2 \sum_{\lambda} \langle \varphi_{\lambda s} | h | \varphi_{\lambda s} \rangle + \frac{1}{2} \sum_{\lambda, \mu=1}^{\frac{N}{2}} (4u_{\lambda\lambda, \mu\mu} - 2u_{\lambda\mu, \mu\lambda})$$

$$E^{RHF} = 2 \sum_{\lambda=1}^{\frac{N}{2}} h_{\lambda} + \frac{1}{2} \sum_{\lambda, \mu=1}^{\frac{N}{2}} (4u_{\lambda\lambda, \mu\mu} - 2u_{\lambda\mu, \mu\lambda}) \quad (32-2)$$

جمله اول مجموع انرژیهای مختل نشده است و λ معرف تعداد ترازهاست که در تقریب RHF برابر نصف تعداد الکترونهاست. می خواهیم انرژی کل را بر حسب انرژی هر تراز g_{λ} بنویسیم. رابطه (۲۱-۲) در این تقریب به شکل زیر است.

$$g_{\lambda, s} = \langle \varphi_{\lambda} | h | \varphi_{\lambda} \rangle + \sum_{\mu=1}^{\frac{N}{2}} (2u_{\lambda\lambda, \mu\mu} - u_{\lambda\mu, \mu\lambda}) \quad (33-2)$$

در رابطه (۳۱-۲) به خاطر وجود δ_{ss} در پتانسیل تبادلی فقط اسپینهای یکسان با هم برهمنکش دارند و از آنجایی که در رابطه بالا تنها روی μ ها جمع زده می شود، در جمع روی اسپین فقط به ازای یک اسپین مقدار داریم، یعنی پتانسیل تبادلی یک جمله دارد. برای پتانسیل کولنی نیز به خاطر \sum_{μ} تنها $\sum_{s=1}^2$ داریم. در نتیجه دو جمله، یکی برای اسپین \uparrow و یکی هم برای اسپین \downarrow داریم. رابطه بالا بعد از اینکه روی λ, s جمع زده می شود، به شکل زیر تبدیل می شود.

$$2 \sum_{\lambda=1}^{\frac{N}{2}} g_{\lambda} = 2 \sum_{\lambda=1}^{\frac{N}{2}} h_{\lambda} + 2 \sum_{\lambda, \mu=1}^{\frac{N}{2}} (2u_{\lambda\lambda, \mu\mu} - u_{\lambda\mu, \mu\lambda})$$

$$E^{RHF} = 2 \sum_{\lambda=1}^{\frac{N}{2}} g_\lambda - \sum_{\lambda,\mu=1}^{\frac{N}{2}} (2u_{\lambda\lambda,\mu\mu} - u_{\lambda\mu,\mu\lambda}) \quad (34-2)$$

در معادله بالا λ, μ اریتالهای مولکولی هستند. اگر بخواهیم پایه های اتمی اختیار کنیم، باید انرژی کل را بر حسب پایه های اتمی بنویسیم. با استفاده از رابطه (33-2)، انرژی کل را به شکل زیر می نویسیم.

$$E^{RHF} = \sum_{\lambda=1}^{\frac{N}{2}} g_\lambda + \sum_{\lambda=1}^{\frac{N}{2}} h_\lambda$$

$$h_\lambda = \langle \varphi_\lambda | h | \varphi_\lambda \rangle = \sum_{i=1}^p \sum_{j=1}^p c_i^\lambda c_j^{\lambda*} \langle b_i | h | b_j \rangle$$

$$E^{RHF} = \sum_{\lambda=1}^{\frac{N}{2}} g_\lambda + \frac{1}{2} \sum_{i,j=1}^p \rho_{ij} h_{ij} \quad (35-2)$$

معادله ویژه مقداری تقریب RHF نیز با استفاده از معادله (26-2) به دست می آید.

$$\sum_{j=1}^p [h_{ij} + \sum_{j_1,j_2=1}^p (2u_{ij,j_1j_2} - u_{ij_1,j_2j}) \sum_\lambda c_{j_1}^\lambda c_{j_2}^{\lambda*} - g_i s_{ij}] c_j^I = 0 \quad (36-2)$$

اگر بخواهیم انرژی کل سیستم در تقریب RHF را بر حسب ماتریس چگالی بنویسیم، به صورت زیر عمل می کنیم. می دانیم ρ_{ii} احتمال حضور الکترونها روی اتم i است.

$$\rho_{ii} = 2 \sum_{\lambda=1}^{\frac{N}{2}} |c_i^\lambda|^2$$

ضریب ۲ به خاطر در نظر گرفتن اسپین است. با در نظر گرفتن رابطه (32-2) داریم.

$$E^{RHF} = 2 \sum_\lambda \langle \varphi_\lambda | h | \varphi_\lambda \rangle + \frac{1}{2} \sum_{\lambda,\mu} [4\varphi_\lambda^*(\vec{r})\varphi_\lambda(\vec{r})\varphi_\mu^*(\vec{r}')\varphi_\mu(\vec{r}')V(\vec{r}-\vec{r}') - 2\varphi_\lambda^*(\vec{r})\varphi_\mu(\vec{r})\varphi_\mu^*(\vec{r}')\varphi_\lambda(\vec{r}')V(\vec{r}-\vec{r}')] \quad (37-2)$$

$$\begin{aligned}
E^{RHF} = & 2 \sum_{\lambda} \sum_{ij} c_i^{*\lambda} c_j^{\lambda} \langle b_i | h | b_j \rangle + \sum_{\lambda, \mu} \sum_{ijkl} [2(\frac{2}{2} c_i^{*\lambda} c_j^{\lambda} \times \frac{2}{2} c_k^{*\mu} c_l^{\mu} \langle b_i | b_j \rangle \langle b_k | b_l \rangle V(\vec{r} - \vec{r}')) \\
& - \frac{2}{2} c_i^{*\lambda} c_l^{\mu} \times \frac{2}{2} c_k^{*\mu} c_j^{\lambda} \langle b_i | b_l \rangle \langle b_k | b_j \rangle V(\vec{r} - \vec{r}')] \\
E^{RHF} = & \sum_{ij} \rho_{ij} h_{ij} + \frac{1}{2} \sum_{ijkl} \rho_{ij} \rho_{kl} (u_{ij,kl} - \frac{1}{2} u_{il,kj}) \tag{37-2}
\end{aligned}$$

۲-۵-۲) تقریب هارتی - فوک محدود نشده^۱ UHF

در این تقریب حالت‌های اسپینی \uparrow, \downarrow هم تراز نیستند. به همین دلیل ممکن است تعداد این اسپینها مساوی نبوده در نتیجه مغناطیش داشته باشیم و ماده فرو مغناطیس باشد. اما اگر تعداد اسپینها مساوی بود، مغناطیش کل صفر است. برای بدست آوردن انرژی کل سیستم در تقریب UHF ، ابتدا باید معادله هارتی - فوک را با در نظر گرفتن اسپین بنویسیم.

$$\begin{aligned}
h\varphi_{\lambda\sigma}(\vec{r}) + \sum_{\mu\sigma'} \int \frac{\varphi_{\lambda\sigma}(\vec{r}) |\varphi_{\mu\sigma'}(\vec{r}')|^2}{|\vec{r} - \vec{r}'|} d\vec{r}' - \sum_{\mu\sigma'} \delta_{ss'} \int \frac{\varphi_{\mu\sigma'}(\vec{r}) \varphi_{\mu\sigma'}^*(\vec{r}')}{|\vec{r} - \vec{r}'|} \varphi_{\lambda\sigma}(\vec{r}') d\vec{r}' \tag{38-2} \\
= g_{\lambda\sigma} \varphi_{\lambda\sigma}(r)
\end{aligned}$$

$\delta'_{ss'}$ در پتانسیل تبادلی به خاطر وجود λ, μ است که هر کدام یک نوع اسپین دارند. تنها در صورتیکه $s' = s$ باشد این جمله غیر صفر است. درنتیجه هامیلتونی تنها به یک نوع اسپین بستگی دارد و رابطه ای بین اسپین \uparrow, \downarrow وجود ندارد. به این معنی که در ماتریس چگالی، اسپینها یا \uparrow, \downarrow هستند یا \uparrow, \downarrow و مولفه های $\uparrow, \downarrow, \uparrow, \downarrow$ صفر هستند.

$$\rho = \begin{pmatrix} \rho_{\uparrow\uparrow} & 0 \\ 0 & \rho_{\downarrow\downarrow} \end{pmatrix}$$

^۱ Unrestricted Hartree Fock

می خواهیم انرژی کل سیستم را با استفاده از تقریب UHF بدست آوریم. باید از معادله (۳۸-۲) استفاده

کرده و طرفین آنرا در $\varphi_{\lambda\sigma}^*(\vec{r})$ ضرب کنیم و روی انتگرال بگیریم.

$$\begin{aligned} & \int \varphi_{\lambda\sigma}^*(\vec{r}) h \varphi_{\lambda\sigma}(\vec{r}) d\vec{r} + \sum_{\mu\sigma'} \int \int \frac{|\varphi_{\mu\sigma'}(\vec{r}')|^2}{|\vec{r} - \vec{r}'|} \varphi_{\lambda\sigma'}^*(\vec{r}) \varphi_{\lambda\sigma}(\vec{r}) d\vec{r} d\vec{r}' \\ & - \sum_{\mu\sigma'} \delta_{\sigma\sigma'} \int \int \frac{\varphi_{\mu\sigma'}^*(\vec{r}') \varphi_{\lambda\sigma'}(\vec{r}')}{|\vec{r} - \vec{r}'|} d\vec{r}' \varphi_{\lambda\sigma'}^*(\vec{r}) \varphi_{\mu\sigma'}(\vec{r}) d\vec{r} = \\ & g_{\lambda\sigma} \int \varphi_{\lambda\sigma}^*(\vec{r}) \varphi_{\lambda\sigma}(\vec{r}) d\vec{r} \end{aligned} \quad (39-2)$$

$\varphi_{\lambda\sigma}(\vec{r})$ متشکل از دو قسمت فضایی و اسپینی است. چون انتگرال وابسته به اسپین نیست، قسمت اسپینی بیرون می‌آید.

$$\begin{aligned} & \int \varphi_{\lambda\sigma}^*(\vec{r}) \varphi_{\lambda\sigma}(\vec{r}) d\vec{r} = \langle \varphi_{\lambda\sigma}(\vec{r}) | \varphi_{\lambda\sigma}(\vec{r}) \rangle = \langle \chi(\sigma'') | \chi(\sigma) \rangle \langle \varphi_{\lambda}(\vec{r}) | \varphi_{\lambda}(\vec{r}) \rangle \\ & \delta_{\sigma\sigma'} h_{\lambda} + \sum_{\mu\sigma'} \delta_{\sigma\sigma'} \int \int \frac{|\varphi_{\mu\sigma'}(\vec{r}')|^2}{|\vec{r} - \vec{r}'|} d\vec{r}' |\varphi_{\lambda}(\vec{r})|^2 d\vec{r} - \\ & \sum_{\mu\sigma'} \delta_{\sigma\sigma'} \delta_{\sigma'\sigma'} \int \frac{\varphi_{\mu\sigma'}^*(\vec{r}) \varphi_{\lambda\sigma'}(\vec{r})}{|\vec{r} - \vec{r}'|} \varphi_{\mu}(\vec{r}) \varphi_{\lambda}^*(\vec{r}) d\vec{r} = g_{\lambda\sigma} \delta_{\sigma\sigma'} \end{aligned} \quad (40-2)$$

می بینیم که هامیلتونی هارتی - فوک بخاطر وجود $\delta_{\sigma\sigma''}$ باید روی پایه‌های اسپینی قطری باشد یعنی باید $\sigma = \sigma''$ باشد و عناصر غیرقطري صفراند. اگر در رابطه (۳۹-۲) قرار دهیم، با در نظر گرفتن رابطه $\varphi_{\lambda\sigma}(\vec{r}) = \sum_i c_i^{\lambda\sigma} |b_i\rangle$ خواهیم داشت.

$$\begin{aligned} & \sum_{ij} c_i^{*\lambda\sigma} c_j^{\lambda\sigma} h_{ij} + \sum_{ijkl} \sum_{\sigma'} \sum_{\mu} c_i^{\lambda\sigma*} c_j^{\lambda\sigma} c_k^{*\mu\sigma'} c_l^{\mu\sigma'} u_{ij,kl} \\ & - \sum_{\sigma'} \delta_{\sigma\sigma'} \sum_{\mu} \sum_{ijkl} c_i^{*\lambda\sigma} c_k^{*\mu\sigma'} c_l^{\mu\sigma'} c_j^{\lambda\sigma} u_{il,kj} = g_{\lambda\sigma} \sum_{ij} c_i^{*\lambda\sigma} c_j^{\lambda\sigma} \delta_{ij} = g_{\lambda\sigma} \sum_i |c_i^{\lambda\sigma}|^2 \end{aligned} \quad (41-2)$$

با فرض اینکه روابط زیر برقرارند.

$$\rho_{ij}^\sigma = \sum_\lambda c_i^{*\lambda\sigma} c_j^{\lambda\sigma} \quad , \quad \rho_{ij} = \sum_{\mu\sigma} C_i^{*\mu\sigma} C_j^{\mu\sigma}$$

$$\rho_{ij} = \sum_\sigma \rho_{ij}^\sigma = \rho_{ij}^\uparrow + \rho_{ij}^\downarrow$$

طرفین رابطه (۴۱-۲) را روی λ و σ جمع می‌زنیم.

$$\sum_{ij} \rho_{ij} h_{ij} + \sum_{ijkl} \rho_{ij} \rho_{kl} u_{ij,kl} - \sum_{ij} (\rho_{ij}^\uparrow \rho_{kl}^\uparrow + \rho_{ij}^\downarrow \rho_{kl}^\downarrow) u_{il,kj} = \sum_{\lambda,\sigma} g_{\lambda\sigma} \quad (43-2)$$

فرض می‌کنیم که $\varphi_{\lambda\sigma}^*$ بر هم عمودند.

$$\int |\varphi_{\lambda\sigma}(\vec{r})|^2 d\vec{r} = 1$$

از طرفی بدست می‌آوریم.

$$\rho_{kl} \rho_{ij} = (\rho_{kl}^\uparrow + \rho_{kl}^\downarrow)(\rho_{ij}^\uparrow + \rho_{ij}^\downarrow) = \sum_\sigma \rho_{ij}^\sigma \rho_{kl}^\sigma + \sum_\sigma \rho_{ij}^\sigma \rho_{kl}^\sigma \quad (44-2)$$

با استفاده از رابطه (۲۴-۲) انرژی کل به صورت زیر می‌شود.

$$E^{U,H,F} = \sum_{\lambda,\sigma} g_{\lambda\sigma} - \frac{1}{2} \sum_{ijkl} \left[\rho_{ij} \rho_{kl} u_{ij,kl} - \sum_\sigma \rho_{ij}^\sigma \rho_{kl}^\sigma u_{il,jk} \right]$$

با توجه به رابطه (۲۱-۲)، معادله بالا به رابطه زیر تبدیل می‌شود.

$$\Rightarrow E^{U,H,F} = \sum_{ij} \rho_{ij} h_{ij} + \sum_{ijkl} [\rho_{ij} \rho_{kl} u_{ij,kl} - \sum_\sigma \rho_{ij}^\sigma \rho_{kl}^\sigma u_{il,jk}] -$$

$$\frac{1}{2} \sum_{ijkl} \left[\rho_{ij} \rho_{kl} u_{ij,kl} - \sum_\sigma \rho_{ij}^\sigma \rho_{kl}^\sigma u_{il,jk} \right]$$

$$\Rightarrow E^{U,H,F} = \sum_{ij} \rho_{ij} h_{ij} + \frac{1}{2} \sum_{ijkl} [\rho_{ij} \rho_{kl} u_{ij,kl} - \sum_\sigma \rho_{ij}^\sigma \rho_{kl}^\sigma u_{il,jk}] \quad (45-2)$$

برای ماتریسهای مغناطش $M_{ij} M_{kl}$ نیز روابط زیر برقرار است.

$$M_{ij} M_{kl} = (\rho_{ij}^\uparrow - \rho_{ij}^\downarrow)(\rho_{kl}^\uparrow - \rho_{kl}^\downarrow) = \sum_\sigma \rho_{ij}^\sigma \rho_{kl}^\sigma - \sum_\sigma \rho_{ij}^\sigma \rho_{kl}^\sigma$$

$$\Rightarrow \begin{cases} M_{ij} M_{kl} = \sum_\sigma \rho_{ij}^\sigma \rho_{kl}^\sigma - \sum_\sigma \rho_{ij}^\sigma \rho_{kl}^\sigma \\ \rho_{ij} \rho_{kl} = \sum_\sigma \rho_{ij}^\sigma \rho_{kl}^\sigma + \sum_\sigma \rho_{ij}^\sigma \rho_{kl}^\sigma \end{cases}$$

$$\Rightarrow \frac{1}{2}(M_{ij}M_{kl} + \rho_{ij}\rho_{kl}) = \sum_{\sigma} \rho_{ij}^{\sigma} \rho_{kl}^{\sigma} \quad (46-2)$$

با استفاده از رابطه (46-2) در رابطه (45-2)، خواهیم داشت.

$$E^{U,H,F} = \sum_{ij} \rho_{ij} h_{ij} + \frac{1}{2} \sum_{ijkl} \rho_{ij} \rho_{kl} u_{ij,kl} - \frac{1}{4} \sum_{ij,kl} M_{ij} M_{kl} u_{il,kj} - \frac{1}{4} \sum_{ij,kl} \rho_{ij} \rho_{kl} u_{il,kj}$$

و در نهایت انرژی کل حالت پایه سیستم به دست می آید.

$$E^{U,H,F} = \sum_{ij} \rho_{ij} h_{ij} + \frac{1}{2} \sum_{ijkl} \left[\rho_{ij} \rho_{kl} (u_{ij,kl} - \frac{1}{2} u_{il,jk}) - \frac{1}{4} M_{ij} M_{kl} u_{il,kj} \right] \quad (47-2)$$

حال می خواهیم معادله ویژه مقداری تقریب UHF را به دست آوریم. با در نظر گرفتن اینکه

$$\langle b_j | \psi_{\lambda\sigma}(\vec{r}) = \varphi_{\lambda\sigma}(\vec{r}) \chi_{\lambda}(\sigma) = \sum_i c_i^{\lambda\sigma} | b_i \rangle \chi_{\lambda}(\sigma)$$

$$\sum_i c_i^{\lambda\sigma} \langle b_j | h | b_i \rangle + \sum_{\mu\sigma'} \int \sum_{j_1 j_2, i} c_i^{\lambda\sigma} c_{j_1}^{\mu\sigma'} c_{j_2}^{*\mu\sigma'} < b_{j_2} | b_{j_1} > \langle b_j | V(\vec{r} - \vec{r}') | b_i \rangle d\vec{r}' -$$

$$\sum_{\mu\sigma'} \delta_{ss'} \sum_{j_1 j_2, i} \int c_{j_1}^{\mu\sigma'} c_{j_2}^{*\mu\sigma'} c_i^{\lambda\sigma} < b_{j_2} | b_i > \frac{< b_j | b_{j_1} >}{|\vec{r} - \vec{r}'|} d\vec{r}' - \sum_i c_i^{\lambda\sigma} g_{\lambda\sigma} < b_j | b_i > = 0$$

$$\sum_i c_i^{\lambda\sigma} \left\{ h_{ij} + \sum_{j_1 j_2} \left(\sum_{\mu\sigma'} u_{j_1 j_2, ij} c_{j_1}^{\mu\sigma'} c_{j_2}^{*\mu\sigma'} - \sum_{\mu} c_{j_1}^{\mu\sigma} c_{j_2}^{*\mu\sigma} u_{ij_2, jj_1} \right) - g_{\lambda\sigma} M_{ij} \right\} = 0$$

با استفاده از رابطه (42-2) رابطه بالا به صورت زیر نوشته می شود.

$$\Rightarrow \sum_i c_i^{\lambda\sigma} \left\{ h_{ij} + \sum_{j_1 j_2} (\rho_{j_1 j_2} u_{j_1 j_2, ij} - \rho_{j_1 j_2}^{\sigma} u_{ij_2, jj_1}) - g_{\lambda\sigma} M_{ij} \right\} = 0$$

$$M_{ij} = \rho_{ij}^{\sigma} + \rho_{ij}^{\bar{\sigma}} \quad \text{و با توجه به اینکه ماتریس چگالی و}$$

ماتریس مغناطش است، معادله ویژه مقداری تقریب UHF به صورت زیر به دست می آید.

$$\sum_i c_i^{\lambda\sigma} \left\{ h_{ij} + \sum_{j_1 j_2} \left(\rho_{j_1 j_2} u_{j_1 j_2, ij} - \frac{1}{2} (\rho_{j_1 j_2} + M_{ij}) u_{ij_2, jj_1} \right) - g_{\lambda\sigma} S_{ij} \right\} = 0$$

$$\sum_{i=1}^P c_i^{\lambda\sigma} \left\{ h_{ij} + \sum_{j_1, j_2=1}^P \rho_{j_1, j_2} \left(u_{j_1, j_2, ij} - \frac{u_{ij_2, jj_1}}{2} \right) - \frac{1}{2} M_{ij} u_{ij_2, jj_1} - g_{\lambda\sigma} S_{ij} \right\} = 0 \quad (\text{Eq-2})$$

رابطه بالا معادله ویژه مقداری تقریب UHF است که در آن p تعداد پایه های سیستم مورد نظر است.

فصل سوم

کاربرد تقریب هارتی - فوک در محاسبات مدلی

در این فصل با بررسی چند مدل ساده با استفاده از تقریب هارتی - فوک به جنبه های کاربردی این تقریب در گاز الکترون آزاد و مولکولها می پردازیم. در ابتدا نشان می دهیم که این تقریب در مورد گاز الکترون آزاد جوابهای نادرستی را در روی سطح فرمی می دهد. از آنجایی که گاز الکترون آزاد اساساً اکثر مدلهایی است که در مورد فلزات بیان می شود، این تقریب برای فلزات عمدتاً جوابهای خوبی نمی دهد. در مدلهای مربوط به هیدروژن، هدف بیشتر درک بهتر معادلات خودسازگار هارتی - فوک می باشد. اما در کنار آن می توان به بررسی اثرات مختلف برهم کنش کولنی در تقابل با جمله جهش و انرژی اتمی هر جایگاه پرداخت.

[۱] ۱-۳) مدل گاز الکترون آزاد سه بعدی در تقریب هارتی - فوک

گاز الکترون آزاد که دارای پایه هایی به صورت $\varphi_\lambda(r) = \frac{e^{i\tilde{\lambda} \cdot \vec{r}}}{\sqrt{\Omega}}$ هستند و هامیلتونی ای که فقط شامل

جمله انرژی جنبشی $h = \frac{P^2}{2m}$ می باشد، را در تقریب هارتی - فوک بررسی خواهیم کرد. برای یافتن

انرژی حالت پایه سیستم به صورت زیر عمل می کنیم. با استفاده از رابطه (۲۱-۲) انرژی تراز l ام را به صورت زیر می نویسیم.

$$g_l = \langle \varphi_l(\vec{r}) | h | \varphi_l(\vec{r}) \rangle + \sum_{\lambda} \frac{1}{\Omega^2} \int e^{-i\lambda \cdot \vec{r}'} e^{i\bar{\lambda} \cdot \vec{r}'} e^{il \cdot \vec{r}} e^{-i\bar{l} \cdot \vec{r}} V(\vec{r} - \vec{r}') d\vec{r} d\vec{r}' \\ - \sum_{\lambda} \frac{1}{\Omega^2} \int V(\vec{r} - \vec{r}') e^{-i\lambda \cdot \vec{r}'} e^{il \cdot \vec{r}'} e^{i\bar{\lambda} \cdot \vec{r}} e^{-i\bar{l} \cdot \vec{r}} d\vec{r} d\vec{r}' \quad (1-3)$$

با تغییر مختصات، به مختصات مرکز جرم

$$\begin{cases} \vec{r} - \vec{r}' = \vec{r}_0 \\ \vec{R} = \frac{1}{2}(\vec{r} + \vec{r}') \\ d\vec{r} d\vec{r}' \rightarrow d\vec{r}_0 d\vec{R} \end{cases}$$

و با استفاده از تبدیل فوریه زیر

$$\hat{V}(q) = \frac{1}{\Omega} \int e^{iq \cdot x} v(x) dx \quad (2-3)$$

رابطه (۱-۳) به صورت زیر نوشته می شود.

$$g_l = \mathcal{E}_l^0 + \frac{1}{\Omega^2} \sum_{\lambda} \int V(\vec{r}_0) d\vec{r}_0 \int d\vec{R} - \frac{1}{\Omega^2} \sum_{\lambda} \int e^{i(\lambda-l) \cdot \vec{r}_0} V(\vec{r}_0) d\vec{r}_0 \int d\vec{R} \\ g_l = \mathcal{E}_l^0 + \sum_{\lambda} [\hat{V}(q=0) - \hat{V}(\lambda-l)] \quad (3-3)$$

انتگرال پتانسیل تبادلی به شکل زیر محاسبه می شود.

$$\frac{1}{\Omega} \int V(\vec{r}_0) e^{i(\lambda-l) \cdot \vec{r}_0} d\vec{r}_0 = \frac{1}{\Omega} e^2 \int \frac{e^{i(\lambda-l) \cdot \vec{r}_0}}{|\vec{r}_0|} d\vec{r}_0$$

این انتگرال را باید در مختصات کروی در سه بعد حل کنیم.

$$d\vec{r}_0 = d\nu = r^2 \sin \theta d\theta d\varphi d\vec{r} = -2\pi r^2 d(\cos \theta) dr$$

$$\frac{1}{\Omega} \int V(\vec{r}_0) e^{i(\lambda-l) \cdot \vec{r}_0} d\vec{r}_0 = \frac{1}{\Omega} e^2 \int \frac{e^{i(\lambda-l) \cdot \vec{r}_0}}{|\vec{r}_0|} d\vec{r}_0 = \frac{4\pi e^2}{\Omega(\lambda-l)^2}$$

در نتیجه رابطه (۳-۳) به شکل زیر تبدیل می شود.

$$\epsilon_i = \epsilon_i^0 + N\hat{v}(q=0) - \frac{1}{\Omega} \sum_{\lambda < \lambda_f} \frac{4\pi e^2}{(\lambda - l)^2} \quad (4-3)$$

جمله دوم معرف خود انرژی مربوط به یک توزیع الکترونی یکنواخت است که زمینه مثبت را خنثی می‌کند و بیانگر برهمکنش هر الکترون با خودش است که اشاره کردیم که در تقریب H.F الکترون نمی‌تواند با خودش برهمکنش داشته باشد. بنابراین از این جمله صرفنظر می‌کنیم. برای تبدیل \sum به انتگرال برای تابعی از k رابطه زیر را داریم.

$$\lim_{V \rightarrow \infty} \frac{1}{V} \sum_k f(k) = \int \frac{d^3 k F(k)}{(2\pi)^3}$$

$$\sum_{\lambda < \lambda_f} \frac{1}{(\lambda - l)^2} = \frac{\Omega}{(2\pi)^3} \int \frac{d^3 \lambda}{(\lambda - l)^2}$$

$$\epsilon_i = \frac{P^2}{2m} - \frac{4\pi e^2}{\Omega} \frac{\Omega}{(2\pi)^3} \int_{\lambda < \lambda_f} \frac{d^3 \lambda}{(\lambda - l)^2}$$

بعد از حل انتگرال، رابطه بالا به شکل زیر نوشته می‌شود.

$$\epsilon_i = 2 \sum_{\lambda < \lambda_f} \frac{\hbar^2 \lambda^2}{2m} - \frac{e^2 \lambda_f}{\pi} \left[1 + \frac{\lambda_f^2 - l^2}{2l\lambda_f} \text{Ln} \left[\frac{\lambda_f + l}{\lambda_f - l} \right] \right] \quad (5-3)$$

جمله اول انرژی جنبشی هر الکترون در تراز l است که معادل مجموع انرژی جنبشی الکترونها در همه ترازها تا تراز فرمی می‌باشد و عدد ۲ به دلیل این است که الکترون با دو اسپین \uparrow, \downarrow هر تراز را اشغال می‌کند. جمله بعد نیز انرژی ناشی از برهمکنش تبادلی الکترونها با هم تا تراز فرمی است. چگالی حالات انرژی الکترونها نیز از رابطه زیر تعیین می‌شود.

$$\text{DOS}(E) = \frac{\Omega}{(2\pi)^3} \int \frac{ds_\epsilon}{|\vec{\nabla}_\epsilon E|} \quad (6-3)$$

که در آن ds_ϵ المان سطح انرژی ثابت است و $\vec{\nabla}_\epsilon E$ مشتق انرژی نسبت به l است.

$$\vec{\nabla}_\epsilon E = \frac{\partial E_l}{\partial l} \Big|_{l=\lambda_f} = \infty \quad (7-3)$$

پس $\infty \rightarrow \vec{\nabla}_\epsilon E$ در نتیجه $\text{DOS}(\epsilon) \rightarrow 0$. این بدین معناست که در نزدیکی سطح فرمی $\text{DOS}(\epsilon)$ صفر می‌شود که این خلاف واقعیت است چون در گاز الکترون آزاد سه پس بعدی $DOS(\epsilon) \propto \sqrt{\epsilon}$ است. یعنی

در نزدیکی سطح فرمی یک گاف انرژی داریم که این در مورد رساناها صدق نمی‌کند. پس مدل هارتی-فوک در این مورد با واقعیت تطابق ندارد. از این رو تقریب هارتی-فوک در مورد فلزات مشکل دارد و در مورد نیمه رساناها و عایقها، گاف انرژی را بیشتر از حد واقعی پیش بینی می‌کند. این تقریب تنها برای اتمها و مولکولهای ساده به خوبی جواب می‌دهد. این تکنیکی در $\lambda = \lambda$ بسط زامرفلد را نامعتبر می‌کند، چون از بسط زامرفلد نتیجه می‌شود که باید $C_V = \infty$ باشد، در صورتیکه در اینجا

$$C_V \propto \frac{T}{\ln T} \quad \text{می‌شود. از آنجایی که تبدیل فوریه } \lambda = 0 \text{ واگرایی داریم. اما اگر}$$

$$\frac{4\pi e^2}{\lambda^2 + \lambda_0^2} e^2 \frac{e^{-\lambda_0 \cdot \vec{r}}}{|\vec{r}|} \text{ داشته باشیم} \quad \text{می‌شود و دیگر در}$$

$\lambda = 0$ واگرایی و بینهایت نمی‌شود. این پتانسیل نشان دهنده پدیده استتار است. یعنی اگر یک پتانسیل خارجی (مثلاً یک الکترون یا یک بار مثبت) وارد گاز الکترونی کنیم، تعدادی از الکترونها، اطراف آنرا می‌گیرند و الکترونها دیگری که خارج از این طول استتار هستند، به جای اینکه پتانسیل خارجی را به

$$\text{صورت } \frac{1}{|\vec{r}|} \text{ ببینند، به شکل } \frac{e^{-\lambda_0 \cdot \vec{r}}}{|\vec{r}|} \text{ خواهند دید. از آنجا که در تقریب هارتی-فوک اثر استتار را در}$$

نظر نگرفته بودیم، اشکالات مذکور ایجاد شده بود و اگر در پتانسیل کولنی یک λ_0 به مخرج اضافه کنیم، مشکلات حل خواهند شد.

می‌دانیم که انرژی جنبشی بر حسب انرژی فرمی به صورت زیر است [۱].

$$2 \sum_{\lambda < \lambda_f} \frac{\hbar^2 \lambda^2}{2m} = N \frac{3}{5} \mathcal{E}_f$$

در نتیجه رابطه (۵-۳) به شکل زیر تبدیل می‌شود.

$$E = N \left[\frac{3}{5} \mathcal{E}_f - \frac{3}{4} \frac{e^2 \lambda_f}{\pi} \right] \quad (8-3)$$

به طور قراردادی می‌توان این نتیجه را برحسب ثابت ریدبرگ $R_y = 13.6\text{eV}$ و پارامتر $\frac{r_s}{a_0}$ برابر با $\frac{e^2}{2a_0}$ داشت.

بنویسیم که r_s شعاع کره فرضی است که برای هر الکترون آزاد در نظر گرفتیم و a شعاع بوهر، اولین مداری است که الکترون در آن حرکت می‌کند.

$$\frac{E}{N} = \frac{e^2}{2a_0} \left[\frac{3}{5} (\lambda_s a_0)^2 - \frac{3}{2\pi} (\lambda_s a_0) \right] = \left[\frac{2.21}{\left(\frac{r_s}{a_0}\right)^2} - \frac{0.916}{\left(\frac{r_s}{a_0}\right)} \right] R_y \quad (9-3)$$

از آنجایی که $\frac{r_s}{a_0}$ برای فلزات در حدود ۲ تا ۶ است جمله دوم در معادله بالا از نظر بزرگی با جمله اول کاملاً قابل مقایسه است. اگر چه در جمله اول، $\frac{r_s}{a_0}$ در مخرج از توان ۲ است، ولی صورتش بزرگ است.

در جمله دوم که $\frac{r_s}{a_0}$ از توان ۱ است، صورتش نیز کوچکتر است. بنابراین این دو جمله با هم قابل قیاسند.

در نتیجه نمی‌توان از تقریب برهمکنش تبادلی الکترون - الکترون در تخمین انرژی الکترون در گاز الکترون آزاد صرفنظر کرد. نکته جالب این است که اگر چگالی را در گاز الکترونی زیاد کنیم، به جای اینکه برهمکنش تبادلی الکترون - الکترون اهمیت بیشتری داشته باشد، در نظر گرفته نمی‌شود. چون در رابطه قبل اگر جمله دوم را برحمله اول تقسیم کنیم،

$$\frac{0.916}{2.21} \frac{\left(\frac{r_s}{a_0}\right)}{\left(\frac{r_s}{a_0}\right)^2} = \frac{r_s}{a_0} \quad (10-3)$$

و با توجه به رابطه زیر (۱۱-۳)، r_s با چگالی n رابطه عکس دارد. پس هر چه چگالی زیاد شود، r_s کوچکتر می‌شود. بنابراین تاثیر جمله دوم یعنی پتانسیل بر همکنشی تبادلی قابل صرفنظر کردن است.

$$\frac{1}{n} = \frac{4}{3} \pi r_s^3 \quad (11-3)$$

تقریب بعدی این است که، متوسط تغییر انرژی یک الکترون از $\frac{\hbar^2 \lambda^2}{2m}$ به خاطر جمله پتانسیل تبادلی است و می‌توان E/N انرژی برذره را بصورت زیر نوشت.

$$\frac{E}{N} = \langle \epsilon^{exch} \rangle = -\frac{3}{4} \frac{e^2 \lambda_f}{\pi} = \frac{-0.916}{(\frac{r_s}{a_0}) R_y}$$

این بدین معناست که بطور تقریبی همه الکترونها، به یک الکترون در یک تراز مشخص انرژی میانگینی معادل انرژی بالا را وارد می‌کنند. البته این یک تقریب است. چون واضح است که بخاطر برهمکنش الکترونها نمی‌توان انرژی دقیقی را که هر الکترون به الکترون دیگر وارد می‌کند بدست آورد. این انرژی مانند قضیه میدان متوسط است که اسلیتر را به این سمت هدایت کرد که در سیستم‌های غیریکنواخت، در حالت خاص برای پتانسیل تناوبی شبکه، می‌توان به جای جمله پتانسیل تبادلی در معادله (۱-۲۴) دو برابر انرژی $\langle \epsilon^{exch} \rangle$ ، به خاطر اسپینهای \uparrow, \downarrow ، جایگزین کرد. او معادله‌ای را پیشنهاد کرد که اثر جمله پتانسیل تبادلی، بصورت یک جمله هارتی $\langle u^{el}(\vec{r}) \rangle$ به $\langle \epsilon^{exch} \rangle$ اضافه می‌شد که در آن r_s با استفاده از رابطه (۳-۱۱) بر حسب n چگالی نوشه می‌شود.

$$\langle \epsilon^{exch} \rangle = \frac{-0.916}{(3)^{\frac{1}{3}}} R_y (4\pi)^{\frac{1}{3}} n^{\frac{1}{3}}(\vec{r}) = -2.95 a_0^3 n^{\frac{1}{3}}(\vec{r}) R_y$$

این روش در محاسبات ساختار نواری مفید است. در اینجا اشکالاتی نیز وجود دارد. این تقریب در چگالیهای بالا درست جواب نمی‌دهد.

(۳-۲) مدل مولکول سه اتمی هیدروژن با دو الکترون با استفاده از تقریب RHF

با استفاده از تقریب R.H.F ویژه مقادیر انرژی و ویژه حالات یک مولکول سه اتمی هیدروژن H_3^+ با دو الکترون را با معلوم بودن پارامترهای مسئله V و J و t و U تعیین می‌کنیم. لذا انرژی و چگالی بار حالت پایه نیز در پی آن بدست می‌آیند.تابع موج هارتی - فوک بر حسب توابع پایه تک ذره ای بسط داده می‌شوند.

$$|\psi_\lambda\rangle = \sum_{i=1}^p C_i^\lambda |\varphi_i\rangle$$

معادلات ویژه مقداری هارتی - فوک در تقریب R.H.F را به صورت زیر می نویسیم.

$$\sum_{j=1}^p \left\{ h_j + \sum_{j_1, j_2=1}^p (U_{ij, j_1 j_2} - \frac{1}{2} U_{jj_1, jj_2}) (2 \sum_{\lambda=1}^{N/2} C_{j_2}^{*\lambda} C_{j_1}^\lambda) - g_L s_j \right\} C_j^L = 0 \quad (12-3)$$

که در آن N تعداد الکترونها (که ۲ تاست) و P تعداد پایه های استفاده شده در اینجا ۳ می باشد. ماتریس

هامیلتونی هارتی - فوک 3×3 می باشد. فرم معادله ویژه مقداری هارتی - فوک را به صورت

$$\sum_j (H_{RHF}) C_j^L = \sum_j g_L s_j C_j^L \quad \text{می توان نشان داد. این معادلات در پایه های مناسب به شکل ماتریس می}$$

شوند. در این صورت مسئله به حل یک سری ماتریسها و یافتن ضرایب بسط محدود می شود. ماتریس

چگالی را می توان به شکل زیر تعریف نمود.

$$D_{j_1 j_2} = 2 \sum_{\lambda=1}^{N/2} C_{j_2}^{*\lambda} C_{j_1}^\lambda \quad (13-3)$$

بدون اینکه عمومیت مسئله کم شود، برای سادگی انرژیهای اتمی روی جایگاههای اتمی را مساوی صفر

در نظر گرفته و تمامی جملات جهش بدلیل تقارن مولکول با هم برابرند.

$$h_{11} = h_{22} = h_{33} = \varepsilon_1 = \varepsilon_2 = \varepsilon_3 = 0$$

$$h_{12} = h_{13} = h_{23} = \dots = h_{32} = h_{31} = t_{12} = t_{23} = \dots = t$$

انتگرالهای کولنی نیز با پارامترهای U (جمله برهمنش کولنی الکترونها روی یک جایگاه - جمله هبارد) و

V (جمله برهمنش کولنی الکترونها در جایگاههای همسایه) و J (جمله برهمنش تبادلی الکترونها)

مشخص شده اند.

$$U_{11,11} = U_{22,22} = U_{33,33} = U_1 = U_2 = U_3 = U$$

$$U_{11,22} = U_{11,33} = U_{22,33} = V_{12} = V_{13} = V_{23} = V$$

$$U_{11,12} = U_{22,32} = U_{33,13} = \dots = 0$$

مقادیری از انتگرالهای کولنی که صفر گذارده شده اند، از همپوشانی اندک توابع موج مربوطه حکایت دارد.

با مفروضات فوق اینک ماتریس هامیلتونی هارتی - فوک را می نویسیم.

$$\begin{pmatrix} U|c_1|^2 + (2V - J)(|c_2|^2 + |c_3|^2) & t + (3J - V)c_1^*c_2 & t + (3J - V)c_1^*c_3 \\ t + (3J - V)c_1^*c_2 & U|c_2|^2 + (2V - J)(|c_1|^2 + |c_3|^2) & t + (3J - V)c_2^*c_3 \\ t + (3J - V)c_1^*c_3 & t + (3J - V)c_2^*c_3 & U|c_3|^2 + (2V - J)(|c_1|^2 + |c_2|^2) \end{pmatrix}$$

چون C ها را حقیقی فرض می کنیم $C_1^*C_2 = C_2^*C_1 = C_3^*C_1 = C_1^*C_3$. از آنجایی که سه جایگاه اتمها، چه از نظر انرژیهای اتمی و نیز دیگر پارامترها، دارای تقارن می باشند، می توان قبل از حل خود سازگار حدسی روی ضرایب بسط زد. در واقع این تقارن ملزم می دارد که احتمال حضور الکترون روی هر سه جایگاه اتمی به صورت یکسانی باشند. لذا تابع موج حالت پایه این سیستم هم برابر است با:

$$|\Psi\rangle = \frac{1}{\sqrt{3}}(|\varphi_1\rangle + |\varphi_2\rangle + |\varphi_3\rangle)$$

البته برنامه کامپیوتروی این مسئله نیز نوشته شده است که برنامه کامپیوتروی و نتایج آن در ضمیمه ث ذکر شده اند. گرچه که پس از فرایند خودسازگاری، نتیجه برنامه حدس فوق را تایید می کند. با این حدس به سادگی ویژه مقادیر هامیلتونی هارتی - فوک (g_{L_s}) بدست می آیند. انرژی کل را بر حسب ضرایب بسط می توان پس از کمی محاسبه به شکل زیر بدست آورد.

$$E^{R.H.F} = 2 \sum_{\lambda=1}^{N/2} g_{\lambda} - \frac{1}{2} \sum_{\lambda, \mu=1}^{N/2} \sum_{i,j,k,l=1}^3 C_i^{*\lambda} C_j^{\lambda} C_l^{\mu} C_k^{*\mu} (4U_{ij,kl} - 2U_{il,kj})$$

با جایگذاری مقادیر بدست آمده، انرژی کل هارتی - فوک بر حسب پارامترهای موجود در مسئله به شکل زیر استخراج می شود.

$$E^{R.H.F} = 2g_1 - \frac{1}{3}[u + 2(2J + v)]$$

چگالی الکترونی نیز می تواند به عنوان نتیجه محاسبه شود.

$$\rho(r) = \sum_{\lambda} |\psi_{\lambda}(r)|^2 = \sum_{\lambda} \sum_{ij} C_i^{*\lambda} C_j^{\lambda} \varphi_i(r) \varphi_j^*(r)$$

و نهایتاً عناصر قطری ماتریس چگالی، چگالی روی اتم ۱ ام را نشان می دهد.

$$D_{ij} = 2 \sum_{\lambda} C_i^{\lambda} C_j^{*\lambda} \quad \therefore D_{ii} = 2 \sum_{\lambda=1}^{N/2} |C_i^{\lambda}|^2$$

ضریب ۲ بواسطه اسپین گذارده شده است. از آنجایی که $N=2$ ، لذا در جمع فوق تنها یک جمله $D_{ii} = 2|C_i|^2$ دخیل است. بنابراین $C_i = \frac{1}{3}$ ، احتمال حضور الکترون روی هر اتم مساوی $\frac{2}{3}$ می باشد. تعداد الکترونها مساوی تعداد اتمها در احتمال حضور هر الکtron روی آن اتم ($= 2 \times \frac{2}{3}$) می باشد.

باشد.

۳-۳) بررسی یک سیستم دو حالت با استفاده از مدل هبارد

هدف از بررسی این سیستم، درک تاثیر پارامترهای گوناگون موجود در مسئله از جمله برهمنش هبارد، در پدیده انتقال بار بین این دو حالت می باشد. در صورتیکه در معادله هارتی - فوک (۱۲-۳)، تنها جمله کولنی ای غیرصفر باشد که در آن بر هم کنش الکترونها با یکدیگر فقط روی یک جایگاه صورت گیرد، مسئله به مدل هبارد تعبیر می شود.

$$U_{ij,kl} = \begin{cases} U \neq 0 & \therefore i = j = k = l \\ = 0 & \therefore \text{otherwise} \end{cases}$$

بنابراین رابطه (۱۲-۳) با استفاده از تعریف ماتریس چگالی (۱۲-۳) به رابطه زیر کاهش می یابد.

$$\sum_{j=1}^p \left\{ h_{ij} + \delta_{ij} \frac{1}{2} U_{ii,ii} D_{ii} - g_L \delta_{ij} \right\} C_j^L = 0$$

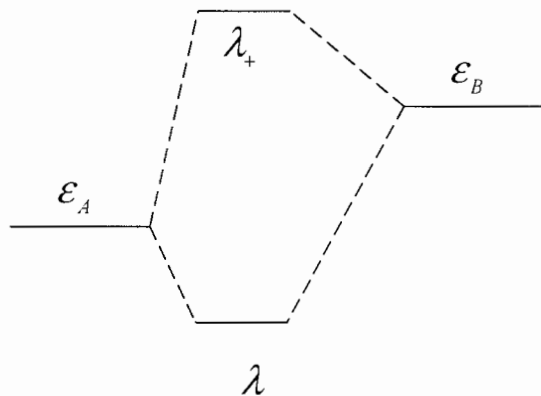
جهت سادگی، یک سیستم دو حالت را در نظر می گیریم. این سیستم می تواند، مولکول هیدروژن دو اتمی باشد. فرض کرده ایم ماتریس همپوشانی ماتریسی یکه باشد. از آنجا که عناصر قطری ماتریس چگالی، چگالی بار روی جایگاه را نشان می دهند، جمله $U \delta n$ به عناصر قطری هامیلتونی مختل نشده اضافه می شود. $\delta n = n - n_0$ میزان چگالی بار اضافه شده نسبت به بار اولیه روی جایگاه اتمی می باشد.

ویژه مقدار و ویژه تابع حالت پایه سیستم، چگالی بار روی هر جایگاه بعد از تشکیل این سیستم دو حالت و نهایتاً حد پیوند کووالانسی و یونی را مشخص می کنیم. هامیلتونی سیستم به صورت ساده زیر است.

$$H = \begin{pmatrix} \mathcal{E}_1 + U(n_1 - n_0) & t \\ t & \mathcal{E}_2 + U(n_2 - n_0) \end{pmatrix} \quad (14-3)$$

که در آن t جمله جهش و ϵ ها انرژی های اتمی و n_0 چگالی بار اولیه روی جایگاههای اتمی می باشند. گرچه معادله (۱۴-۳) می بایستی به صورت خودسازگار حل شود، اما تحلیل عام سیستم دو حالت که فرایند یک مرحله را بررسی می کند، به پیش بینی نتایج کمک خواهد کرد. سیستم دو حالت بواسطه سادگی اش، قابلیت بررسی تحلیلی دارد. اینک ویژه مقادیر و ویژه توابع هامیلتونی عام سیستم دو حالت زیر را می توان به صورت تحلیلی بدست آورد.

$$H = \begin{pmatrix} \epsilon_A & t \\ t & \epsilon_B \end{pmatrix}$$



شکل ۳ : ترازه های انرژی یک مولکول در اثر اتصال دو اتم به یکدیگر ویژه مقادیر و ویژه توابع آن با اندکی محاسبه به صورت زیر استخراج می شوند.

$$\lambda_{\pm} = \frac{(\epsilon_A + \epsilon_B) \pm \sqrt{(\epsilon_A - \epsilon_B)^2 + (2t)^2}}{2}$$

$$C_1 = \frac{t}{\sqrt{t^2 + (\lambda - \epsilon_A)^2}} ; \quad C_2 = \frac{\lambda - \epsilon_A}{\sqrt{t^2 + (\lambda - \epsilon_A)^2}}$$

این روابط در دو حد پیوند یونی و کوالانسی می توانند بررسی شوند. هرگاه $\frac{t}{\epsilon_A - \epsilon_B} \ll 1$ آنگاه در حد

پیوند یونی قرار می گیریم. در این حالت ویژه مقادیر انرژی و ویژه توابع پس از بسط اختلالی به شکل زیر ساده می شوند.

$$\lambda_{\pm} = \epsilon_{A/B} \pm \frac{t^2}{\epsilon_A - \epsilon_B} ; \quad \psi^+ \propto \frac{\epsilon_A - \epsilon_B}{t} \varphi_1 + \varphi_2 \quad (15-3)$$

در تابع موج بالا، وزن Φ_1 خیلی بیشتر از Φ_2 است و این بدین معنی است که سیستم یونیزه است و احتمال حضور الکترون روی یکی از اتمها بیشتر از دیگریست. بنابراین این پیوند را پیوند یونی گویند. در حالیکه هرگاه که $1 < \frac{\mathcal{E}_A - \mathcal{E}_B}{t}$ ، در حد پیوند کوالانسی بوده و ویژه مقادیر و ویژه توابع آن به صورت زیر محاسبه می شوند.

$$\lambda_{\pm} = \frac{\mathcal{E}_A + \mathcal{E}_B}{2} \pm t \quad ; \quad \psi^+ \propto \frac{1}{\frac{\Delta}{2t} + 1} \varphi_1 + \varphi_2 \approx \varphi_1 + \varphi_2 \quad (16-3)$$

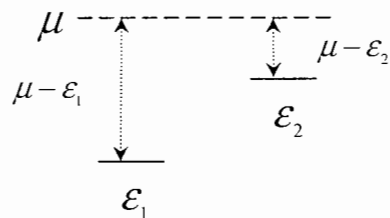
پس در پیوند کوالانسی دو تابع موج سهم یکسانی دارند و احتمال حضور الکترونها روی هر دو حالت یکسان می باشد.

حال هامیلتونی هبارد معادله (14-3) را در نظر می گیریم. از آنجا که این هامیلتونی خود تابعی از چگالیهای $n_1 = |c_1|^2$ ، $n_2 = |c_2|^2$ و در نتیجه ویژه توابع خود هامیلتونی می باشد، لذا باستی مساله بصورت خودسازگار حل شود. بنابراین برای حل عددی مساله در ابتدا با چگالیهای حدسی ورودی n_1 ، n_2 فرایند خودسازگاری شروع می شود. در این مساله، تاثیر پارامترهای گوناگون از جمله انرژیهای اتمی، پتانسیل هبارد و انرژی جهش را روی پدیده انتقال بار بین دو حالت بررسی خواهیم نمود. برنامه کامپیوتری این مساله در ضمیمه ج آورده شده است. ابتدا در غیاب پتانسیل کولنی هبارد ($U=0$)، روابط استخراج شده فوق را بطور عددی مورد محک قرار می دهیم. در این حالت کافیست هامیلتونی را تنها یکبار قطری نموده و ویژه مقادیر و ویژه توابع را استخراج می کنیم. پارامترهای ثابت در کل حل این مساله، انرژی جهش ($t=-1$) و چگالی اولیه بار الکترونی روی اتمها ($n_1=0.5$) می باشند. گرچه در این حالت که جمله هبارد صفر است، چگالی اولیه بار الکترونی روی اتمها تاثیری در حل مساله ندارد.

جدول (1-3) انواع پیوندهای گوناگون جایگاههای اتمی بدون برهمن کنش

\mathcal{E}_1	\mathcal{E}_2	n_1	n_2	λ_-	λ_+	نوع پیوند
.	.	0,5	0,5	-1	1	کاملاً کوالانسی
.	1	0,72	0,28	-0,6	1,6	کوالانسی-یونی
.	5	0,96	0,04	-0,19	5,19	کاملاً یونی

همانطور که در جدول فوق ملاحظه می شود، روی اتمهای با انرژی اتمی پایین تر با بیشتری قرار می گیرد. این بدان دلیل است که فاصله این انرژیهای اتمی با تراز پتانسیل شیمیایی (μ) زیادتر می باشد.



شکل ۳-۲: نمودار انرژی اتمها تا سطح پتانسیل شیمیایی مولکول

زمانیکه انرژی اتمی هر دو جایگاه با هم برابر باشد، بار بطور مساوی روی هر کدام از جایگاههای اتمی توزیع می شود. دو حد کوالانسی و یونی در جدول با روابط تحلیلی بالا انطباق دارد.

در حضور پتانسیل کولنی هبارد ($U \neq 0$)، تا مادامیکه میدان خودسازگار (در اینجا چگالی الکترونی) همگرا نشده است، هامیلتونی در هر مرحله خودسازگاری قطری و چگالی مجدداً محاسبه می شود. در چنین حالتی تاثیر جمله کولنی هبارد را روی حالتها مندرج در جدول (۱-۳) بررسی می کنیم. فرض کرده ایم در ابتدا هر اتم به میزان $n_1 = 5$ بار دارند. با اتصال این دو اتم به یکدیگر بار رد و بدل می شود. به این ترتیب طی فرایند خودسازگاری آنقدر بار رد و بدل می شود تا پتانسیل شیمیایی دو اتم یکی شود. جوابهای همگرا شده در جدول زیر آورده شده اند.

جدول (۲-۳) اثر بر هم کنش روی پیوند های اتمی

ϵ_1	ϵ_2	U	n_1	n_2	λ_-	λ_+	نوع پیوند
.	.	۵	۰,۵	۰,۵	-۱,۰۳	۰,۹۶	کوالانسی کامل
.	۵	۱	۰,۹۵	۰,۰۵	۰,۲	۴,۸	پیوند کامل
.	۵	۵	۰,۸۳	۰,۱۷	۱,۱۵	۳,۸	یونی
.	۵	۴۰	۰,۵۶	۰,۴۴	۱,۲۱	۳,۲۲	پیوند کامل
							کوالانسی

در حالتی که انرژیهای اتمی مساوی هستند، ملاحظه می شود که حضور پتانسیل کولنی هبارد، تاثیری روی چگالیهای بار ندارد و پیوند همچنان کوالانسی باقی می ماند. در صورتیکه اختلاف انرژیهای اتمی نسبت به انرژی جهش بزرگ شود، آنگاه پیوند کاملاً یونی است. اما به واسطه وجود برهم کنش کولنی هبارد، مقدار بار کمتری از اتم با انرژی بیشتر به سمت اتم با انرژی کمتر سرازیر می شود. زیرا پتانسیل کولنی، مقاومتی در برابر انتقال بار ایجاد می کند. در واقع انرژی اتمی، آن اتمی که بار می گیرد به اندازه $U\delta n$ بالا رفته و تراز انرژی اتمی که بار می دهد نیز به همین اندازه پایین می آید. با افزایش نسبت پتانسیل کولنی به اختلاف انرژی اتمها، هزینه انتقال بار افزایش یافته و انتقال بار کمتری صورت می گیرد. لذا پتانسیل کولنی باعث فریز شدن بارهای اولیه روی اتمها می شود. در حالت کلی که چگالی اولیه بار روی اتمها برابر نیست نیز پتانسیل کولنی چنین نقشی را دارد. اهمیت مطالعه چنین سیستمی، از آن جهت مهم تلقی می شود که در بررسی سیستمهای نانومتری، پدیده انتقال بار از منابع به یک سیم یا نقطه کوانتمی مورد توجه می باشد.

فصل چهارم

محاسبه انرژی حالت پایه اتمهای با پوسته الکترونی کامل در تقریب RHF

اگر اتم هلیم با عدد اتمی $z = 2$ را یک اتم هیدروژن گونه فرض کنیم، به طوری که هر الکترون به طور جداگانه هسته ای با ۲ بار مثبت را ببیند و پایه ها را همان توابع موج اتم هیدروژن گونه در نظر بگیریم، انرژی کل با مقدار واقعی فاصله زیادی خواهد داشت. زیرا اثر پوششی الکترونها را در نظر نگرفته ایم. بنابراین اگر انرژی حالت پایه اتم هلیم را با روش وردشی و با استفاده از تابع موج آزمون اتم هیدروژن گونه با بار z^* محاسبه کنیم، مشاهده خواهیم کرد که انرژی در $z^* = z - \frac{5}{16}$ کمینه خواهد شد که در اینجا اثر پوششی الکترونها روی بار هسته در نظر گرفته شده است. این توابع هیدروژن گونه $(R_{10}(r) = 2Z^{\frac{3}{2}}e^{-Zr})$ با بار z^* را می توان به عنوان پایه های اسلیتر (STO) مربوط به اتم هلیم در نظر گرفت که مقدار انرژی حالت پایه ای معادل $(eV) = 78.38$ را پیشنهاد می کنند [۶].

همان طور که در فصل دوم اشاره شد، ویژه تابع هارتی-فوک یک ویژه تابع تک ذره ای به صورت زیر است:

$$|\varphi_\lambda\rangle = \sum_{i=1}^p c_i^\lambda |b_i\rangle \quad (1-4)$$

که بر حسب یک سری ویژه توابع تک ذره ای بسط داده شده است. این توابع تک ذره ای همان توابع موج اسلیتر (STO) هستند که ویژه تابع هارتی-فوک را بر حسب آنها به صورت زیر بسط می دهیم:

$$|\varphi_\lambda\rangle = \sum_{i=1}^p c_i^\lambda |\varphi_i^{STO}\rangle \quad (2-4)$$

احتمال حضور الکترون روی ویژه تابع اسلیتر λ می باشد که بسته به تابع STO می تواند نوع S یا p باشد. هر کدام از این اربیتالهای نوع S یا p ، خود شامل چند پایه هستند که دارای نمای اربیتالی مختلفند. زیرا هر چه تعداد پایه های (STO) بیشتر باشند، توابع موج هارتی-فوک به صورت دقیقتری به دست آورده می شوند و به نتایج مطلوبتری دست خواهیم یافت.

۱-۴) توابع پایه اسلیتر

پایه هایی که معمولا برای محاسبات هارتی - فوک اتمی استفاده می شوند توابع اربیتالی نوع اسلیتر هستند که بصورت زیر تعریف می شوند.

$$\frac{\left[2\zeta/a_0\right]^{n+\frac{1}{2}}}{[(2n)!]^{\frac{1}{2}}} r^{n-1} e^{-\zeta r/a_0} Y_L^m(\theta, \varphi) \quad (3-4)$$

تابع فوق شکل نرمالیزه شده می باشد. این توابع با مقادیر n, L و m صحیح و ζ مثبت مجموعه کاملی را تشکیل می دهند. پارامتر ζ نمای اربیتالی نامیده می شود. برای اینکه نمایش دقیقی از اربیتالهای هارتی - فوک داشته باشیم باید بسطی شامل تعداد نامحدودی از این اربیتالهای اسلیتر داشته باشیم. ولی در عمل می توان با تعداد کمی از این اربیتالها نتایج دقیقی گرفت. به عنوان مثال طبق مقاله [۷] تابع موج حالت پایه اتم هلیم در تقریب هارتی - فوک بصورت زیر است.

$$f(1)f(2).2^{\frac{1}{2}} [\alpha(1)\beta(2) - \alpha(2)\beta(1)]$$

که در آن α و β حالت‌های اسپینی \downarrow و \uparrow هستند و $f(1)$ و $f(2)$ توابع اربیتالی می‌باشند. جمله

$$\frac{1}{\sqrt{2}}[\alpha(1)\beta(2) - \alpha(2)\beta(1)]$$

ترکیبی از ۵ تابع موج STO بصورت زیر در نظر گرفته شد.

$$f = \pi^{\frac{-1}{2}} \sum_{i=1}^{5} c_i \left(\frac{\zeta_i}{a_0}\right)^{\frac{3}{2}} e^{-\frac{\zeta_i r}{a_0}}$$

که ضرایب بسط c_i و ζ_i ‌ها در مقاله آمده است. همانطور که می‌دانیم می‌توان انرژی حالت پایه اتم هلیم را با استفاده از روش وردشی بدست آورد. بزرگترین جمله در بسط فوق دارای نمای اربیتالی می‌باشد که بسیار به نمای اربیتالی حاصل از روش وردشی نزدیک است. انرژی کل اتم هلیوم $-77,9 \text{ eV}$ بدست می‌آید که در مقایسه با انرژی واقعی -79 عدد بسیار نزدیکی است. انرژی اربیتالی $1s$ منطبق با تابع اربیتالی f ، $2s$ -گزارش شده است در حالی که انرژی یونیزاسیون هلیم آزمایشگاهی $24,6 \text{ eV}$ باشد.

برای حالت پایه اتم لیتیم در همان مقاله، سری پایه‌هایی را استفاده کردند که در آن دو پایه STO مربوط به $1s$ با نماهای متفاوت و $4p$ پایه STO مربوط به $2s$ می‌باشند. اربیتالهای هارتی - فوک $1s$ و $2s$ اتم لیتیم هر کدام بصورت ترکیب خطی از این شش تابع باید بیان شوند. انرژی هارتی - فوک $-20,3,5 \text{ eV}$ بدست می‌آید در حالی که انرژی واقعی $-20,2,3 \text{ eV}$ است.

در صورتی که مولکولهای چنداتمی داشته باشیم حضور بیش از دو اتم باعث می‌شود که حل انتگرالهای کولنی دشوارتر شوند. برای یک مولکول سه اتمی باستی انتگرالهای تک مرکزی، دو مرکزی و سه مرکزی را حل نمود.

برای حل انتگرالهای مولکولی، استفاده از توابع نوع گوسی GTOها پیشنهاد شد. یک تابع گوسی در مختصات کارتزین که به مرکزیت اتم a تعریف شده، بصورت زیر می‌باشد.

$$g_{ijk} = N x_a^i y_a^j z_a^k e^{-\alpha_a r_a^2}$$

که در آن N ثابت نرمالیزاسیون و i و j و k اعداد غیرمنفی هستند و α نمای دیجیتالی مشتبی می باشد.
زمانی که $i=j=k=0$ باشد یعنی $i=j=k=0$ است و GTO یک تابع گاوسی نوع S نامیده می شود و
هنگامی که $i+j+k=1$ باشد یک تابع گاوسی نوع p خواهیم داشت.

مجموعه پایه های اسلیتر با زتای دوگانه^۱ از جایگزینی یک مجموعه پایه های کمینه STO با دو پایه STO برای هر اربیتال (یک پایه به ازای هر اسپین) که نمای زتای آنها (ζ) متفاوت است، بدست می آید. این افزایش تعداد پایه ها برای بالا بردن دقیق نتایج می باشد. مجموعه پایه های کمینه شامل یک پایه STO برای هر اربیتال است. مثلاً برای هلیم یک پایه STO و برای کربن ۵ پایه STO (برای $1s$ برای هلیم دو تا $1s$ و برای کربن دو تا $2s$ و دو تا $2p$ و ... در نهایت ۱۰ تا $1s$ در نظر می گیریم. در نظر گرفته می شود. در مجموعه پایه های اسلیتر با زتای دوگانه، برای مثال استفاده از روش تقریبی، جزئیات فرایند خود سازگاری مطرح می شود. این بخش به کسب یک طرح کلی از فرایند خود سازگاری کمک می کند. سپس نتایج عددی کامپیوتری مربوط به حل این معادلات خود سازگار هارتی-فوک ارائه می شوند.

۲-۴) حل تقریبی اتم هلیوم

در این مثال (رجوع کنید به [۸])، به ازای هر الکترون که با اسپین \downarrow و \uparrow است، یک پایه جداگانه در نظر می گیریم. پس برای اتم هلیم، ۲ پایه نوع اسلیتر در نظر گرفته که ماتریس هامیلتونی آن روی این پایه ها 2^* می شود. حالا برای اتم هلیم می خواهیم انرژی حالت پایه را با فرض توابع پایه اسلیتر با زتای دوگانه حل کنیم. با استفاده از مقاله [۹] زتای توابع $STO = 1.45$ و $\zeta_1 = 2.91$ و $\zeta_2 = 2.91$ می باشند.

توابع مربوط به این زتاهای به ترتیب $\varphi_1 = 2\zeta_1^{\frac{3}{2}} e^{-\zeta_1 r} Y_{00}$ و $\varphi_2 = 2\zeta_2^{\frac{3}{2}} e^{-\zeta_2 r} Y_{00}$ می باشند. که در آنها C یک ثابت است. با استفاده از تقریب RHF ابتدا باید این توابع موج ارتونرمال باشند.

^۱ Double Zeta Function STO

$$\langle \varphi_1 | \varphi_1 \rangle = \langle \varphi_2 | \varphi_2 \rangle = 1$$

$$\langle \varphi_1 | \varphi_2 \rangle = 0$$

یعنی ماتریس همپوشانی S_{ij} همان δ_{ij} باشد.

$$S_{ij} = \begin{pmatrix} \langle \varphi_1 | \varphi_1 \rangle & \langle \varphi_2 | \varphi_2 \rangle \\ \langle \varphi_2 | \varphi_1 \rangle & \langle \varphi_1 | \varphi_2 \rangle \end{pmatrix}$$

اما چون اینجا ما برای هر الکترون یک پایه جداگانه در نظر گرفتیم، φ_1 و φ_2 در یک تراز هستند و با هم همپوشانی دارند، پس $\langle \varphi_1 | \varphi_2 \rangle \neq 0$ خواهد شد. در صورتی که در روش قبلی چون هر پایه مربوط به یک تراز جداگانه بود با هم هیچ همپوشانی نداشتند. عنصر غیر قطری ماتریس همپوشانی به شکل زیر محاسبه می شود.

$$S_{12} = 4 \zeta_1^{\frac{3}{2}} \zeta_2^{\frac{3}{2}} \int_0^{\infty} e^{-(\zeta_1 + \zeta_2)r} r^2 dr = 0.8366$$

ابتدا ماتریس هامیلتونی غیرمختل ($H_0 = -\frac{1}{2} \nabla^2 - \frac{2}{r}$) را روی این پایه ها بدست می آوریم:

$$H_0 = \begin{pmatrix} -1.8488 & -1.8826 \\ -1.8826 & -1.5860 \end{pmatrix}$$

جهت انجام محاسبات نیاز به یک حدس اولیه از ضرایب بسط تابع STO داریم. البته می توان هامیلتونی هارتی - فوک را بر حسب ماتریس چگالی نوشت. لذا سعی می کنیم حدس معقولی از ماتریس چگالی بزنیم. از آنجایی که در روش وردشی برای یافتن انرژی حالت پایه، نمای اریتالی بهینه یا همان بار استار شده یعنی مقدار $z^* = 2 - \frac{5}{16} = \frac{27}{16} = 1.6875$ به ζ_1 نزدیکتر است لذا ضریب بسط تابع φ_1 در تابع موج هارتی - فوک (مربوط به انرژی حالت پایه) بزرگتر از ضریب بسط تابع φ_2 می باشد.

$$\psi_1 = c_{11} \varphi_1 + c_{21} \varphi_2$$

به عنوان حدس اولیه فرض کنیم $\frac{c_{11}}{c_{21}} \approx 2$ است. شرط نرمالیزاسیون مجاب می دارد که :

$$\int |\psi_1|^2 d\tau = 1 ; \quad c_{21} = (1 + k^2 + 2ks_{12})^{-\frac{1}{2}} \quad (4-4)$$

که در آن $k = \frac{c_{11}}{c_{21}}$ می باشد. با محاسبه $S_{11} = 0.8366$ ، ضرایب حدسی $c_{11} = 2c_{21} = 0.6922$ و $c_{21} \approx 0.3461$

نیز استخراج می شوند. با این حدس اولیه ماتریس چگالی $D_{11} = 2|c_1|^2 = 0.9583$ و

$D_{22} = 2|c_2|^2 = 0.2396$ نیز محاسبه می شوند. معادله ویژه مقداری هارتی - فوک در تقریب RHF را

می توان بر حسب ماتریس چگالی به صورت زیر نوشت :

$$\sum_{j=1}^p [h_{ij} + \sum_{j_1=1}^p \sum_{j_2=1}^p [(u_{ij,j_1j_2} - \frac{1}{2} u_{ij_1,jj_2}) D_{j_1j_2}] - g_i s_{ij}] c_j^i = 0 \quad (5-4)$$

که در آن $t = 1, \dots, D$; $u = 1, \dots, D$ و $D_m = 2 \sum_{j=1}^{N/2} c_j^* c_{uj}$ می باشند. جملات هامیلتونی به صورت

زیرنده.

$$\begin{aligned} H_{11} &= h_{11} + \sum_{j_1=1}^p \left[(u_{11,j_11} - \frac{1}{2} u_{1j_1,11}) D_{j_11} + (u_{11,j_12} - \frac{1}{2} u_{1j_1,12}) D_{j_12} \right] \\ &= h_{11} + \frac{1}{2} u_{11,11} D_{11} + u_{11,12} D_{12} + (u_{11,22} - \frac{1}{2} u_{12,12}) D_{22} \\ H_{12} &= h_{12} + \frac{1}{2} u_{12,11} D_{11} + (\frac{3}{2} u_{12,12} - \frac{1}{2} u_{11,22}) D_{12} + \frac{1}{2} u_{12,22} D_{22} \\ H_{21} &= h_{21} + \frac{1}{2} u_{21,11} D_{11} + (\frac{3}{2} u_{21,12} - \frac{1}{2} u_{22,11}) D_{12} + \frac{1}{2} u_{21,21} D_{22} \\ H_{22} &= h_{22} + (u_{22,11} - \frac{1}{2} u_{21,21}) D_{11} + u_{22,12} D_{12} + \frac{1}{2} u_{22,22} D_{22} \end{aligned}$$

انتگرالهای کولنی به راحتی قابل انتگرال گیری بوده و نهایتاً پس از جایگذاری مقادیر D و u ها در روابط

فوق، ماتریس هامیلتونی خواهد شد:

$$H_{11} \approx -0.813 ; H_{12} \approx -0.892 ; H_{22} \approx -0.07$$

برای اینکه معادله اصلی RHF جواب داشته باشد باید دترمینان ضرایب آن صفر شود یعنی:

$$\det[H_{H,F} - g_i S_{ij}] = 0$$

$$\begin{vmatrix} -0.813 - g_i & -0.893 - 0.8366g_i \\ -0.892 - 0.8366g_i & -0.07 - g_i \end{vmatrix} = 0 \rightarrow g_1 \approx -0.854, g_2 \approx 2.885$$

حال به ازای کمترین ویژه مقدار (حالت پایه $g_1 = g$) باید ویژه تابع را پیدا کنیم:

$$\begin{pmatrix} A-g_L & B-Cg_L \\ B-Cg_L & D-g_L \end{pmatrix} \begin{pmatrix} c_{11} \\ c_{21} \end{pmatrix} = 0 \rightarrow (A-g_L)c_{11} + c_{21}(B-Cg_L) = 0 \rightarrow k = \frac{c_{11}}{c_{21}} \approx 4.42$$

که در آن A,B,C,D ثوابتند. با جایگذاری مقادیر k و S_{12} در معادله (۴-۴)، $c_{11} \approx 0.839$; $c_{21} = 0.189$ بدست می آیند. با جایگذاری این ضرایب در ماتریس چگالی داریم:

$$D_{11} \approx 1.398, D_{12} = D_{21} \approx 0.316, D_{22} \approx 0.071$$

و از آنجا مجدداً ماتریس هامیلتونی بدست می آید.

$$H_{11} = 0.880; H_{22} \approx 0.124; H_{12} = H_{21} = -0.94$$

و باز با جایگذاری این مقادیر جدید در $\text{Det}|H - s_{ij}g_{ij}| = 0$ ویژه مقادیر انرژی بدست می آیند.

$$g_1 = -0.918; g_2 = 2.810$$

و باز با این g_1 جدید، مقادیر $c_{11} \approx 0.842$; $c_{21} = 0.183$ همان c های مرحله قبل هستند (بسیار مقادیرش نزدیک است) و D ها نیز به این صورت زیر می باشند.

$$D_{11} \approx 1.418, D_{12} = D_{21} \approx 0.308, D_{22} \approx 0.067$$

پس از حلقه خارج می شویم. نهایتاً تابع موج هارتی - فوک به صورت نهایی زیر می باشد.

$$\psi = 0.842\varphi_1 + 0.183\varphi_2$$

انرژی کل نیز از فرمول زیر در تقریب RHF بدست می آید.

$$E^{RHF} = \sum_{\lambda=1}^{N/2} g_\lambda + \frac{1}{2} \sum_{ij=1}^p D_{ij} h_{ij} = g_1 + \frac{1}{2} [D_{11}h_{11} + D_{12}h_{12} + D_{21}h_{21} + D_{22}h_{22}] \quad (6-4)$$

که N و p برابر ۲ می باشند. پس از جایگذاری انرژی کل بسیار به مقدار واقعی نزدیک است.

$$E_{RHF} = -2.86 \text{ (Hartree)}$$

۴-۳) محاسبه عددی انرژی حالت پایه اتمهای با پوسته الکترونی کامل

حال می خواهیم انرژی حالت پایه یک سیستم بس ذره ای را با استفاده از تقریب RHF محاسبه کنیم. پایه هایی که در اینجا انتخاب می کنیم، مجموعه پایه های STO هستند. زیرا نسبت به توابع موج واقعی اتم، ساده تر و بدون گره هستند. شکل کلی این توابع به صورت (۳-۴) است. که در آن ψ نمای اربیتالی، a_n شعاع بوهر که در واحد هارتی معادل یک است و n شماره تراز اشغال شده می باشند. لازم به ذکر است که در واحد هارتی $e = \hbar = m = 1$ است. آنچه در مراجع ذکر می شود، ψ های مربوط به قسمت شعاعی توابع موج STO است. زیرا قسمت زاویه ای مانند توابع موج اتمی برای اربیتالهای

مختلف مشخص است، که همان هارمونیک های کروی هستند. جهت تولید تابع موج اتمی، می توان از ترکیب خطی چند پایه STO استفاده نمود. هر چه تعداد این پایه ها بیشتر باشد، تابع موج هارتی-فوک دقیقتری را تولید می کند.

برای بدست آوردن مقادیر انرژی ، معادله ویژه مقداری RHF (۳۶-۲) را حل می کنیم. ابتدا باید ماتریس هامیلتونی را به دست آوریم. از آنجایی که در این رابطه هامیلتونی خود تابعی از ویژه توابع سیستم است، مساله باید به صورت خود سازگار حل شود. با استفاده از برنامه نویسی به زبان Fortran۹۰ یک برنامه می نویسیم که در آن معادلات RHF به طور خود سازگار حل می شوند. یکی از ورودیهای این برنامه ویژه توابع حدسی می باشند که می توان در ابتدا با یک ماتریس یکه شروع کرده، و نهایتاً در صورت همگرا شدن برنامه، ویژه تابع به دست آمده در آخرین حلقه را به عنوان ماتریس ویژه تابع حدسی ورودی در نظر گرفت. ورودیهای دیگر برنامه، هامیلتونی مختل نشده، ماتریس همپوشانی و انتگرالهای کولنی می باشند که به طور جداگانه با استفاده از نرم افزار Mathematica محاسبه می شوند.

برای یافتن ماتریس هامیلتونی مختل نشده روی پایه های اسلیتر، با توجه به معادله (۳-۴) ابتدا نماهای گی را ز روی جدول ۱ در مقاله [10] استخراج نموده و پایه های STO را می سازیم. آنگاه بر اساس پایه های به دست آمده و با استفاده از روشی که در ضمیمه پ گفته شده است، عناصر ماتریس هامیلتونی مختل نشده را به دست می آوریم. ابعاد این ماتریس معادل تعداد پایه های STO می باشد. همچنین در حل خود سازگار معادله (۳۶-۲) نیاز به یکسری انتگرالهای کولنی داریم که بر اساس پایه های STO استخراج شده از جدول ۱ در مقاله [۱۰] با استفاده از برنامه ای که در ضمیمه ب توضیح داده شده است، آنها را محاسبه می کنیم. محاسبه ماتریس همپوشانی نیز در ضمیمه پ ذکر شده است. ابعاد این ماتریس نیز معادل تعداد پایه های STO است.

رونده اجرای برنامه بدین گونه است که در اولین مرحله پس از دریافت ویژه تابع حدسی، معادله ویژه مقداری را حل کرده و ویژه تابع جدیدی به ما می دهد که در حلقه بعد، از آن به عنوان ویژه تابع حدسی جدید استفاده می شود. این عمل تا جایی ادامه پیدا می کند که تفاضل ویژه تابع جدید و ویژه تابع حدسی در هر حلقه از یک مقدار کوچکی که با $Tolerance = 10^{-7}$ مشخص شده، کوچکتر شود. در آن

صورت از حلقه خارج شده و در نهایت ویژه مقادیر ماتریس هامیلتونی مختل شده به ترتیب از کمترین مقدار تا بیشترین انرژی مرتب می شوند و ویژه تابع متناظر با هر ویژه مقدار در یک بردار N بعدی (که N تعداد پایه های سیستم است) به دست می آید. در نهایت انرژی کل حالت پایه سیستم بر اساس معادله(۳۵-۲) محاسبه می شوند.

بر اساس ویژه توابع به دست آمده از ماتریس هامیلتونی مختل، می توان نوع اربیتالها را نیز مشخص نمود. بدین گونه که وزن هر کدام از توابع موج STO در ویژه تابع هارتی-فوک بیشتر باشد، ویژه تابع هارتی-فوک از نوع اربیتالی همان تابع STO می باشد. جزئیات بیشتر در مثالهایی که متعاقباً بیان خواهند شد، توضیح داده می شوند.

لازم به ذکر است، ویژه تابع حدسی ورودی و ضریب mix استفاده شده مختلف، جهت خودسازگاری برنامه می توانند به نتایج متفاوتی منجر شود. لذا باید آنها را به گونه ای انتخاب کرد که جوابهای دقیقتری بدهنند. زیر برنامه mixing، ویژه تابع حدسی قدیمی را با ویژه تابع محاسبه شده در هر مرحله به نسبت ضریب mix به ۱-mix مخلوط می کند تا به آرامی از شرایط اولیه حدسی دور شویم. مثلاً اگر این ضریب مقدار $9/0$ انتخاب شود به این معنی است که در هر مرحله 90% از ویژه تابع محاسبه شده مرحله قبل و 10% از ویژه تابع محاسبه شده مرحله جدید با هم مخلوط شده و ویژه تابع حدسی برای مرحله بعد را فراهم می کند. حال به عنوان مثال انرژی حالت پایه چند اتم از جدول تناوبی را با استفاده از این محاسبه کامپیوتری بدست می آوریم. برنامه کامپیوتری در ضمیمه ب آورده شده است.

۴-۳-۱) اتم هلیوم

ابتدا اتم هلیوم را به عنوان ساده ترین اتم چند ذره ای مورد بررسی قرار می دهیم. با استفاده از نماهای گی در مقاله [۱۰] مساله را به طور تحلیلی بررسی کردیم. برای محاسبه کامپیوتری ابتدا در ورودی برنامه خودسازگار، تعداد الکترونها که برابر 2 تاست و عدد اتمی $Z=2$ را وارد می کنیم. ضرایب $1 = 1.45$ و $2 = 2.91$ به عنوان ورودی برنامه ای می باشند که با Mathematica نوشته شده است و

هامیلتونی غیر مختل، ماتریس همپوشانی و انتگرالهای کولنی بر اساس آنها در این برنامه محاسبه می شوند.

همانگونه که در جدول ۱ دیده می شود انرژی کل محاسبه شده با استفاده از برنامه نوشته شده و مقدار واقعی گزارش شده در مرجع [۶] در حدود $0/2$ هارتی اختلاف دارند که خطای نسبی آن حدود 6% می باشد. لازم به ذکر است که هر هارتی، $eV = 27/2$ می باشد. انرژی محاسبه شده ($-83/345$) الکترون ولت در مقایسه با انرژی واقعی که ($-78/975$ eV) قرار می گیرد. این تبدیل واحد می تواند بر اساس استدلال زیر قابل بیان باشد. انرژی الکترون در اتم هیدروژن گونه به صورت زیر است.

$$E_n = -\frac{1}{2} \mu c^2 \left(\frac{Z\alpha}{n} \right)^2 \quad (7-4)$$

که در آن n شماره تراز و $\alpha = \frac{e^2}{\hbar c}$ می باشند. در مورد اتم هیدروژن داریم:

$$E_1 = -\frac{1}{2} mc^2 \left(\frac{e^2}{\hbar c} \right)^2 \rightarrow 2E_1 = -\frac{me^4}{\hbar^2} = -1 \text{ (Hartree)} \quad (8-4)$$

که در واحد اتمی (مقیاس هارتی) $e = \hbar = m = 1$ می باشد. می دانیم انرژی حالت پایه اتم هیدروژن $eV = -13/6$ می باشد. لذا هر هارتی، $27/2$ eV می باشد.

۴-۳-۲) اتم بریلیوم

بریلیوم نیز اتمی سبک و دارای پوسته کامل با عدد اتمی $Z=4$ و دارای 4 الکترون می باشد. همانطور که قبلًا گفته شد، نمایهای ζ را از مقاله [۱۰] استخراج کرده و پایه های STO مربوطه را می سازیم. از جدول ۱ در مقاله [۱۰] دیده می شود که برای اتم Be تعداد پایه های $1S$ ، 2 تا و تعداد پایه های $2S$ 4 تا در نظر گرفته شده است که جمماً تعداد پایه های سیستم 6 تا می باشد.

با چنین پایه هایی، هامیلتونی غیر مختل و انتگرالهای کولنی محاسبه شده و به عنوان ورودی به برنامه فرترن داده می شوند. در نهایت پس از اجرای برنامه، ویژه مقادیر انرژی مرتب شده دارای پایین ترین مقدار معادل $4/4816$ - هارتی می باشند که بر اساس ویژه تابع مربوط به این ویژه مقدار، دارای ماکریم

احتمال (۹۹۱۶/۰) روی اربیتال $1S$ می باشد. لذا حالت پایه بس الکترونی اتم نوع اربیتالی S دارد. انرژی می نیم بعدی برابر $17/0$ هارتی است که ویژه تابع متناظر با این ویژه مقدار، دارای بیشترین احتمال حضور الکترون روی اربیتال $2S$ است. یعنی اربیتال $2S$ انرژی بالاتری دارد. پس 2 الکترون با اسپینهای \uparrow و \downarrow در $2S$ قرار می گیرند. سپس 2 الکترون دیگر اربیتال $2S$ را پر می کنند. همانطور که در جدول 1 مشاهده می شود، انرژیهای محاسبه شده در مقایسه با انرژیهای مندرج در جدول شماره 2 مقاله [۱۰]، 7% خطای نسبی در انرژی کل دارند (جدول 1). گرچه که انرژی تراز $2S$ خطای نسبی نسبتاً بالای 43% با مقدار مقاله دارد، اما تراز $1S$ خطای کمتر از 5% دارد (جدول 2).

عوامل عمدۀ این اختلاف از مقادیر مقاله می توانند عبارت باشند از: تعداد پایه ها، حدس ورودی مناسب برای توابع موج و روش استفاده شده برای مخلوط کردن توابع موج قدیم و جدید طی فرایند خودسازگاری. تغییر هر یک از این عوامل می تواند منجر به نتیجه ای متفاوت شده و برنامه به مقادیر متفاوتی همگرا شود.

همانگونه که قبلاً بیان شد، همگرایی در جایی حاصل می شود که میدان خودسازگاری^۱ قدیم و جدید به سمت هم میل کنند.

$$C_{new} - C_{old} \rightarrow 0 \quad (9-4)$$

در حقیقت مسئله، یافتن می نیم مطلق در فضای پارامتری C ها (توابع موج) می باشد. دو روش استفاده شده برای Mixing، روش خطی و Broyden می باشند. در روش خطی که قبلاً نیز اشاره شد، با طول گام ثابت به سوی می نیم مطلق رهنمون می شویم. این روش برای توابعی که پیچیدگی کمی دارند مناسب است. ولی در توابع پیچیده تر روش Broyden کارا هست. در روش خطی به دلیل اینکه از می نیم مطلق عبور نکنیم، طول گام را کوچک اختیار می کنیم. اما در این صورت احتمال گیر افتادن در می نیم های نسبی به دلیل طول گام کوچک وجود دارد. همچنین زمان رسیدن به همگرایی بسیار طولانی خواهد شد. روش Broyden به طور هوشمند طول گام را در هر گام برای گام بعدی تنظیم می کند. این تنظیم بر اساس محاسبه شبیه تابع و حرکت به سوی می نیم مطلق با طول گام مناسب با شبیه و

^۱ Self-Consistent Field

جهتی که با شیب بیشتر نمایانگر است، صورت می پذیرد. همگرایی در این روش بسیار سریعتر از روش خطی می باشد.

۴-۳-۳) اتم بور

با استفاده از تقریب RHF نیز می توان اتم های با پوسته ناکامل را بطور تقریبی بررسی کرد، اما جهت یافتن انرژیهای دقیق و نیز مغناطش اتم باید از تقریب UHF استفاده نمود که می تواند به عنوان کارهای بعدی انجام گیرد. اتم بعدی جدول تناوبی که پوسته ناکامل نیز دارد، اتم بور با $z=5$ الکترون و است.

مطابق با روال قبلی، از مرجع اصلی این پایان نامه [۱۰] برای استخراج نماهای اربیتالی استفاده می کنیم. در مورد جدول مرجع اصلی باید خاطر نشان کرد که برای اتمهای با عدد اتمی بین ۴ تا ۱۰، علاوه بر پایه های $1s$ و $2s$ ، چهار پایه نیز مربوط به $2p$ اضافه می شود. در واقع قسمت شعاعی پایه های نوع $2p$ برای $2p_x$ و $2p_y$ و $2p_z$ یکسان می باشند. لذا برای اینکه پایه کاملتری منظور کنیم، لازم است ۱۲ پایه برای اربیتال $2p$ در نظر گرفته شود که برای هر یک از حالت های $2p_x$ و $2p_y$ و $2p_z$ ، چهار پایه به طور مستقل در نظر گرفته می شود که دارای قسمتهای شعاعی یکسان می باشند.

در مورد اتم بور نیز ۲ پایه برای $1s$ و ۴ پایه برای $2s$ و ۴ پایه برای $2p$ در نظر گرفته شده است که نهابت^{۱۰} پایه داریم. البته با این تعداد پایه به جواب دقیقی از نظر انرژی کل نخواهیم رسید. برای رسیدن به جواب دقیقتر بایستی از تعداد پایه های بیشتری در محاسبه انرژی استفاده کرد. بنابراین در ابتدا با ۱۴ پایه حل کرده و سپس ۴ پایه $2p_y$ به آن می افزاییم. پس از اجرای برنامه خواهیم دید که با توجه به ویژه توابع مربوط به مقادیر انرژی ترازه ها از مقادیر پایین به زیاد، کمترین انرژی مربوط به تراز $1s$ بعد $2s$ و بعد $2p_y$ می باشد. نتیجه اینکه، انرژی کل $-26/96233$ - هارتی در مقایسه با $-24/52905$ - هارتی دارای ۹٪ خطای نسبی است. در حالیکه اگر تعداد پایه ها را ۱۸ تا در نظر بگیریم، خطای نسبی به ۷٪ کاهش می یابد. در این حالت، تعداد ۴ پایه برای $2p_z$ نیز در نظر می گیریم که نتایج در جدول ۱ و مرتب شده اند.

۴-۳-۴) اتم کربن

این اتم دارای ۶ الکترون و پوسته کامل می باشد. ابتدا مساله را با ۱۰ پایه یعنی تعداد ۲ پایه برای ۱S و ۴ پایه برای ۲S و ۴ پایه برای ۲p_x حل می کنیم. پس از اجرای برنامه کامپیوتری خواهیم دید که کمترین انرژی مربوط به ترازه 1S و انرژی بعدی مربوط به 2p_x و نهایتاً اربیتال 2S می باشد. این نتیجه گرچه منطبق بر قاعده هوند نیست اما با افزایش تعداد پایه ها علاوه بر کاهش خطای نسبی در انرژی کل (حدود ۱۴٪ با ۱۰ پایه)، به اصل هوند نیز تزدیک می شویم. با منظور نمودن ۴ پایه برای 2p_y و ۴ پایه هم برای 2p_z، تعداد کل پایه ها به ۱۸ افزایش می یابد. در چنین حالتی منطبق بر اصل هوند، ترازه ها به صورت 1S و 2S و 2p_y از انرژی کم به زیاد مرتب شده و خطای نسبی در انرژی کل نیز به ۷٪ کاهش می یابد(جدول ۱ او^۳).

لازم به ذکر است که تعداد انتگرالهای کولنی به صورت N^4 (که N تعداد پایه هاست) با افزایش تعداد پایه ها زیاد می شود. لذا زمان محاسبه این انتگرالها به شدت به تعداد پایه ها وابسته می باشد. البته می توان با یافتن تقارنهایی در آنها از محاسبه انتگرالهای مشابه اجتناب کرد. اما در هر صورت زمان محاسبه انتگرالهای کولنی با استفاده از پایه های STO از محدودیتهای پیش رو می باشد.

جدول ۴-۱: مقایسه انرژی کل محاسبه شده با انرژی کل موجود در مقاله [۱۰]. تمامی انرژیها بر حسب هارتی هستند.

نوع اتم	تعداد پایه	انرژی کل محاسبه شده	انرژی کل در مقاله [۱۰]	خطای نسبی در انرژی کل
هلييم	۲	-۳/۱	-۲/۹۰۳۵	.۶/۳
بريليم	۶	-۱۵/۷۷	-۱۴/۵۷	.۷/۶
بور	۱۴	-۲۶/۹۶۲۳	-۲۴/۵۲۹۰۵	.۹
بور	۱۸	-۲۶/۴۲۶۲	-۲۴/۵۲۹۰۵	.۷
کربن	۱۰	-۴۳/۹۲۰۸	۳۷/۵۴۹۵۴	.۱۴/۵

			-	
کربن	۱۸	-۴۰/۶۸۰	۳۷/۵۴۹۵۴	%۷/۶

جدول ۴ - ۲ : مقایسه انرژی تراز های محاسبه شده با انرژیهای موجود در مقاله [۱۰]. تمامی انرژیها بر حسب هارتی هستند

نوع اتم	تعداد پایه	انرژی ۱S محاسبه شده	انرژی ۱S در مقاله [۱۰]	انرژی ۲S محاسبه شده	انرژی ۲S در مقاله [۱۰]	انرژی ۲P محاسبه شده	انرژی ۲P در مقاله [۱۰]
هليم	۲	-۰/۶۷۱۴۳	—	—	—	—	—
بريليم	۶	-۴/۴۸۱۶	-۴/۷۳۲	-۰/۱۷	-۰/۳	—	—
بور	۱۴	-۶/۶۹۰۱۷	-۷/۶۹۵۲۸	-۰/۲۰۸۵	-۰/۴۹۴۶۸	-۰/۱۱۵۱	-۰/۳۰۹۸۷
بور	۱۸	-۷/۷۱۴۱	-۷/۶۹۵۲۸	-۰/۶۶۸۳	-۰/۴۹۴۶۸	-۰/۵۱۶۱	-۰/۳۰۹۸۷
کربن	۱۰	-۱۲/۱۹۹۵	-۱۱/۳۹۱۱	-۱/۴۰۸۸	-۰/۷۳۹۴	-۲/۷۷۷۲	-۰/۳۰۹۸۴
کربن	۱۸	-۱۲/۱۵۳	-۱۱/۳۹۱۱	-۱/۳۰۵	-۰/۷۳۹۴	-۱/۱۶۶	-۰/۳۰۹۸۴

جدول ۳-۴ : ضرایب بسط توابع موج هارتی - فوک بر حسب توابع پایه اسلیتر به تفکیک انرژی هر ترازه.

پایه	کربن(۱۸پایه)	کربن(۱۰پایه)	بور(۱۸پایه)	بور(۱۴پایه)	بريليم(۶پایه)
	-۱۲/۱۵۳	-۱۲/۱۹۹۵	-۷/۷۱۴۱	-۶/۶۹۰۲	-۴/۴۸۱۶
۱S	.۹۹۱۵۳۰	.۹۹۳۵۶۸	.۹۹۲۴۷۱	.۹۹۴۳۲۷	.۹۹۱۶۰۰
۱S	.۰۶۹۰۴۱	.۰۸۵۲۴۶	.۰۸۹۲۴۴	.۰۸۹۷۲۶	.۱۰۳۲۵۳
۲S	.۰۰۲۷۴۷	.۰۰۲۶۱۳	.۰۰۷۲۹۸	.۰۰۶۲۹۳	.۰۱۶۸۴۳
۲S	.۰۱۶۶۴۹	.۰۰۵۱۲۲	.۰۱۶۸۹۴	.۰۱۴۴۷۶	.۰۳۰۰۳۷
۲S	.۰۰۸۹۰۹	.۰۰۹۴۹۲	.۰۲۲۲۶۴	.۰۱۸۱۵۵	.۰۲۴۵۹۲
۲S	.۰۴۹۹۲۸	.۰۳۴۷۲۲	.۰۵۷۲۴۲	.۰۵۱۶۵۴	.۰۶۵۴۶۳
۲P _x۰۲۰۹۳۱	
۲P _x۰۲۷۵۶۸۷	
۲P _x۰۱۲۳۷۴۳	

γP_x5337.2	
γP_y	...1787	31	
γP_y	...4963	124	
γP_y	...8749	77	
γP_y	...8466	61	
γP_z	...6337		...8921		
γP_z	...14771		..24214		
γP_z	...7666		..17629		
γP_z	...56-13		..44028		
	-1/305	انرژی 7772	انرژی 8683	انرژی 2085	انرژی 17
		-2/	-0/	-0/	
1S	.124447	..41354	.184923	.206216	.100804
1S	.250248	..1356	..20068	.022485	.15892
2S	..28390	..8637	.113390	.717465	.952652
2S	.566325	..20439	.860640	.480535	.184808
2S	.187490	..77240	.379310	.433016	.20397
2S	.114353	..05299	.141475	.154702	.81712
γP_x824803752	
γP_x287323119	
γP_x4781797	
γP_x1579612	
γP_y	..28911	1501	
γP_y	.164032	1574	
γP_y	..24666	38	
γP_y	..6639	72	
γP_z	..7462		..60396		
γP_z	.235041		.187500		
γP_z	.101568		..98119		
γP_z	..1574		..07370		
	-1/166	انرژی 4088	انرژی 5161	انرژی 1151	
		-1/	-0/	-0/	

1S	۰۰۲۷۱۲۶	۰,۱۹۳۶۶۵	۰,۰۰۰۰۰۰	۰,۰۰۰۲۱۹	
1S	۰۰۰۴۷۸۳	۰,۰۲۴۸۸۱	۰,۰۰۰۰۰۰	۰,۰۰۰۱۲	
2S	۰,۲۷۹۹۵۴	۰,۱۴۴۵۹۴	۰,۰۰۰۰۱۵	۰,۰۰۰۲۴۱۲	
2S	۰,۲۱۲۱۸۳	۰,۷۹۲۳۹۲	۰,۰۰۰۰۰۰	۰,۰۰۰۱۹۸۶	
2S	۰,۰۱۳۶۷۸	۰,۴۸۷۰۵۱	۰,۰۰۰۰۰۰	۰,۰۰۰۳۸۹	
2S	۰,۰۲۸۰۵۷۵	۰,۲۱۳۴۶۷	۰,۰۰۰۰۰۰	۰,۰۰۰۱۰۰	
2P _x	۰,۰۰۰۰۰۰	۰,۱۲۵۴۴۶	۰,۰۰۰۰۰۰	۰,۰۰۰۱۹	
2P _x	۰,۰۰۰۰۰۰	۰,۰۲۰۲۵۸	۰,۰۰۰۰۰۰	۰,۰۰۰۲۰	
2P _x	۰,۰۰۰۰۰۰	۰,۱۱۶۸۱۶	۰,۰۰۰۰۰۰	۰,۰۰۰۱۰	
2P _x	۰,۰۰۰۰۰۰	۰,۰۲۱۰۰۹	۰,۰۰۰۰۰۰	۰,۰۰۰۲	
2P _y	۰,۰۳۴۲۳۱		۰,۲۷۶۲۲۳	۰,۹۵۳۰۶۵	
2P _y	۰,۱۴۹۳۷۰		۰,۹۴۴۹۷۵	۰,۲۵۶۶۸۷	
2P _y	۰,۰۱۵۹۴۹		۰,۱۶۵۸۳۴	۰,۱۵۹۴۹۶	
2P _y	۰,۰۱۳۸۵۲		۰,۰۵۷۰۲۱	۰,۰۲۵۸۹۷	
2P _z	۰,۱۴۷۳۴۹		۰,۰۰۰۰۰۰		
2P _z	۰,۱۹۹۸۷۸		۰,۰۰۰۰۰۰		
2P _z	۰,۱۰۰۹۵۰		۰,۰۰۰۰۰۰		
2P _z	۰,۰۱۷۴۶۸		۰,۰۰۰۰۰۰		

جدول ۴-۴: نمایه‌ای اریتالی توابع پایه اسلیتر مستخرج از جدول ۱ مقاله [۱۰]

پایه	کربن	بور	بریلیوم	لیتیوم
1S	۵,۳۸۴۲	۴,۴۶۶۱	۳,۴۷۰۳	۲,۱۴۸۰۳
1S	۹,۰۶۰۰	۷,۸۵۰۰	۶,۳۶۸۱	۴,۱۷۰۷۱
2S	۱,۲۱۰۰	۰,۸۲۲۰	۰,۷۵۱۶	۰,۱۳۵۰۰
2S	۱,۰۹۲۹	۱,۱۵۶۵	۰,۹۰۸۴	۰,۱۸۶۰۰
2S	۲,۰۵۹۶۴	۱,۹۱۲۰	۱,۴۲۳۶	۱,۰۰۰۰
2S	۴,۲۵۰۰	۳,۰۲۱۳	۲,۷۶۱۶	۱,۷۳۵۰
2P	۱,۱۰۶۰	۰,۸۷۸۳		
2P	۰,۵۰۷۴	۱,۳۵۴۳		
2P	۲,۳۵۹۰	۲,۲۲۹۶		
2P	۶,۲۰۰۰	۳,۳۶۶۵		

۴-۴) نتایج حاصل از پایه‌های مقاله [۱۱]:

محاسبات با استفاده از پایه های مقاله ای قدیمی [۱۱] نیز انجام شد تا اختلاف فاحش انرژیهای حاصل از این مقاله با نتایج واقعی آشکار شود. تعداد پایه های STO بسیار کم، دلیل این اختلاف می باشد، به طوریکه برای هر اربیتال تنها یک پایه در نظر گرفته شده است.

۴-۴-۱) اتم بور

قسمت شعاعی توابع موج STO، برای اربیتالهای ۱S و ۲S و ۲P به این گونه تعریف شده اند.

1S: $20.26 r e^{-4.73r}$

2S: $5.11 r e^{-5.94r} - 2.08 r^2 e^{-1.25r}$

2P: $r^2(1.54 e^{-1.82r} + 0.47 e^{-0.79r})$

تعداد کل پایه ها ۵ است که ۱ پایه برای ۱S و ۱ پایه برای ۲S و ۳ پایه برای ۲P_x، ۲P_y و ۲P_z در نظر گرفته شده است. با استفاده از این توابع شعاعی، انتگرالهای کولنی و ماتریس هامیلتونی غیر مختل و همپوشانی محاسبه شده و پس از حل خودسازگار معادلات هارتی - فوک، مقادیر انرژی تراز ها و انرژی کل بدست می آیند. این مقادیر که بر حسب هارتی هستند در جدول زیر با مقادیر مقاله [۱۰] مقایسه شده اند. تفاوت در انرژی کل بسیار زیاد است. اما مطابق جدول ۶، ترتیب اربیتالها بر حسب انرژی منطبق بر اصل هوند می باشد.

جدول ۴-۵: ویژه مقادیر انرژی ترازه ها در اتم بور

انرژی محاسبه شده بر اساس پایه های مقاله [۱۰]	انرژی محاسبه شده بر اساس پایه های مقاله [۱۱]	تراز
-۷/۶۹۵۲۸	-۵/۰۴۵۶۳	۱S
-۰/۴۹۴۶۸	-۰/۷۲۴۳۰۶	۲S
-۰/۳۰۹۸۷	-۰/۳۳۲۴۷۵	۲P _y
-۲۴/۵۲۹۰۵	-۱۳/۳۵۳۲۱	انرژی کل

۴-۴-۲) کربن

توابع شعاعی STO در مقاله [۴] برای کربن با آرایش $(1s^2 2s^2 2p^2)$ به صورت زیر تعریف شده اند:

$$1S: 25.14 r e^{-5.48r}$$

$$2S: 5.92 r e^{-4.89r} - 3.94 r^2 e^{-1.62r}$$

$$2P: r^2 (3.55 e^{-2.58r} + 1.26 e^{-1.26r})$$

در اینجا نیز مشابه اتم بور، تعداد پایه ها ۵ تاست که در آن یک پایه برای $1s$ و یک پایه برای $2s$ و 3 پایه برای $2p_x$ و $2p_y$ و $2p_z$ در نظر گرفته شده است. نتایج در جدول زیر با نتایج مندرج در مقاله [۱۰] مقایسه شده اند.

جدول ۴-۶: ویژه مقادیر ترازهای انرژی در اتم کربن

انرژی محاسبه شده بر اساس پایه های مقاله [۱۰]	انرژی محاسبه شده بر اساس پایه های مقاله [۱۱]	ترازه
-۱۱/۳۹۱۱۲	-۷/۶۸۱	۱S
-۰/۷۳۹۳۶	-۱/۳۱۹	۲S
-۰/۳۰۹۸۴	-۱/۲۴۲	۲P _y
-۳۷/۵۴۹۵۴	-۲۱/۰۵۵	انرژی کل

که باز هم می بینیم مقادیر محاسبه شده اختلاف زیادی از مقادیر موجود در مقاله [۱۰] (حدود ۴۰٪ در انرژی کل) دارند. در اینجا ملاحظه می شود که توزیع احتمال حضور الکترون برای انرژی اول روی تراز $1s$ بیشتر است. انرژی بعدی مربوط به تراز $2s$ می باشد ولی به ازای انرژی سوم، توزیع احتمال روی هر دو تراز $2p_y$ و $2p_z$ مقدار قابل توجهی دارد. البته روی $2p_z$ بیشتر است اما به طور مشخص روی یک تراز خاص نیست (جدول ۶).

جدول ۴-۷: ضرایب بسط توابع موج هارتی - فوک بر حسب تابع پایه اسلیتر

پایه	کربن (۵ پایه)	بور (۵ پایه)
	-۷/۶۸۱	-۵/۰ ۴۵۶۳
۱S	.۹۸۸۱۵۷	.۹۹۹۹۹۹
۲S	.۰۱۴۷۶۵	.۰۰۰ ۱۵۷۲
۲P _x	.۰۰۰ ۲۰۶۴

$2P_y$	0.,019835
$2P_z$	0.,028087	0.,000104
	-1/319	-0/724306 انرژی
1S	0.,410544	0.,541548
2S	0.,841623	0.,832379
$2P_x$	0.,075358
$2P_y$	0.,011247
$2P_z$	0.,222437	0.,117783
	-1/242	-0/332475 انرژی
1S	0.,042268
2S	0.,086953
$2P_x$	0.,005449
$2P_y$	0.,373073	1.000000
$2P_z$	0.,598645

مقایسه با نتایج نرم افزار Gaussian ۹۸

یکی از روش‌های حل سیستم‌های مولکولی بس الکترونی که در این نرم افزار استفاده می‌شود، تقریب هارتی - فوک محدود شده و محدود نشده می‌باشد که بر اساس پایه‌های اسلیتر به علاوه گوسی کار می‌کند. این نرم افزار امروزه کاربرد وسیعی در محاسبه ساختار الکترونی مولکولها، پلیمرها و توده‌های اتمی پیدا کرده است. در اینجا به مقایسه نتایج حاصل از این نرم افزار با نتایج مندرج در مقاله [۱۰]، که بسیار به یکدیگر نزدیک می‌باشند، می‌پردازیم. کربن با اسپین صفر را با استفاده از تقریب RHF در این نرم افزار حل نموده که ویژه مقادیر انرژی بسیار نزدیک به ویژه مقادیر انرژی مقاله [۱۰]، می‌باشند. برای اتم بور و دیگر اتمها نیز این ویژه مقادیر بسیار نزدیک به ویژه مقادیر مرجع به دست می‌آیند.

جدول ۴-۸: مقایسه نتایج حاصل از نرم افزار Gaussian ۹۸ با مقادیر مرجع

C	Gaussian ۹۸ نتیجه	انرژی در مقاله [۱۰]
1S	-10,91012	-11/3911
2S	-0,59761	-0/7394
$2P_x$	-0,21922	-0/20984

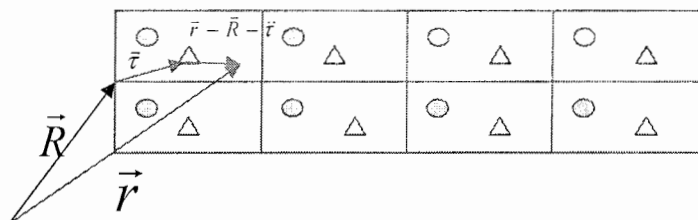
نتیجه گیری و پیشنهادات

با استفاده از تقریب هارتی - فوک طیف انرژی اتمها می تواند به طور دقیق محاسبه گردد، به شرط اینکه پایه های مناسبی از نظر تعداد و نوع آنها انتخاب شود. مشکلی که در این تقریب در اتمهای سنگینتر با آن مواجه می شویم، حل انتگرالهای کولنی است که بیشترین زمان محاسبه کامپیوتری را به خود اختصاص می دهند. می توان با استفاده از روش‌های پیشرفته تری مانند روش مونت - کارلو زمان محاسبه انتگرالهای کولنی را کاهش داد. همچنان می توان علاوه بر پایه های اسلیتر سری پایه های دیگری مانند پایه های گوسی را نیز به مساله وارد نمود، تا به جوابهای دقیقتری برسیم. این مساله به آسانی قابل تعمیم به تقریب هارتی - فوک محدود نشده جهت محاسبه طیف انرژی اتمهای مغناطیسی و نیز محاسبه مغناطش آنها می باشد. با استفاده از توابع پایه پیچیده تر که در آنها محاسبه انتگرالهای کولنی چند مرکزی امکان پذیر باشد، می توان این تقریب را در مورد مولکولها و یا پلیمرها نیز به کار برد. با توجه به اهمیت روز افزون محاسبه طیف انرژی مولکولها در ترابرد الکترونی از میان پلیمرها، از این تقریب می توان برای محاسبه اثر بر همکنش الکترون - الکترون بر منحنی جریان - ولتاژ استفاده نمود.

ضمیمه الف

ساختار نواری الکترونی در تقریب بستگی قوی

اگر فرض کنیم $\varphi_{i\alpha}(\vec{r})$ پایه های اتمی باشند که $i = \vec{R}, \vec{\tau}$ موقعیت اتم \vec{R} موقعیت سلول و $\vec{\tau}$ موقعیت اتم داخل سلول با پایه چند اتمی است. α شماره اربیتال اتمی روی هر اتم است.



شکل A-1: نمایش مختصات اتمهای درون سلول واحد اولیه

در نتیجه تابع موج کل بلور به صورت زیر است:

$$\varphi_{\vec{K}, \vec{\tau}, \alpha}(\vec{r}) = \frac{1}{\sqrt{N}} \sum_{\vec{R}} e^{i\vec{K} \cdot \vec{R}} \varphi_{\alpha}(\vec{r} - \vec{R} - \vec{\tau}) \quad (\text{الف-1})$$

برای بدست آوردن انرژی باید مقدار میانگین هامیلتونی را نسبت به این توابع بدست آوریم :

$$\langle \varphi_{\vec{k}, \vec{\tau}, \alpha} | H | \varphi_{\vec{k}', \vec{\tau}', \alpha'} \rangle = \frac{1}{N} \sum_{\vec{R} \vec{R}'} e^{i \vec{K}' \cdot \vec{R}' - i \vec{K} \cdot \vec{R}} \langle \varphi_{\vec{R}, \vec{\tau}, \alpha} | H | \varphi_{\vec{R}', \vec{\tau}', \alpha'} \rangle \quad (\text{الف-}2)$$

با تغییر مبدا مختصات به $\vec{R}'' = \vec{R} - \vec{R}'$ داریم:

$$\frac{1}{N} \sum_{\vec{R} \vec{R}''} e^{i \vec{K}' \cdot (\vec{R} - \vec{R}'') - i \vec{K} \cdot \vec{R}} \langle \varphi_{\vec{R}'', \vec{\tau}, \alpha} (\vec{r}) | H | \varphi_{0, \vec{\tau}', \alpha'} (\vec{r}) \rangle =$$

$$\underbrace{\frac{1}{N} \sum_{\vec{R}} e^{i(\vec{K}' - \vec{K}) \cdot \vec{R}}}_{\delta_{\vec{K}, \vec{K}'}} \sum_{\vec{R}''} e^{-i \vec{K}' \cdot \vec{R}''} \langle \varphi_{\vec{R}'', \vec{\tau}, \alpha} | H | \varphi_{0, \vec{\tau}', \alpha'} \rangle =$$

$$\mathcal{E}_{\vec{K}} = \sum_{\vec{R}''} e^{-i \vec{K} \cdot \vec{R}''} \langle \varphi_{\vec{R}'', \vec{\tau}, \alpha} | H | \varphi_{0, \vec{\tau}', \alpha'} \rangle \quad (\text{الف-}3)$$

واز آنجا داریم:

$$\mathcal{E}_K = \langle \varphi_{0, \vec{\tau}, \alpha} | H | \varphi_{0, \vec{\tau}', \alpha'} \rangle + \sum_{\vec{R}'' \neq 0} e^{-i \vec{K}' \cdot \vec{R}''} \langle \varphi_{\vec{R}'', \vec{\tau}, \alpha} | H | \varphi_{0, \vec{\tau}', \alpha'} \rangle \quad (\text{الف-}4)$$

می دانیم که:

$$H = H_a + \Delta u(\vec{r}) \quad (\text{الف-}5)$$

H_a هامیلتونی یک اتم منفرد در هر نقطه شبکه است و $\Delta u(\vec{r})$ شامل همه تصحیحاتی است که روی پتانسیل اتمی انجام می شود تا پتانسیل تناوبی بلور را ایجاد کند.

$$\langle \varphi_{0, \vec{\tau}, \alpha} | H | \varphi_{0, \vec{\tau}', \alpha'} \rangle = \mathcal{E}_a \delta_{\vec{\tau}\alpha, \vec{\tau}'\alpha'} + \alpha \Delta u \quad \text{و } \alpha = - \int \varphi_{0, \vec{\tau}, \alpha}^*(\vec{r}) \Delta u \varphi_{0, \vec{\tau}', \alpha'}(\vec{r}) d\vec{r} \quad \text{که}$$

$$\langle \varphi_{\vec{R}'', \vec{\tau}, \alpha} | H | \varphi_{0, \vec{\tau}', \alpha'} \rangle = \mathcal{E}_a \langle \varphi_{\vec{R}'', \vec{\tau}, \alpha} | \varphi_{0, \vec{\tau}', \alpha'} \rangle - \beta_{\vec{R}''} \quad \text{که در آن } \beta_{\vec{R}''} = - \int \varphi_{\vec{R}'', \vec{\tau}, \alpha}(\vec{r}) \Delta u \varphi_{0, \vec{\tau}', \alpha'}(\vec{r}) d\vec{r}$$

$$\mathcal{E}_{\vec{K}} = \mathcal{E}_a - \alpha - \sum_{\vec{R}'' \neq 0} e^{-i \vec{K} \cdot \vec{R}''} \beta_{\vec{R}''}$$

ضمیمه ب

محاسبه انتگرال‌های کولنی

در اینجا به عنوان نمونه یکی از انتگرال‌های کولنی اتم بریلیم را محاسبه می‌کنیم.

$$u_{11,11} = \iint \frac{|\phi_{1s}^{STO}(\vec{r})|^2 |\phi_{1s}^{STO}(\vec{r}')|^2}{|\vec{r} - \vec{r}'|} d^3\vec{r} d^3\vec{r}' \quad (ب-1)$$

با استفاده از جدول ۱ مقاله [۱]، تابع موج اسلیتر نوع ۱S دارای دو زتای متفاوت می‌باشد. تابع موج اسلیتر مربوط به زتای اول با توجه به رابطه (۳-۴) به صورت زیر است.

$$\phi_{1s}^{STO}(\vec{r}) = R_{1s}^{STO}(r)Y_{00}(\theta, \varphi) = \frac{1}{\sqrt{4\pi}} \left(\frac{[2(3.4703)]^{\frac{3}{2}}}{(2!)^{\frac{1}{2}}} r e^{-3.4703r} \right) \quad (ب-2)$$

$$d^3\vec{r} = r^2 d\vec{r} d\Omega = r^2 d\vec{r} d(\cos(\theta)) d\varphi$$

با استفاده از هارمونیک‌های کروی پتانسیل $V(\vec{r} - \vec{r}')$ را به شکل زیر می‌نویسیم.

$$\frac{1}{|\vec{r} - \vec{r}'|} = \sum_{l=0}^{\infty} \frac{(r <)^l}{(r >)^{l+1}} p_l(\cos(\theta))$$

برای سادگی کار، بردار \vec{r} را در جهت محور Z ها در نظر می‌گیریم. در این صورت θ زاویه \vec{r} با محور Z صفر و θ' زاویه \vec{r}' محور Z ها مساوی θ خواهد شد.

$$\begin{cases} \theta = 0 \\ \theta' = \theta \end{cases}$$

در نتیجه انتگرال (ب-۱) به صورت زیر نوشته می‌شود.

$$(ب-3) \quad u_{11,11} = \frac{1}{(4\pi)^2} \sum_{l=0}^{\infty} \int_0^{\infty} \int_0^{\infty} r^4 r'^4 \left[\frac{[2(3.4703)]^{\frac{3}{2}}}{(2!)^{\frac{1}{2}}} e^{-3.4703r} \right]^2 \left[\frac{[2(3.4703)]^{\frac{3}{2}}}{(2!)^{\frac{1}{2}}} e^{-3.4703r'} \right]^2 \frac{(r <)^l}{(r >)^{l+1}} d\vec{r} d\vec{r}' [p_l(\cos(\theta)) d\Omega] d\Omega'$$

در انتگرال بالا ابتدا باید قسمت زاویه ای را حل کنیم تا مقدار مربوط به l مشخص شود. در صورت غیر صفر بودن آن، قسمت شعاعی را حل می‌کنیم. شرط نرمالیزاسیون منجر به رابطه زیر می‌شود.

$$(ب-4) \quad \int [p_l(\cos(\theta)) d\Omega] d\Omega' = (4\pi) \int_{-1}^1 p_l(\cos(\theta)) (2\pi) d(\cos(\theta)) = 8\pi^2 (2\delta_{ll})$$

با توجه به اینکه به ازای $l = 0$ جمله غیر صفر داریم، لذا با توجه به روابط بالا انتگرال (ب-۳) به شکل زیر است.

$$u_{11,11} = \left[\frac{[2(3.4703)]^{\frac{3}{2}}}{(2!)^{\frac{1}{2}}} \right]^4 \int_0^{\infty} e^{-2 \times 3.4703 r'} r'^4 dr' \left[\int_0^{r'} e^{-2 \times 3.4703 r} \frac{r'^{l+4}}{r'^{l+1}} dr + \int_{r'}^{\infty} e^{-2 \times 3.4703 r} \frac{r'^l}{r'^{l-3}} dr \right]$$

پس از حل انتگرال‌های شعاعی بالا، پتانسیل کولنی $u_{11,11}$ برابر با مقدار زیر است.

$$u_{11,11} = 2.16894$$

پتانسیل‌های کولنی و تبادلی دیگر نیز به همین ترتیب قابل محاسبه می‌باشند. به دلیل اینکه محاسبه به این روش زمان زیادی می‌گیرد، با استفاده از نرم افزار Mathematica برنامه‌ای را نوشته‌ایم که ورودی آن توابع موج اسلیترمی باشند. پس از اجرای این برنامه، تمامی انتگرال‌های کولنی محاسبه شده و در یک فایل ذخیره می‌شوند.

```
SetDirectory["F:\Vajihe\integral"]; Directory[];
STM = OpenWrite["Integral(C).dat", FormatType → OutputForm];
Clear[\xi1, \xi2, \xi3, \xi4, \xi5, \xi6, \xi7, \xi8, \xi9, \xi10, n, m, AO, R1, R2, result, YM, A, radius, l]
(*Boron (Tutihasil947)*) (*\xi=20.26; \alpha=4.73; \epsilon=5.11; \beta=5.94; \tau=2.08; \gamma=1.25; \mu=1.54;
\delta=1.82; \xi=0.47; \epsilon=0.79; *)
(*Boron (clementi1962)*) (*\xi=4.4661; \alpha=7.8500; \epsilon=0.8320; \beta=1.1565; \tau=1.9120;
\gamma=3.5213; \mu=0.8783; \delta=1.3543; \xi=2.2296; \epsilon=5.3665; *)
(*Berelium (L=S, 2 s+1=1 (2 (1 s), 4 (2 s)) (Clementi1962)*)
(*\xi1=3.4703; \xi2=6.3681; \xi3=0.7516; \xi4=0.9084; \xi5=1.4236; \xi6=2.7616;
n=1; m=2; AO=6; *)
(*Carbon (L=S, 2 s+1=1) (2 (1 s) 4 (2 s) 4 (2 p)) (Clementi1962)*)
\xi1 = 5.4125; \xi2 = 9.2863; \xi3 = 1.0311; \xi4 = 1.5020; \xi5 = 2.5897; \xi6 = 4.2595; \xi7 = 0.9554;
\xi8 = 1.4209; \xi9 = 2.5873; \xi10 = 6.3438;
n = 1; m = 2; AO = 18;

R1s1[r_] = (2 * \xi1)^n + \frac{1}{2} / Factorial[2 * n] r^{n-1} * Exp[-\xi1 * r];
R1s2[r_] = (2 * \xi2)^n + \frac{1}{2} / Factorial[2 * n] r^{n-1} * Exp[-\xi2 * r];
R2s1[r_] = (2 * \xi3)^m + \frac{1}{2} / Factorial[2 * m] r^{m-1} * Exp[-\xi3 * r]; R2s2[r_] = (2 * \xi4)^m + \frac{1}{2} / Factorial[2 * m] r^{m-1} * Exp[-\xi4 * r];
R2s3[r_] = (2 * \xi5)^m + \frac{1}{2} / Factorial[2 * m] r^{m-1} * Exp[-\xi5 * r];
R2s4[r_] = (2 * \xi6)^m + \frac{1}{2} / Factorial[2 * m] r^{m-1} * Exp[-\xi6 * r];
```

```

R2p1[r_] = 
$$\frac{(2 * \zeta 7)^{m+\frac{1}{2}}}{\sqrt{\text{Factorial}[2 * m]}} r^{m-1} * \text{Exp}[-\zeta 7 * r];$$

R2p2[r_] = 
$$\frac{(2 * \zeta 8)^{m+\frac{1}{2}}}{\sqrt{\text{Factorial}[2 * m]}} r^{m-1} * \text{Exp}[-\zeta 8 * r];$$

R2p3[r_] = 
$$\frac{(2 * \zeta 9)^{m+\frac{1}{2}}}{\sqrt{\text{Factorial}[2 * m]}} r^{m-1} * \text{Exp}[-\zeta 9 * r];$$

R2p4[r_] = 
$$\frac{(2 * \zeta 10)^{m+\frac{1}{2}}}{\sqrt{\text{Factorial}[2 * m]}} r^{m-1} * \text{Exp}[-\zeta 10 * r];$$

Y1s[\theta_, \phi_] = SphericalHarmonicY[0, 0, \theta, \phi];
Y2s[\theta_, \phi_] = SphericalHarmonicY[0, 0, \theta, \phi];
Y2px[\theta_, \phi_] = SphericalHarmonicY[1, 1, \theta, \phi] + SphericalHarmonicY[1, -1, \theta, \phi];
Y2py[\theta_, \phi_] = SphericalHarmonicY[1, 1, \theta, \phi] - SphericalHarmonicY[1, -1, \theta, \phi];
Y2pz[\theta_, \phi_] = SphericalHarmonicY[1, 0, \theta, \phi];
(******)
R11 = {R1s1[r1], R1s2[r1], R2s1[r1], R2s2[r1], R2s3[r1], R2s4[r1], R2p1[r1],
       R2p2[r1], R2p3[r1], R2p4[r1], R2p1[r1], R2p2[r1], R2p3[r1], R2p4[r1], R2p1[r1],
       R2p2[r1], R2p3[r1], R2p4[r1]};
R22 = {R1s1[r2], R1s2[r2], R2s1[r2], R2s2[r2], R2s3[r2], R2s4[r2], R2p1[r2],
       R2p2[r2], R2p3[r2], R2p4[r2], R2p1[r2], R2p2[r2], R2p3[r2], R2p4[r2], R2p1[r2],
       R2p2[r2], R2p3[r2], R2p4[r2]};
YM = {Y1s[\theta, \phi], Y1s[\theta, \phi], Y2s[\theta, \phi], Y2s[\theta, \phi], Y2s[\theta, \phi], Y2s[\theta, \phi], Y2px[\theta, \phi],
      Y2px[\theta, \phi], Y2px[\theta, \phi], Y2py[\theta, \phi], Y2py[\theta, \phi], Y2py[\theta, \phi], Y2py[\theta, \phi],
      Y2pz[\theta, \phi], Y2pz[\theta, \phi], Y2pz[\theta, \phi], Y2pz[\theta, \phi]};
Do[
  F[r1_, r2_] = R11[[i]] * R11[[j]] * R22[[m]] * R22[[n]];
  YM[\theta_, \phi_] = Conjugate[YM[[i]]] * YM[[j]] * Conjugate[YM[[m]]] * YM[[n]];
  A = Table[Integrate[Sin[\theta] LegendreP[1, Cos[\theta]] Y[\theta, \phi], {\theta, 0, \pi}, {\phi, 0, 2 \pi}], {1, 0, 5}];
  result = 0;
  Do[
    If[A[[k]] != 0, l = k - 1;
     radius = NIntegrate[
$$\frac{y^{l+2}}{x^{l-1}} F[x, y], \{x, 0, \infty\}, \{y, 0, x\}] +
               NIntegrate[
$$\frac{x^{l+2}}{y^{l-1}} F[x, y], \{x, 0, \infty\}, \{y, x, \infty\}] ;
     result = result + 4 \pi * A[[k]] * radius]
    , {k, 1, 6}]
    (*Print[i,j, m, n, " ----> ", result]*); Write[STM, result];
  , {i, 1, AO}, {j, 1, AO}, {m, 1, AO}, {n, 1, AO}]
  Close[STM];$$$$

```

AA

ضمیمه ب

محاسبه هامیلتونی مختل نشده

در رابطه (۳۶-۲)، h_{ij} هامیلتونی مختل نشده سیستم تک ذره ای است، چون هامیلتونی سیستم N الکترونی را معادل با مجموع هامیلتونی سیستم های تک ذره ای در نظر گرفته ایم.

$$h_{ij} = \langle b_i | h | b_j \rangle \quad , \quad h = H^{(1)}$$

$$H^{(1)} = \frac{\vec{p}^2}{2m} - \frac{ze^2}{|\vec{r} - R|}$$

که در آن R مکان هسته و \vec{R} مکان الکترونهاست. مبدا مختصات را روی هسته اتم در نظر می گیریم.

همانطور که از رابطه (۲۵-۲) مشاهده می کنیم، $\langle b_i |$ ها پایه های اسلیتیر گونه سیستم تک ذره ای می باشند که ما توابع موج هارتی - فوک را بر اساس آنها بسط می دهیم. در اینجا به عنوان نمونه h_{11} را برای اتم بریلیم، محاسبه خواهیم کرد.

$$h_{11} = \langle b_1 | -\frac{\hbar^2 \vec{\nabla}^2}{2m} | b_1 \rangle - ze^2 \langle b_1 | \frac{1}{\vec{r}} | b_1 \rangle \quad (\text{ب-۱})$$

می دانیم لابلسین در مختصات کروی به صورت زیر است.

$$\vec{\nabla}^2 = \frac{1}{\vec{r}^2} \frac{\partial}{\partial \vec{r}} [\vec{r}^2 \frac{\partial}{\partial \vec{r}}] + \frac{1}{\vec{r}^2 \sin(\theta)} \frac{\partial}{\partial \theta} [\sin(\theta) \frac{\partial}{\partial \theta}] + \frac{1}{\vec{r}^2 \sin^2(\theta)} \frac{\partial^2}{\partial \phi^2}$$

با استفاده از رابطه (ب-۲) در ضمیمه ب، رابطه (ب-۱) را به دست می آوریم. چون در واحد اتمی کار می کنیم، $\hbar = e = m = 1$ در نظر می گیریم.

$$h_{11} = -\frac{[2(3.4703)]^3}{16\pi} \int r e^{-3.4703r} \vec{\nabla}^2 (r e^{-3.4703r}) r^2 dr \int d\Omega - 4 \times \frac{[2(3.4703)]^3}{8\pi} \int_0^\infty r^3 e^{-2 \times 3.4703r} dr \int d\Omega$$

$$-\frac{[2(3.4703)]^3}{4} \int_0^\infty r e^{-3.4703r} \frac{\partial}{\partial \vec{r}} [\vec{r}^2 \frac{\partial}{\partial \vec{r}} (r e^{-3.4703r})] dr - 2 \times [2(3.4703)]^3 \int_0^\infty r^3 e^{-2 \times 3.4703r} dr = -7.85971$$

به همین ترتیب بقیه عناصر ماتریس هامیلتونی مختل نشده نیز محاسبه خواهند شد. یعنایه ای که در ذیل آورده شده است، با استفاده از نرم افزار Mathematica نوشته شده که برای به دست آوردن جمله اول رابطه (پ-۱) می باشد.

```
SetDirectory["F:\Vajihe\integral"]; Directory[];
STM = OpenWrite["HOS(B18AO).dat", FormatType → OutputForm];
Clear[\xi1, \xi2, \xi3, \xi4, \xi5, \xi6, \xi7, \xi8, \xi9, \xi10, Z, k, result, smatrix, i, j, AO, n, m,
T1, T2, T3, a, b]; Clear[R1s1, R1s2, R2s1, R2s2, R2s3, R2s4, R2p1, R2p2, R2p3, R2p4,
\xi1, \xi2, \xi3, \xi4, \xi5, \xi6, \xi7, \xi8, \xi9, \xi10];
(*Helium (2 (1 s)) (Roetti& Clementi1974)*)
(*\xi1=1.45;\xi2=2.91;Z=2;AO=2;n=1;m=1;*)
(*Boron (Tutuhasi1947)*)(* \xi=20.26;\alpha=4.73;\epsilon=5.11;\beta=5.94;\tau=2.08;\gamma=1.25;\mu=1.54;
\delta=1.82;\xi=0.47;\epsilon=0.79;Z=5;*)
(*Boron (clementi1962)*)(* \xi=4.4661;\alpha=7.8500;\epsilon=0.8320;\beta=1.1565;\tau=1.9120;
\gamma=3.5213;\mu=0.8783;\delta=1.3543;\xi=2.2296;\epsilon=5.3665;Z=5;*)
(*Berelium (L=S,2 s+1=1 (2 (1 s),4 (2 s) (Clementi1962)*)
(*\xi1=3.4703;\xi2=6.3681;\xi3=0.7516;\xi4=0.9084;\xi5=1.4236;\xi6=2.7616;
n=1;m=2;AO=6;Z=4;*)
(*Carbon (L=S,2 s+1=1) (2 (1 s) 4 (2 s) 4 (2 p)) (Clementi1962)*)
(*\xi1=5.4125;\xi2=9.2863;\xi3=1.0311;\xi4=1.5020;\xi5=2.5897;\xi6=4.2595;\xi7=0.9554;
\xi8=1.4209;\xi9=2.5873;\xi10=6.3438;
n=1;m=2;AO=18;Z=6;*)
(*boron*)
\xi1 = 4.4661; \xi2 = 7.85; \xi3 = 0.8320; \xi4 = 1.1565; \xi5 = 1.9120; \xi6 = 3.5213; \xi7 = 0.8783 ;
\xi8 = 1.3543; \xi9 = 2.2296; \xi10 = 5.3665;
n = 1; m = 2; AO = 18; Z = 5;
R1s1[r_] =  $\frac{(2 * \xi1)^{n+\frac{1}{2}}}{\sqrt{\text{Factorial}[2 * n]}} r^{n-1} * \text{Exp}[-\xi1 * r];$ 
R1s2[r_] =  $\frac{(2 * \xi2)^{n+\frac{1}{2}}}{\sqrt{\text{Factorial}[2 * n]}} r^{n-1} * \text{Exp}[-\xi2 * r];$ 
R2s1[r_] =  $\frac{(2 * \xi3)^{m+\frac{1}{2}}}{\sqrt{\text{Factorial}[2 * m]}} r^{m-1} * \text{Exp}[-\xi3 * r];$  R2s2[r_] =  $\frac{(2 * \xi4)^{m+\frac{1}{2}}}{\sqrt{\text{Factorial}[2 * m]}} r^{m-1} * \text{Exp}[-\xi4 * r];$ 
R2s3[r_] =  $\frac{(2 * \xi5)^{m+\frac{1}{2}}}{\sqrt{\text{Factorial}[2 * m]}} r^{m-1} * \text{Exp}[-\xi5 * r];$  R2s4[r_] =  $\frac{(2 * \xi6)^{m+\frac{1}{2}}}{\sqrt{\text{Factorial}[2 * m]}} r^{m-1} * \text{Exp}[-\xi6 * r];$ 
R2p1[r_] =  $\frac{(2 * \xi7)^{m+\frac{1}{2}}}{\sqrt{\text{Factorial}[2 * m]}} r^{m-1} * \text{Exp}[-\xi7 * r];$ 
R2p2[r_] =  $\frac{(2 * \xi8)^{m+\frac{1}{2}}}{\sqrt{\text{Factorial}[2 * m]}} r^{m-1} * \text{Exp}[-\xi8 * r];$ 
R2p3[r_] =  $\frac{(2 * \xi9)^{m+\frac{1}{2}}}{\sqrt{\text{Factorial}[2 * m]}} r^{m-1} * \text{Exp}[-\xi9 * r];$ 
R2p4[r_] =  $\frac{(2 * \xi10)^{m+\frac{1}{2}}}{\sqrt{\text{Factorial}[2 * m]}} r^{m-1} * \text{Exp}[-\xi10 * r];$ 
```

```

Y1s[θ_, φ_] = SphericalHarmonicY[0, 0, θ, φ];
Y2s[θ_, φ_] = SphericalHarmonicY[0, 0, θ, φ];
Y2px[θ_, φ_] = SphericalHarmonicY[1, 1, θ, φ] + SphericalHarmonicY[1, -1, θ, φ];
Y2py[θ_, φ_] = SphericalHarmonicY[1, 1, θ, φ] - SphericalHarmonicY[1, -1, θ, φ];
Y2pz[θ_, φ_] = SphericalHarmonicY[1, 0, θ, φ];
Ψ1[r_, θ_, φ_] = R1s1[r] * Y1s[θ, φ]; Ψ2[r_, θ_, φ_] = R1s2[r] * Y1s[θ, φ];
Ψ3[r_, θ_, φ_] = R2s1[r] * Y2s[θ, φ]; Ψ4[r_, θ_, φ_] = R2s2[r] * Y2s[θ, φ];
Ψ5[r_, θ_, φ_] = R2s3[r] * Y2s[θ, φ]; Ψ6[r_, θ_, φ_] = R2s4[r] * Y2s[θ, φ];
Ψ7[r_, θ_, φ_] = R2p1[r] * Y2px[θ, φ]; Ψ8[r_, θ_, φ_] = R2p2[r] * Y2px[θ, φ];
Ψ9[r_, θ_, φ_] = R2p3[r] * Y2px[θ, φ]; Ψ10[r_, θ_, φ_] = R2p4[r] * Y2px[θ, φ];
Ψ11[r_, θ_, φ_] = R2p1[r] * Y2py[θ, φ]; Ψ12[r_, θ_, φ_] = R2p2[r] * Y2py[θ, φ];
Ψ13[r_, θ_, φ_] = R2p3[r] * Y2py[θ, φ]; Ψ14[r_, θ_, φ_] = R2p4[r] * Y2py[θ, φ];
Ψ15[r_, θ_, φ_] = R2p1[r] * Y2pz[θ, φ]; Ψ16[r_, θ_, φ_] = R2p2[r] * Y2pz[θ, φ];
Ψ17[r_, θ_, φ_] = R2p3[r] * Y2pz[θ, φ]; Ψ18[r_, θ_, φ_] = R2p4[r] * Y2pz[θ, φ];
(*****)
Ψ = {Ψ1[r, θ, φ], Ψ2[r, θ, φ], Ψ3[r, θ, φ], Ψ4[r, θ, φ], Ψ5[r, θ, φ], Ψ6[r, θ, φ],
    Ψ7[r, θ, φ], Ψ8[r, θ, φ], Ψ9[r, θ, φ], Ψ10[r, θ, φ], Ψ11[r, θ, φ], Ψ12[r, θ, φ],
    Ψ13[r, θ, φ], Ψ14[r, θ, φ], Ψ15[r, θ, φ], Ψ16[r, θ, φ], Ψ17[r, θ, φ], Ψ18[r, θ, φ]};
Do[
T1[r_, θ_, φ_] = r^2 * D[Ψ[[j]], r];
T2[r_, θ_, φ_] = Sin[θ] * D[Ψ[[j]], θ];
T3[r_, θ_, φ_] =  $\frac{1}{r^2 \sin[\theta]^2} * D[\Psi[[j]], (\phi, 2)]$ ;
F[r_, θ_, φ_] =  $\frac{1}{r^2} \text{Derivative}[1, 0, 0][T1][r, \theta, \phi] +$ 
     $\frac{1}{r^2 \sin[\theta]} \text{Derivative}[0, 1, 0][T2][r, \theta, \phi] + T3[r, \theta, \phi]$ ;
a = Integrate[-0.5 * r^2 * Sin[θ] * Conjugate[Ψ[[i]]] * F[r, θ, φ], {φ, 0, 2 * π}, {θ, 0, π},
    {r, 0, ∞}];
b = Integrate[r * Sin[θ] * Conjugate[Ψ[[i]]] * Ψ[[j]], {φ, 0, 2 * π}, {θ, 0, π}, {r, 0, ∞}];
smatrix = Integrate[r^2 * Sin[θ] * Conjugate[Ψ[[i]]] * Ψ[[j]], {φ, 0, 2 * π}, {θ, 0, π}, {r, 0, ∞}];
result = a - Z * b; Print[i, " ", j, " ----> ", result, " ", smatrix];
Write[STM, i, " ", j, " ", result, " ", smatrix];
, {i, 1, AO}, {j, 1, AO}]
Close[STM];

```

ضمیمه ت

برنامه کامپیووتری حل خودسازگار معادلات هارتی - فوک

این برنامه که دارای تعدادی زیر برنامه می باشد، از یک قسمت اصلی تشکیل شده است. در حلقه مرکزی که با SELF_CONSISTENT_LOOP مشخص شده است، پس از محاسبه عناصر هامیلتونی توسط ویژه مقادیر حدسی ورودی در زیر برنامه set_Hamiltonian قطعی شده و ویژه مقادیر و ویژه توابع آن در زیر برنامه eigen_value حساب می شوند. در نهایت با مخلوط کردن ویژه مقادیر قدیم و محاسبه شده در این مرحله در زیر برنامه mixing ویژه مقادیر جدید برای مرحله بعد تعیین می شوند.

```
module params
```

```
integer N,Number_Electrons,Z,LDH,LDEVEC,maxit, domain, count, mixflag  
real(λ) mix, telorance, error, E_HF  
integer , allocatable :: indices(:)  
complex , allocatable :: H(:, :), Evector(:, :), Smatrix(:, :)  
real(λ) , allocatable :: c_guess(:, :), c_new(:, :), Evaluate(:, :), h(:, :, :, :), U(:, :, :, :), Rho(:, :)
```

```
end module params
```

```
!This program self-consistently computes eigen values and eigen vectors of closed-shell atoms  
!in the Restricted Hartree - Fock Approximation . N is number of basis set.
```

```
program RHF  
implicit none
```

```
call read_params  
call write_inputs
```

```
count=.  
error=1d0
```

```
SELF_CONSISTENT_LOOP : Do while(error > telorance)
```

```

        count=count+
        print*,count,error
        if(count > maxit)then
            print*,'error decreases slowly,or iterations is exceeded from max iteration=',maxit
            stop
        end if
        call set_Hamiltonian
        call eigen_value
        call mixing
        call write_output

        c_guess=c_new

    end do SELF_CONSISTENT_LOOP

    write(*,' Total Energy (eV)      = ',E_HF*(yy,yy)

```

end program RHF

! **INPUTS** !

```

subroutine read_params
implicit none
integer i,j,k,l,a,b,c,d

open(1,file='input(C).dat'
open(2,file='output(C\AO).dat'
open(3,file='integral(C\AO).dat'
open(4,file='H·S(C\AO).dat'

read(1,*)Number_electrons,N,Z
read(1,*) maxit,telorange,mix,mixflag

allocate (indices(N),H(N,N),Evector(N,N),Smatrix(N,N),c_guess(N,N&
,      &c_new(N,N),Evaluate(N),h·(N,N),U(N,N,N,N),Rho(N,N)(

read(1,*) ((c_guess(i,j),j=1,N),i=1,N)

Do i=1,N
    Do j=1,N
        read(4,*)a,b,h·(i,j),Smatrix(i,j)
    enddo
enddo

Do i=1,N
    Do j=1,N
        Do k=1,N

```

```

Do l=1,N
    read(*,*)a,b,c,d,U(i,j,k,l)
end do
end do
end do
end do

LDH=N
LDEVEC=N
domain=N*N
end subroutine read_params

```

! HAMILTONIAN & EIGENVALUES & EIGENVECTORS !

```

subroutine set_Hamiltonian
implicit none
integer i,j,k,l,landa
real(λ) sum1,sumγ,fermi_dirac

!Calculation of Rho(i,j)=γ*Sum{C(i,landa)*C(j,landa)} over landa
Do k=1,N
    Do l=1,N
        sum1=.
        Do landa=1,Number_Electrons/γ
            sum1=sum1+c_guess(k,landa)*c_guess(l,landa)
        end do
        Rho(k,l)=γ.*sum1
    end do
end do
!
Seting Hamiltonian : H(i,j)=h·(i,j)+Sum{[U(i,j;k,l)-λ*U(i,k;j,l)]*Rho(k,l)} over
(k,l)

Do i=1,N
    Do j=1,N
        sumγ=.
        Do k=1,N
            Do l=1,N
                sumγ=sumγ+(U(i,j,k,l)-λ*U(i,k;j,l))*Rho(k,l)
            end do
        end do
        H(i,j)=h·(i,j)+sumγ
    end do
end do

```

! Calculation of Total Energy of Hartree Fock

```

sum\=.
Do i=\,Number_Electrons\/
    sum)=sum)+Evalue(indices(i\(
enddo
sum\=.
Do i=\,N
    Do j=\,N
        sum\=sum\+Rho(i,j)*h\.(i,j\(
    enddo
enddo

E_HF = sum\+\,\delta*sum\

end subroutine set_Hamiltonian
!-----!
subroutine eigen_value
implicit none
integer i,j
complex Eval(N),alpha(N),beta(N)
call GVCCG (N, H, LDH, Smatrix, LDH, ALPHA, BETA, EVECTOR, LDEVE)
DO i=\, N
    EVAL(i) = ALPHA(i)/BETA(i\(
enddo

Evaluc =Real(Eval\(
call SortIndex(Evalue,N,indices\

Do i = \,N
c_new(:,i)=Evector(:,indices(i)) ! Align eigen vectors versus its respected energy
Enddo

&&format (\r(\r,x,f\,.\,8\(
end subroutine eigen_value
!-----!
MIXING ( LINEAR )
!-----!

subroutine mixing
use params
use bro
implicit none
real(\lambda) c_new_line(domain),c_guess_line(domain\(
integer i

c_new=mix*c_new+(1-mix)*c_guess\(
error= sum(abs(c_new - c_guess\(
end subroutine mixing

```

ضمیمه ث

برنامه کامپیووتری مدل مولکول سه اتمی هیدروژن با دو الکترون

مولکول سه اتمی با شکل مثلثی و انرژی اتمی صفر در نظر بگیرید. برنامه زیر ویژه مقادیر و ویژه توابع و چگالی بار و انرژی کل حالت پایه را حساب می کند. همانطور که در خروجی دیده می شود، احتمال حضور الکترون روی هر سه اتم یکسان استخراج می شود. این نتیجه منطبق بر حدس تحلیلی موجود در بخش (۳-۲) می باشد.

INPUTS:

```
t=-1. U=2. V=1. JXC=-.1  
0.2 1.5 -0.6           Gaussed eigen vector  
!
```

OUTPUTS:

```
Ground state energy of H.F Hamiltonian= -1.866667  
eigen vector of ground state H.F= .57773502   .57773504   .57773503  
Total density      = 2.000000  
Density on atom    = .66666666  
Total energy of the ground state(2*eien value-(U+2*V+4*J)/3.)= -5.200000  
!
```

```
!Consider a triatomic hydrogen molecule of triangular shape with onsite energy .
```

```
!and hopping integral t. This program solves the H2+ problem within the Restricted Hartree-Fock
```

```
!approximation, (call the onsite Coulomb integrals U, the interatomic Coulomb integrals V,
```

```
!and the exchange integrals J ). By solving, we obtain the eigenvalues
```

```
! and eigenstates, the ground state charge density and total energy
```

```
*****
```

```
module params
```

```
real U,V,JXC,t,Ground_state_energy,Density
```

```
!real ,parameter :: U=2.,t=-1.,JXC=-.1,V=1.
```

```
INTEGER LDA,LDEVEC, N,m
```

```
PARAMETER ( N=2,LDA=2,LDEVEC=2)
```

```

real EVALUE(N),c(r),c_new(r),sr,Emin
complex Hamiltonian(N,N), EVECTOR(N,N)
end module params
!*****
program Hr_rElectron
implicit none
real telorance,error
integer i,j,count
sr=sqrt(r,·)
open(r·,File='output.r·r')
call read_params
count=·
error=\d9
telorance=\d-8
do while(error > telorance)
  count=count+\1
  print*,count
  call Calculating_Eigenvalues
  Emin=minval(EVALUE)
  do i=1,N
    if(Emin == EVALUE(i)) m=i
  enddo
  do i=1,N
    c_new(i)=EVECTOR(i,m)
  enddo
  error=sum(abs(c_new-c))
  c=c_new
  enddo
  call write_output
end program Hr_rElectron
!*****
subroutine calculating_eigenvalues

  call set_hamilt
    CALL EVCHF (N, Hamiltonian, LDA, EVALUE, EVECTOR, LDEVEC)
    CALL WRRRN ('EVALUE', 1, N, EVALUE, 1, ·)
    CALL WRCRN ('EVECTOR', N, N, EVECTOR, LDEVEC, ·)

end subroutine calculating_eigenvalues
!*****
subroutine set_hamilt

Hamiltonian(1,1)=U*c(1)**2+(r*V-JXC)*(c(r)**2+c(r)**2)
Hamiltonian(1,r)=t+r*(JXC-V)*c(1)*c(r)
Hamiltonian(r,1)=t+r*(JXC-V)*c(1)*c(r)
Hamiltonian(r,r)=Hamiltonian(1,r)
Hamiltonian(r,r)=U*c(r)**2+(r*V-JXC)*(c(1)**2+c(r)**2)
Hamiltonian(r,r)=t+r*(JXC-V)*c(r)*c(r)

```

```
Hamiltonian(r,i)=Hamiltonian(i,r)
Hamiltonian(r,r)=Hamiltonian(r,r)
Hamiltonian(r,r)=U*c(r)**r+(r*V-JXC)*(c(i)**r+c(r)**r)
end subroutine set_hamilt
!*****
subroutine read_params
open(1,File='input_Hr,r..r')
! HOPPINGS
read(1,*)t,U,V,JXC
read(1,*)(c(i),i=1,N)
!c1=sr**-1
!cr=c1
!cr=cr
end subroutine read_params
```

ضمیمه ج

برنامه کامپیوتروی بررسی یک سیستم دو حالته با استفاده از مدل هبارد

سیستم دو حالته ای را در نظر بگیرید که الکترونها روی هر جایگاه دارای بر هم کنش کولنی با هم باشند. هر جایگاه در ابتدا دارای بار اولیه می باشد. پس از اتصال دو اتم به هم می توان میزان بار موجود روی هر اتم را بررسی کرد. نتایج منتج از این برنامه به تفصیل در بخش (۳-۳) بحث شده است.

```
module params
integer N,LDH,LDEVEC
parameter (N=۲,LDH=N,LDEVEC=N)
real c(N),c_new(N),Emin,t,u,Evalue(N),n,mix,tolerance,onsite(N)
complex H(N,N),Evector(N,N)
integer m,e,maxit
end module params
!
!This program computes eigen values and eigen vectors of two states system at RHF Approximation !as
a self-consistently. This program is in fact the investigation of charge transfer phenomena by !using
HUBBARD model.
!
program Hy
implicit none
integer i,count
real error
call read_params
count=.
error=\d\delta
write(۱,*)'count,error,(c_new(i),i=۱,N)'
do while(error>tolerance)
    count=count+1
    !print*,count,error
    if (count > maxit)then
        print*,'error decreases slowly,or iterations is exceeded from max iteration=',maxit
        stop
    end if
    call set_Hamiltonian
    call eigen_value
    call mixing
    write(۱,*)'count,error,(c_new(i),i=۱,N)'
    error=sum(abs(c_new-c))
```

```

c=c_new
end do
call write_output
end program Hy
!
subroutine read_params
implicit none
integer i
open(1,file='input1.dat')
open(2,file='output.dat')
read(1,*) t,u,n
read(1,*)(c(i),i=1,N)
read(1,*) maxit,tolerance,mix
read(1,*)(onsite(i),i=1,N)
write(2,'initial guess of c(N)=',(c(i),i=1,N))
end subroutine read_params
!
subroutine set_Hamiltonian
implicit none
H(1,1)=(u*(c(1)**r-n)) + onsite(1)
H(1,r)=t
H(r,1)=t
H(r,r)=(u*(c(r)**r-n)) + onsite(r)
end subroutine set_Hamiltonian
!
subroutine eigen_value
implicit none
integer i
call EVCHF (N, H, LDH, Evalue,Evector, LDEVEC)
!do i=1,N
!Evalue(i)=((H(1,1)+H(r,r))/r)-(-1)**i*sqrt(((H(1,1)-H(r,r))/r)**r+H(r,r)**r)
!Evector(1,i)=(H(1,r)/sqrt((Evalue(i)-H(1,1))**r+(H(r,r))**r))
!Evector(r,i)=(Evalue(i)-H(1,1))*Evector(1,i)/H(r,r)
!enddo
Emin=minval(Evalue)
do i=1,N
if(Emin==Evalue(i)) then
m=i
else
e=i
end if
end do
do i=1,N
c_new(i)=Evector(i,m)
end do
end subroutine eigen_value

```

```
!-----  
subroutine mixing  
implicit none  
c_new=mix*c+(1-mix)*c_new  
end subroutine mixing
```

مراجع

- [۱] N. W. Ashcroft, N. D. Mermin, "Solid State Physics", Saunders College, ۱۹۷۶
- [۲] H. Akbarzadeh, Reginal Workshop on Computational Condensed Matter Physics (ICTP), ۱۵-۲۵ April (۲۰۰۲), Isfahan, IRAN
- [۳] G. Gross, G. P. Parravicin, "Solid State Physics", Academic Press, ۱۹۹۸
- [۴] J.P. Perdew and A. Zunger, Phys. Rev. B, ۳۷, ۷۸۱ (۱۹۸۱)
- [۵] J.C. Slater, "The Self-consistent field for molecules and solids, Vol ۱, Hc. Grawhill. (۱۹۷۴)
- [۶] S. Gasiorowicz, " Quantum Mechanics", John Wiley& Sons, ۱۹۹۶
- [۷] E. Clementi and C. Roetti , At. Data Nucl. Data tables, ۱۴, ۱۷۷ (۱۹۷۴)
- [۸] Ira. N. Levine, "Quantum Chemistry", Prentice-Hall, (۱۹۹۱)
- [۹] C. Roetti, E. Clementi, J. Chem. Phys, ۶۰, ۴۷۲۵ (۱۹۷۴)
- [۱۰] E. Clementi and C. C. J. Roothan and M. Yoshimine, "Accurate Analytical Self-Consistent Field functions for atoms", Phys. Rev. vol ۱۲۷, No ۵, ۱۶۱۸ (۱۹۶۲)
- [۱۱] S. Tutihasi, "Analytical Expression of Self-consistent Wave Functions for Lithium, Boron, Carbon and Oxygen", Appl. Phys. Rev. Vol ۷, ۱۳۵, (۱۹۴۸)
- [۱۲] K. Esfarjani, " Special Course of Computation Methods in Nano Physics of Condensed Matter ", Kashan, Iran, (۲۲-۲۳ May ۲۰۰۲); Notes of K. Esfarjani in Condensed Matter Course in Sharif University of Technology (۲۰۰۲).

Abstract

By using the Restricted Hartree-Fock Approximation, we solve a many electron system as an atom with full-filled shell. The Hartree-Fock (HF) equations can be derived by variation of energy versus antisymmetric wave functions. For solving HF equations, slater type orbitals (STO) have been considered. Coulomb integrals, non-perturbative Hamiltonian and overlap integrals can be calculated by using STO's. Then, HF equations are solved by self-consistent calculation. After an appropriate convergent process, the Eigen values and Eigen functions and also total energy of the ground state are being extracted. Finally, the results are compared with references valus.

Application of this approximation in molecules has been also investigated in triangle molecule. Hubbard model which is special case of HF equations in the simple case of two state systems is being studied. Te effect of coulomb potential on charge transfer phenomena between these two states has been investigated.

Shahroud University of Technology

Science Faculty

The calculation of the eigen values spectrum of
atoms with the full-filled electron shells in the
Restricted Hartree-Fock Approximation

Thesis submitted for the degree of
Master of Science

By:

Vajihe Chegeni

Thesis Advisor:

Dr. Mohammad Reza Sarkardei

December ۱۳۹۵